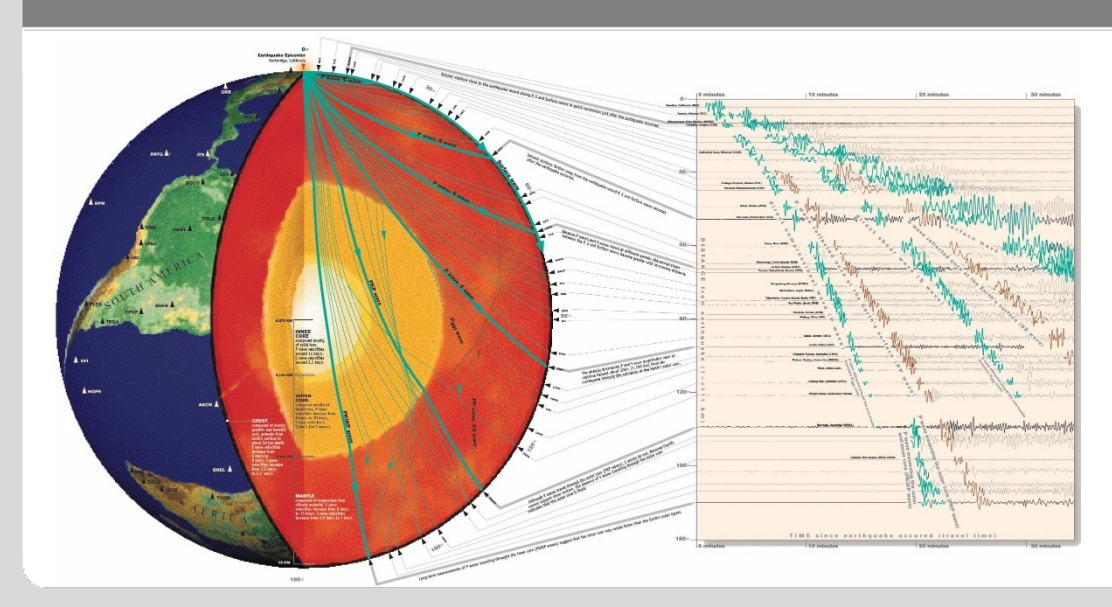


Einführung in die Geophysik II

Ausbreitung von Erdbebenwellen, Strukturerkundung

Geophysikalisches Institut, Fakultät für Physik





		The state of the s	Übungsblatt		Übung: Mo., 11:30-13:00, HS B
		Vorlesung: Mi., 11:30-13:00, HS B	online		Besprechung der Übungsblätter
	19.04	keine Vorlesung		17.04	
		Aufbau der Erde &		24.04	
VL1	26.04	Plattentektonik		24.04	
VL2	03.05	Radiometrische Altersbestimmung	Ü1	01.05	
	40.05	Seismische Wellen und ihre Wechselwirkungen,		00.05	04. B-#
VL3	10.05	elastische Eigenschaften von Gesteinen		08.05	Ü1: Radiometrische Altersbestimmung
		Erdbeben: Bruchprozesse, Messung &			
VL4	17.05	Lokalisierung von Erdbeben	Ü2	15.05	
124	27.00	Londarding von Eraboben		10.00	
		Ausbreitung von Erdbebenwellen,			
VL5	24.05	Strukturerkundung		22.05	Ü2: Seismische Wellen, elst. Eigen.
	1000				
	31.05	keine Vorlesung, Pfingswoche		29.05	
VL6	07.06	Eigenschwingungen	Ü3	05.06	
VLO	07.00	Ligenscriwingungen	03	03.00	
VL7	14.06	Seismizität, Gefährdung, Magnituden		12.06	
	1 280 200			10000000	
VL8	21.06	Schwere und Gravimetrie	Ü4	19.06	Ü3: Eigenschwingungen, Seismizität
VL9	28.06	Magnetismus	Ü5	26.06	Ü4: Schwere und Gravimetrie
V L S	20.00	Magnetismas	03	20.00	04. Schweie und Gravilliettie
VL10	05.07	Temperatur	Ü6	03.07	
		Aufbau und Dynamik des Erdinneren:			
VL11	12.07	Mantel		10.07	Ü5: Magnetismus
		Author and Danomik des Endinesses			
VL12	19.07	Aufbau und Dynamik des Erdinneren: Erdkern		17.07	Ü6: Temperatur
VLIZ	19.07	Liukeiii		17.07	Too. Temperatur

Vorlesung: Die Vorlesung findet mittwochs um 11:30 - 13:00h im Hörsaal B (Geb. 30.22) statt und beginnt am 26.4.2023.

Übungen: Die Übungen finden nach obrigen Zeitplan montags um 11:30 - 13:00h im Hörsaal B (Geb. 30.22) statt. Die Termine finden sich in der oben stehenden Tabelle. Übungsblätter werden nach den jeweiligen Vorlesungen online gestellt. Durch Vorrechnen von Übungsaufgaben können Punkte (max. 3) erworben werden, die auf die Klausur als Bonuspunkte* angerechnet werden. Die Punktzahl, die für das Vorrechnen der einzelnen Aufgaben vergeben wird, wird in der jeweiligen Übung bekannt gegeben.

*d.h. das Bestehen der Prüfung durch diese Punkte ist nicht möglich; bei bestandener Klausur lässt sich dadurch jedoch die Note verbessern.

Klausur: Erster Termin am 26.07.2022, 14:00 - 15:30h, zweiter Termin am 20.09.2022, 09:00 - 10:30h. Die der Ort der Klausuren ist der Otto-Lehmann-Hörsaal.

27.01.11

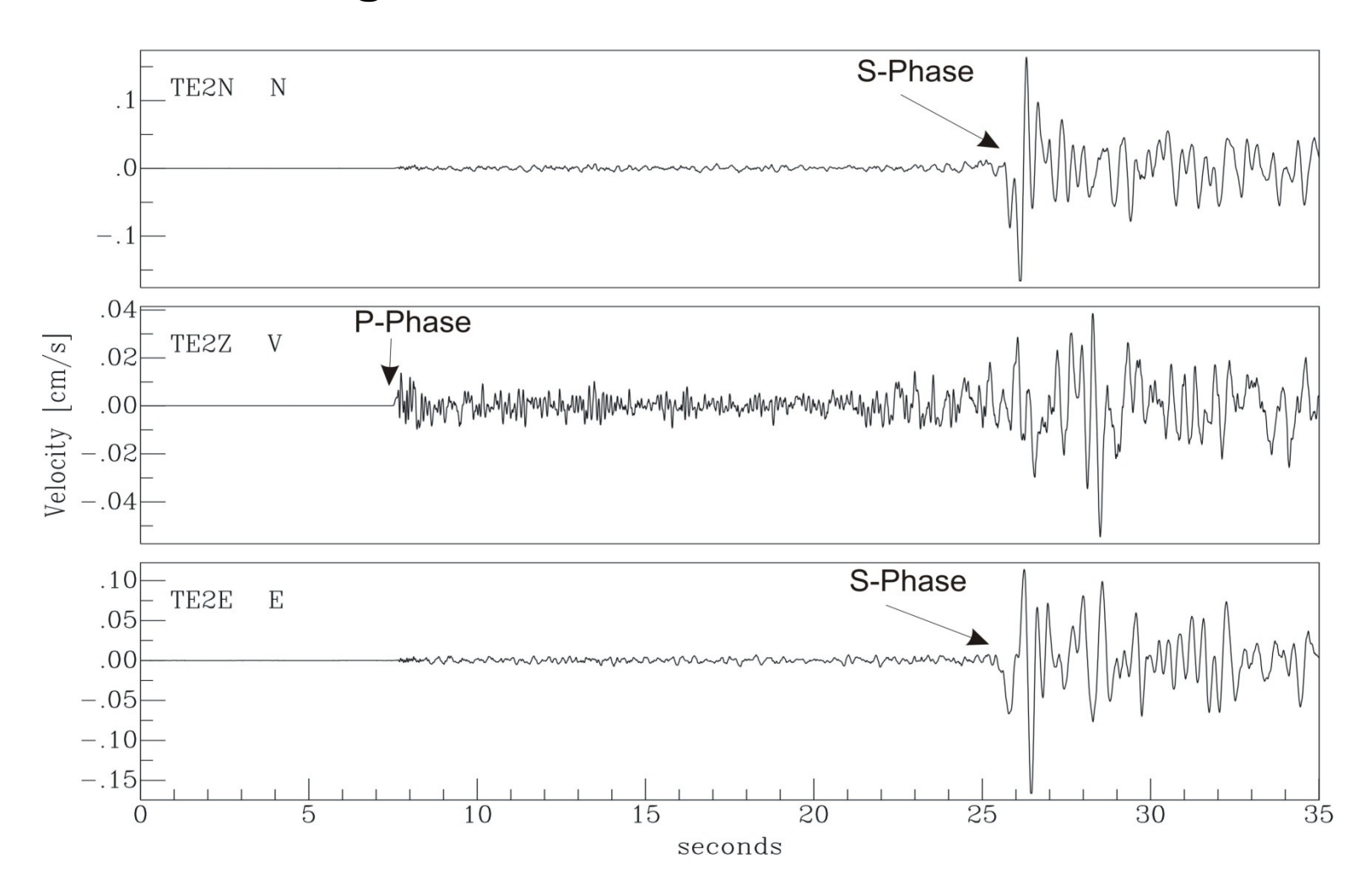




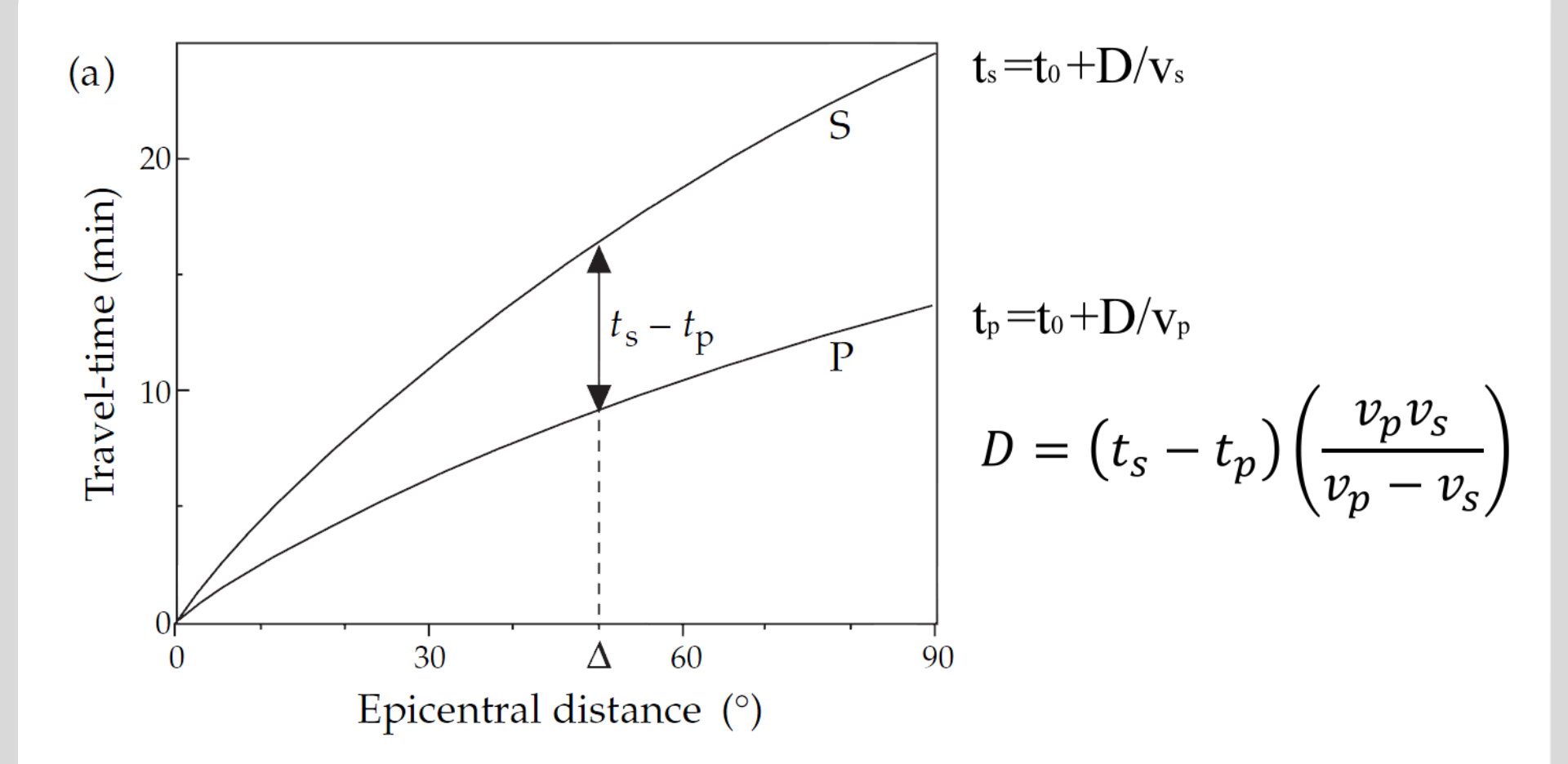
Zusammenfassung – Take-home-message

- Wie lassen sich Bruchprozesse in der Lithosphäre beschreiben und charakterisieren?
- Wie lassen sich Erdbeben messen?
- Wie werden Erdbebenherde lokalisiert?



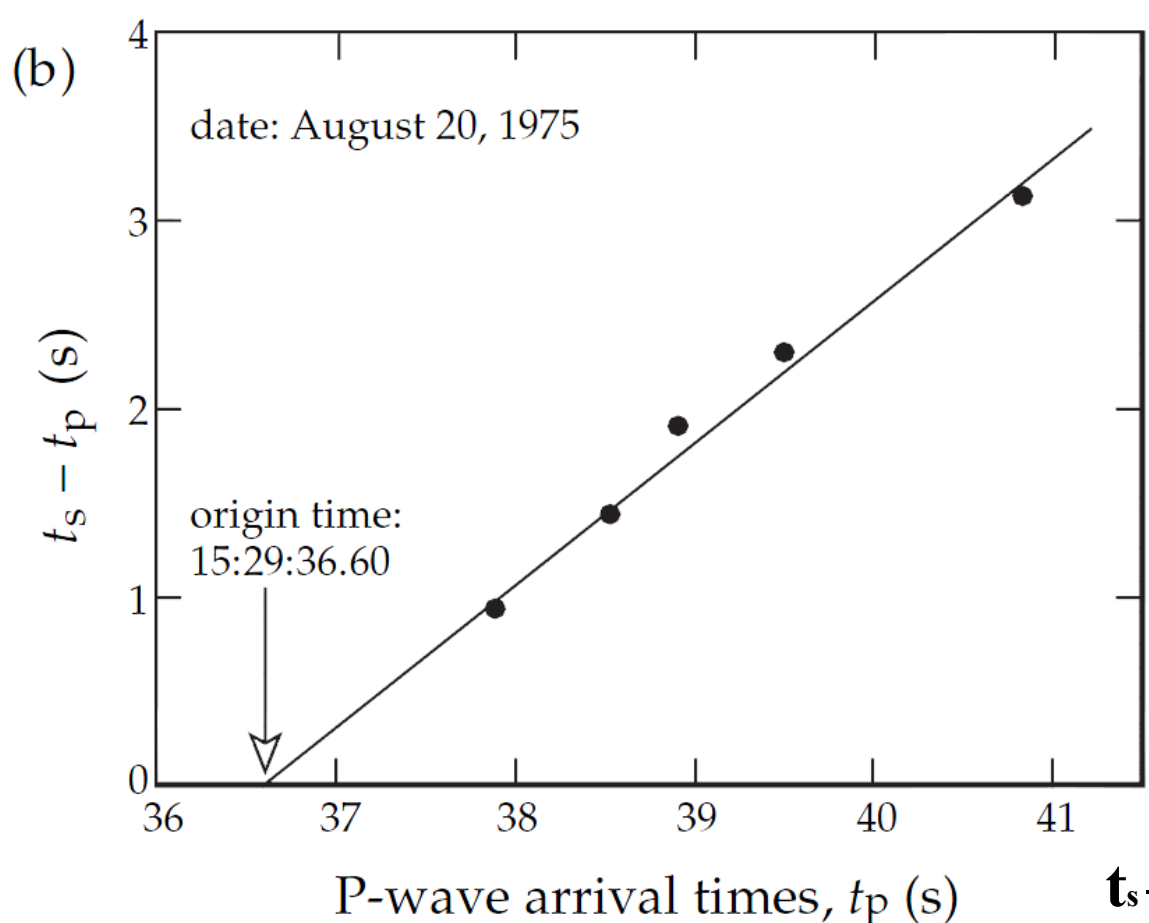






Lowrie, 2007

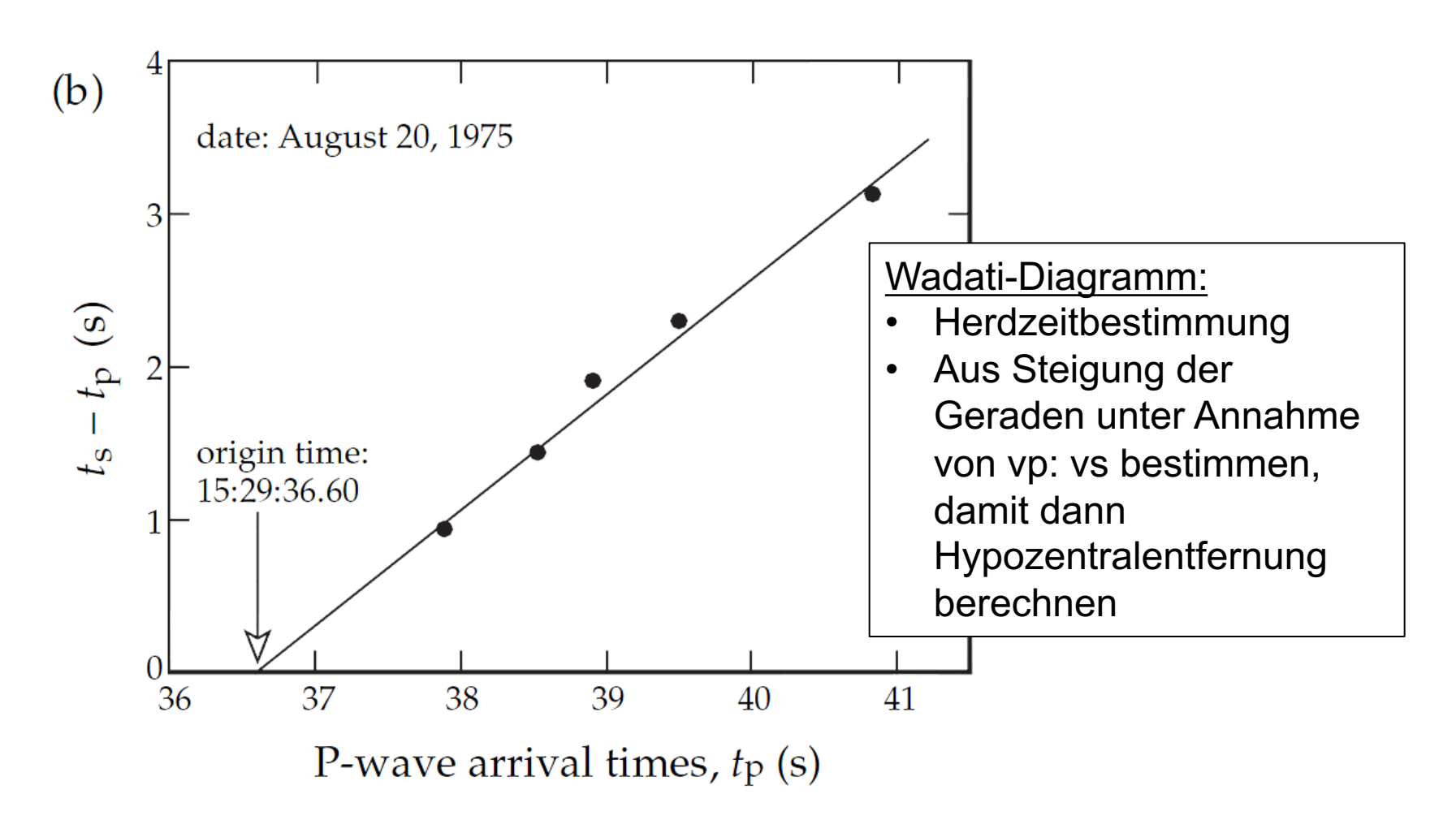




 $t_s - t_p = (v_p/v_s - 1) \times (t_p - t_0)$

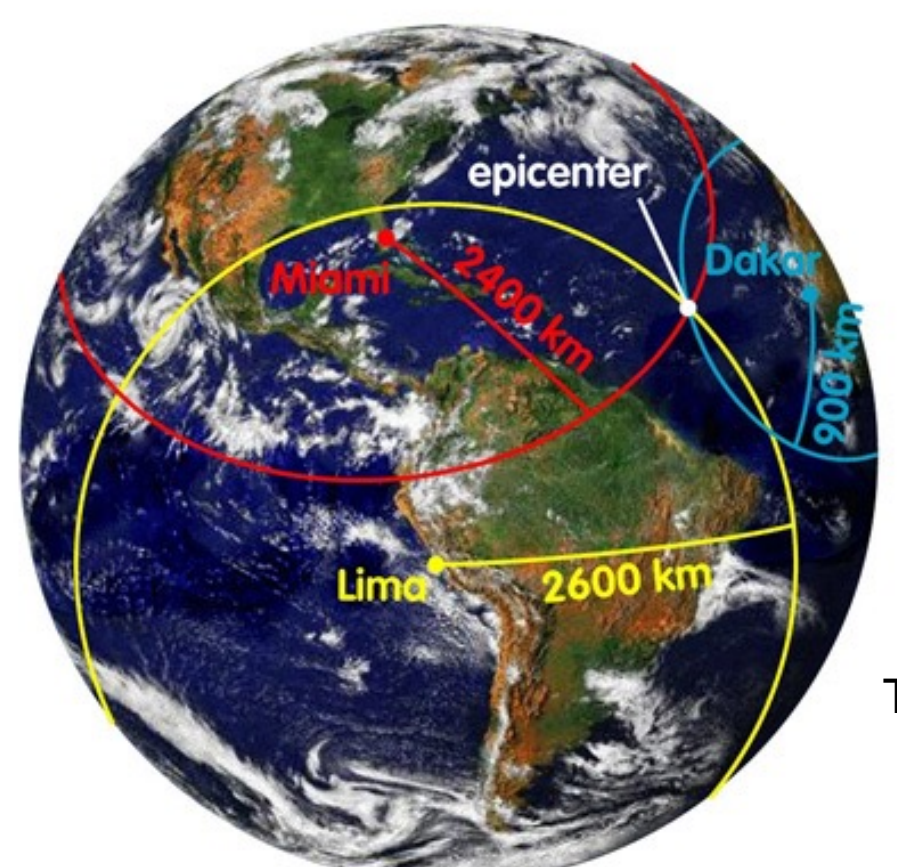
Lowrie, 2007





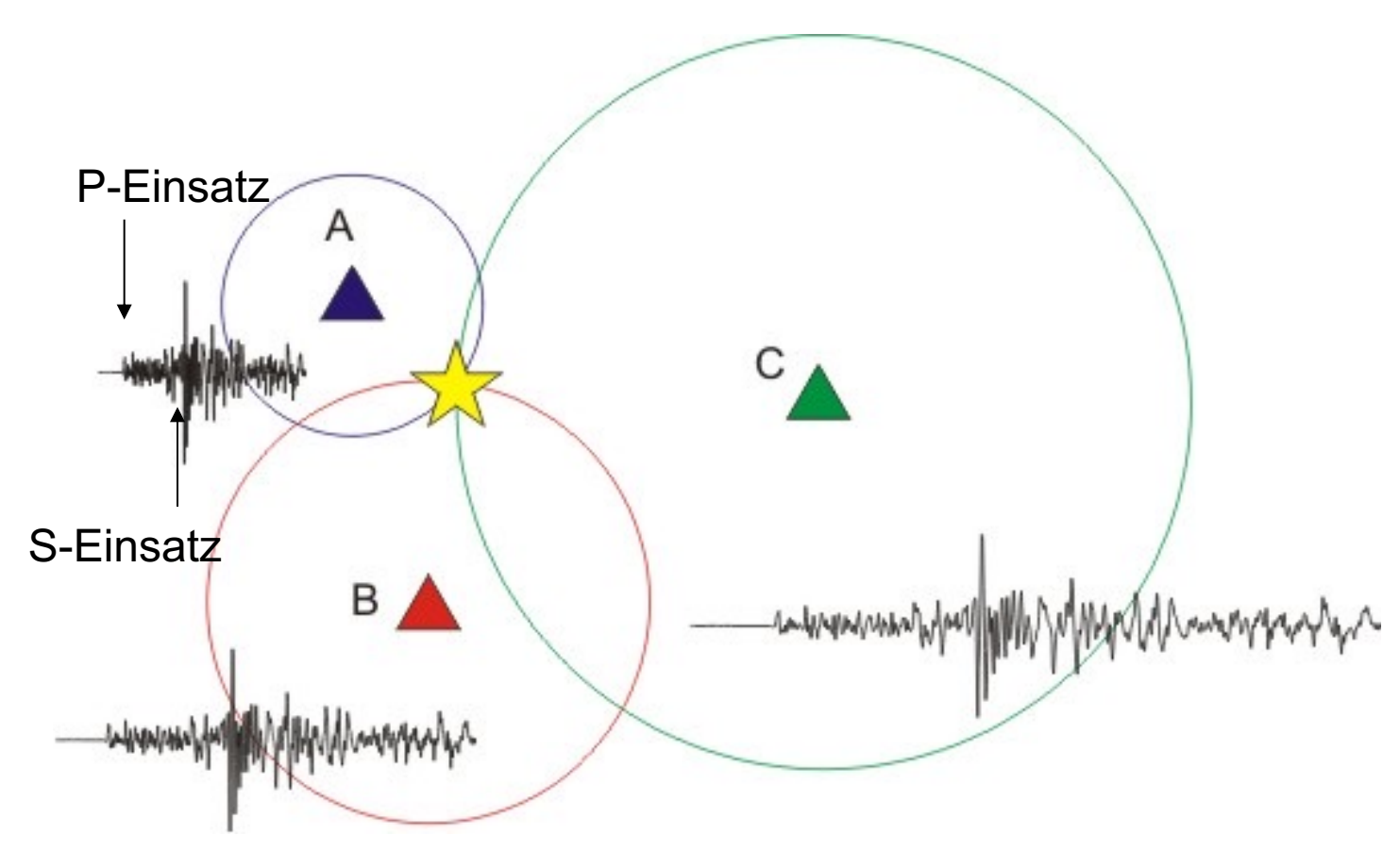
Lowrie, 2007





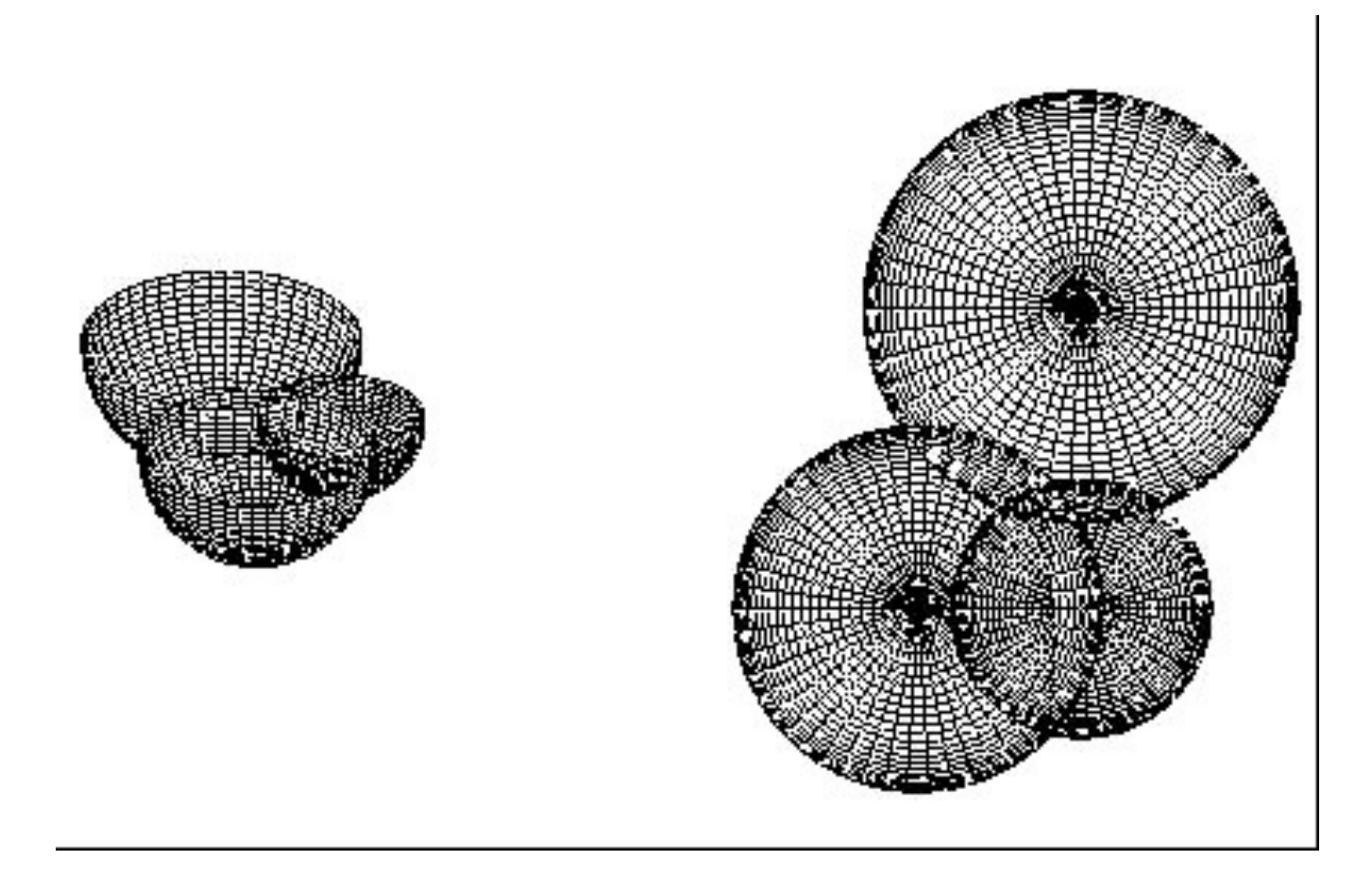
Triangulation, Drei-Kreis-Verfahren





im Nahbereich: Differenz der S- und P-Laufzeiten







Lokalisierung von Erdbeben: Wo gibt es Infos?

GFZ:

http://www.gfz-potsdam.de/medien-kommunikation/erdbebeninformationen/

Bundesanstalt f
 ür Geowissenschaften und Rohstoffe:

https://www.bgr.bund.de/DE/Themen/Erdbeben-Gefaehrdungsanalysen/Seismologie/Seismologie/Aktuelle-Beben/aktuelle-beben_node.html

Erdbebendienst Südwest:

http://www.erdbebendienst-suedwest.de/navi/home/

European-Mediterranean Seismological Centre (EMSC):

http://www.emsc-csem.org/#2

Istituto Nazionale di Geofisica a Vulcanologia

http://cnt.rm.ingv.it/en/

United States Geological Survey:

https://earthquake.usgs.gov/

Japan Meteorological Agency:

http://www.jma.go.jp/en/quake/

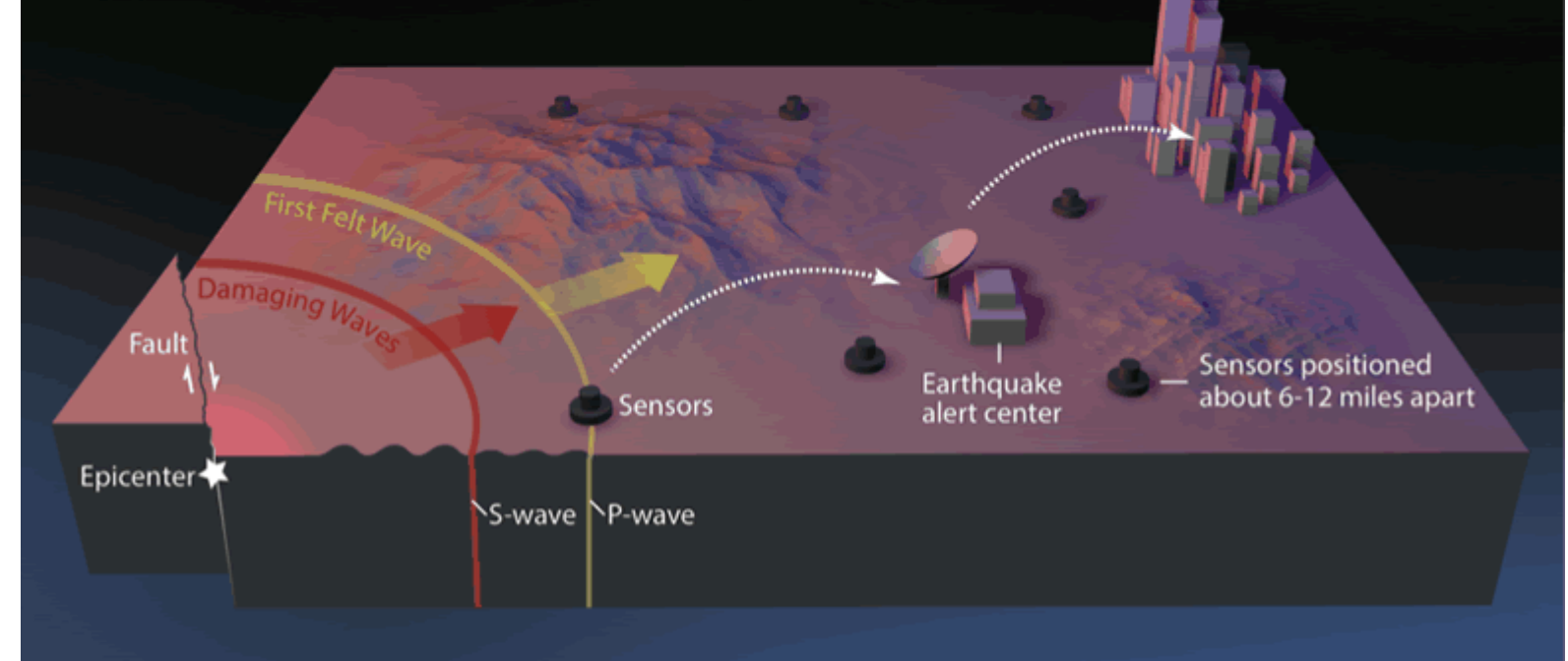




Lokalisierung von Erdbeben: Frühwarnung

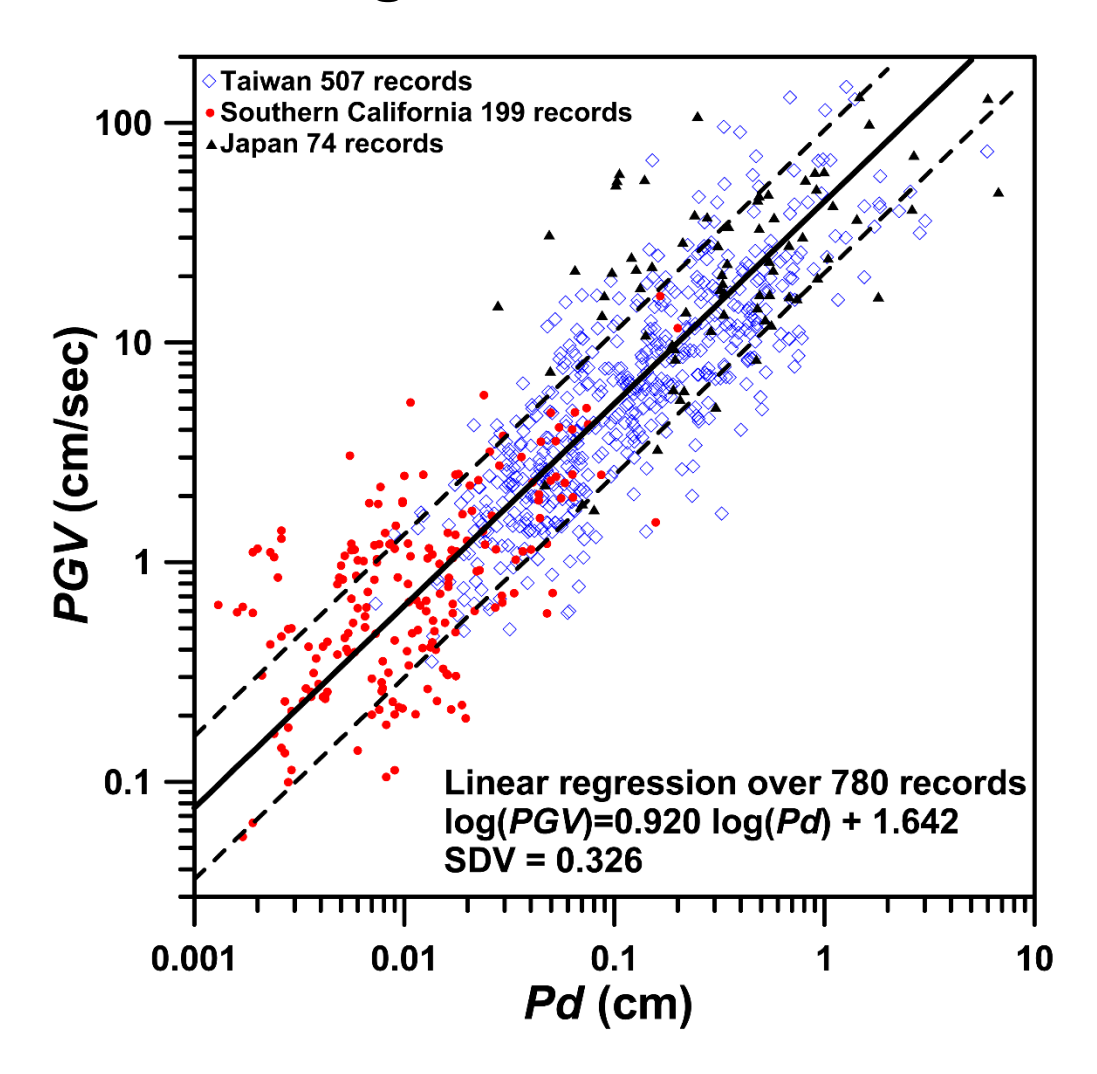
Earthquake Early Warning Basics

- 1 In an earthquake, a rupturing fault sends out different types of waves. The fast-moving P-wave is first to arrive, but damage is caused by the slower S-waves and later-arriving surface waves.
- 2 Sensors detect the P-wave and immediately transmit data to an earthquake alert center where the location and size of the quake are determined and updated as more data become available.
- 3 A message from the alert center is immediately transmitted to your computer or mobile phone, which calculates the expected intensity and arrival time of shaking at your location.





Lokalisierung von Erdbeben: Frühwarnung

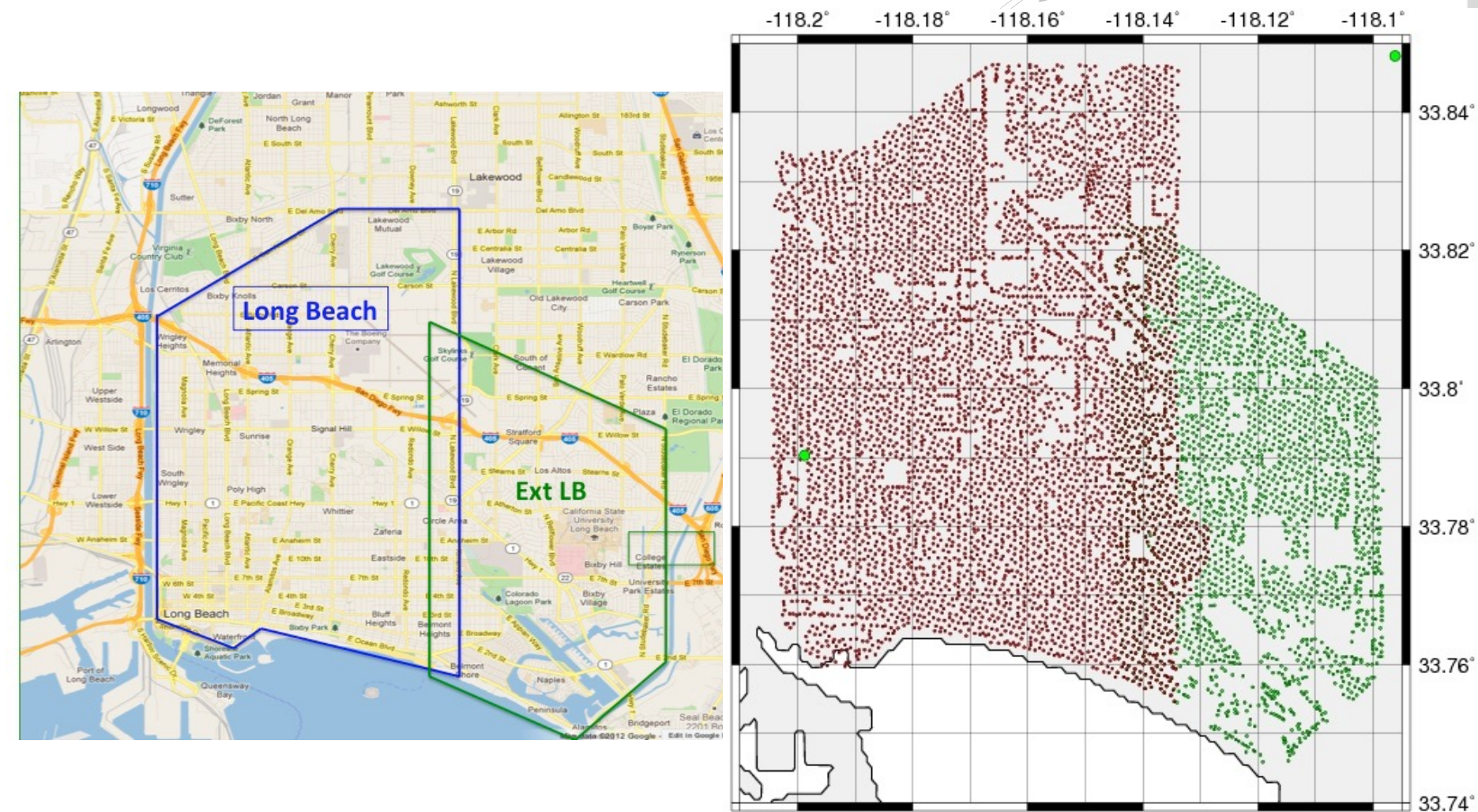




Long Beach array: 5000+ recorders



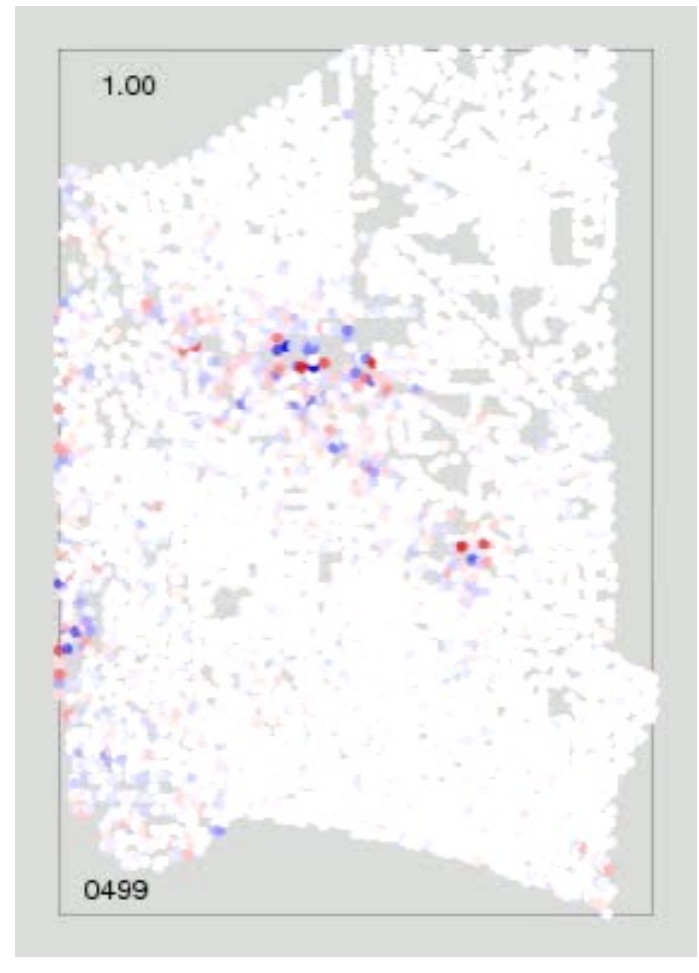




Dense observations (Large N)

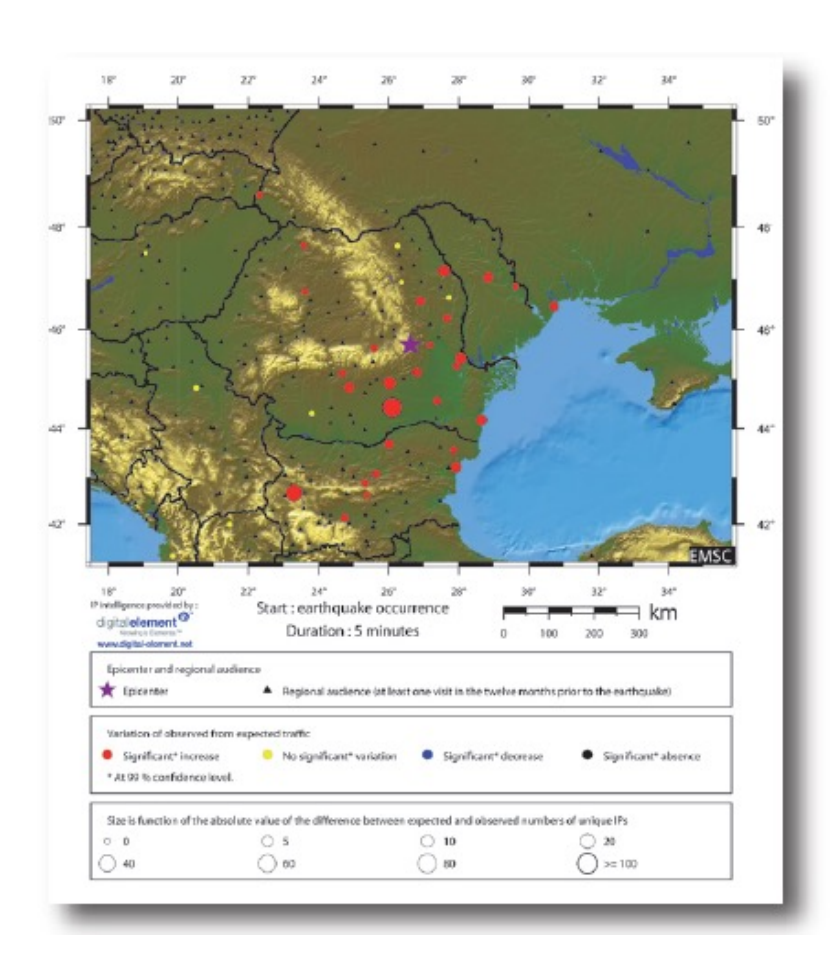


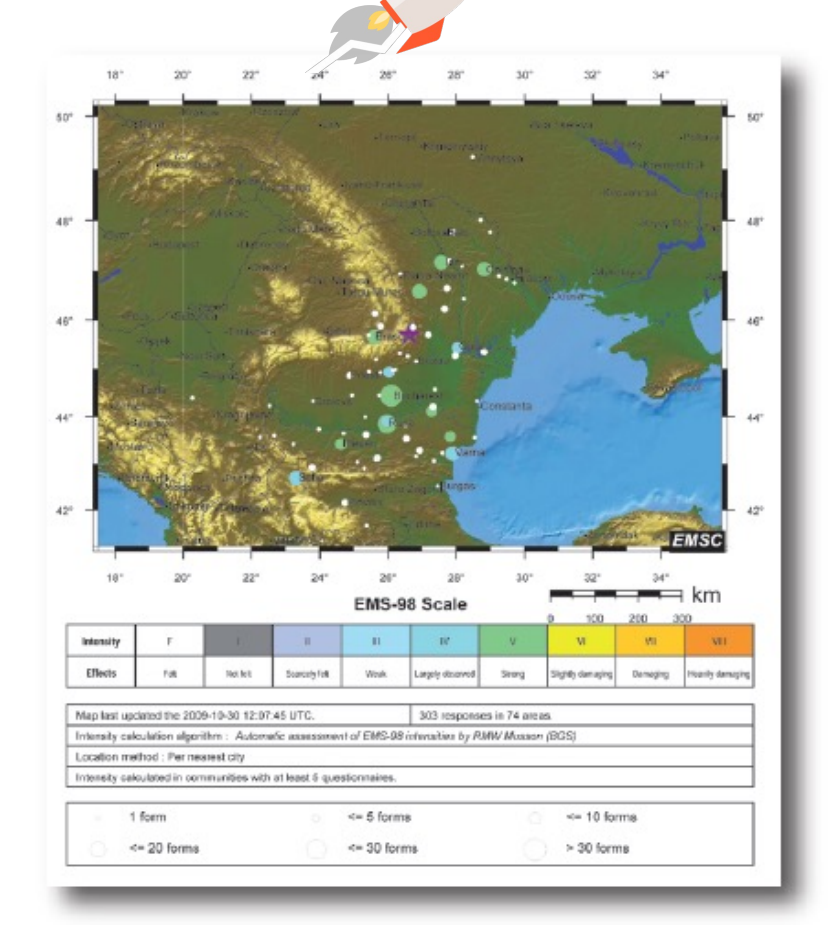




Erdbeben Lokalisierung: Geographical location of IP addresses









Lokalisierung von Erdbeben: Quake Catcher Network



Das Quake-Catcher Netzwerk

as Quake-Catcher Network ist eine gemeinsame Initiative für die Entwicklung des weltweit größten, kostengünstigen seismischen Netzwerkes für starke Bewegungen durch die Verwendung von Sensoren in und an Computern mit Internetanschluss. Mit deiner Hilfe, kann das Quake-Catcher Netzwerk zum besseren Verständnis von Erdbeben beitragen, als Frühwarnsystem für Schulen dienen, Notfallsysteme unterstützen, und vieles mehr.



Das Quake-Catcher Network bietet auch Lernsoftware an, um über Erdbeben und Erdbebengefahren zu lernen.



Installation



Eine kleiner und wartungsarmer Bewegungssensor wird zusammen mit dem freien QCN-Software installiert.

mehr Infos →

Überwachen



Sensor-Daten zeigen sowohal die Standorte, als auch die Größe von Erdbeben nahezu in Echtzeit.

mehr Infos →

Teilen



Host-Computer laden ihre Sensor-Daten direkt hoch ins Online-QCN Netzwerk zur Weiterverarbeitung.

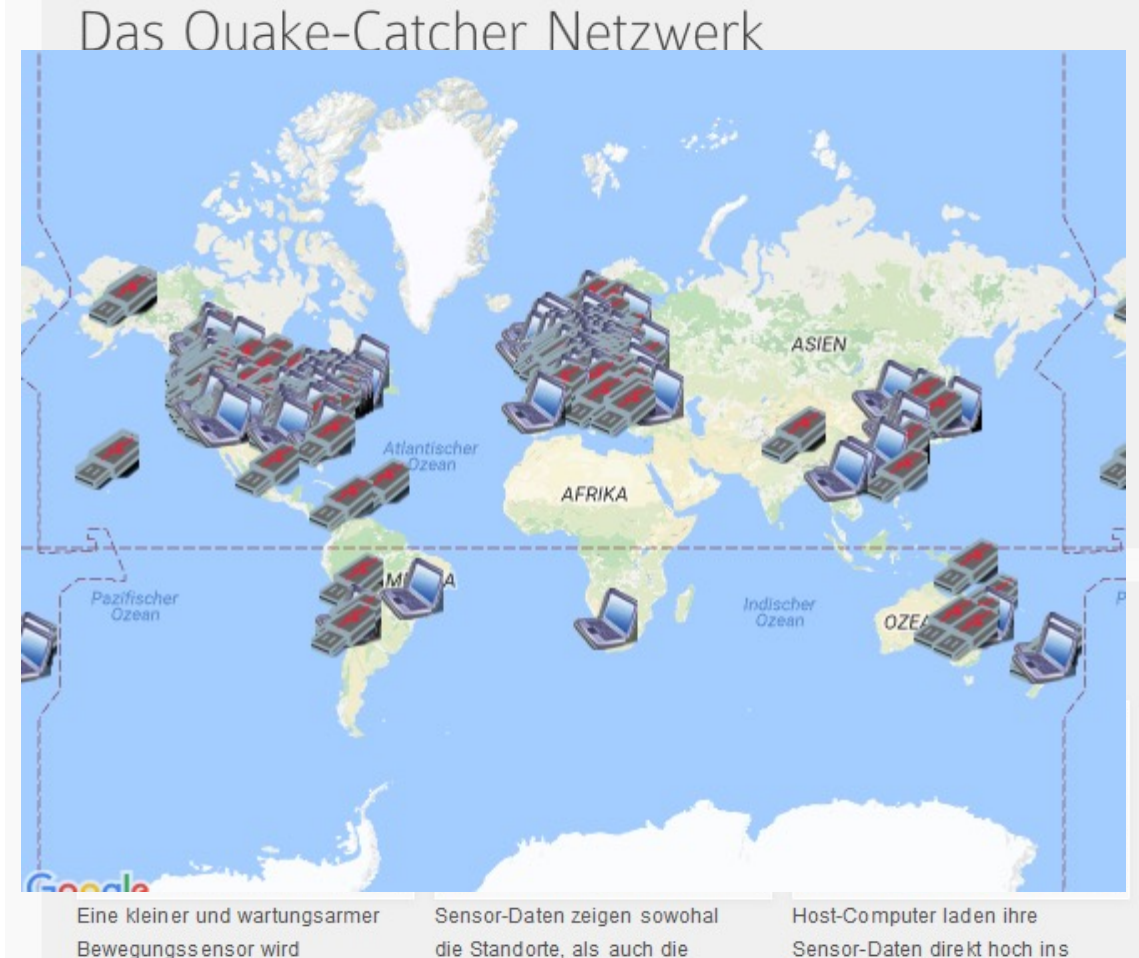
mehr Infos →



Lokalisierung von Erdbeben: Quake Catcher Network







Größe von Erdbeben nahezu in

Echtzeit.

mehr Infos →

Online-QCN Netzwerk zur

Weiterverarbeitung.

mehr Infos →

zusammen mit dem freien

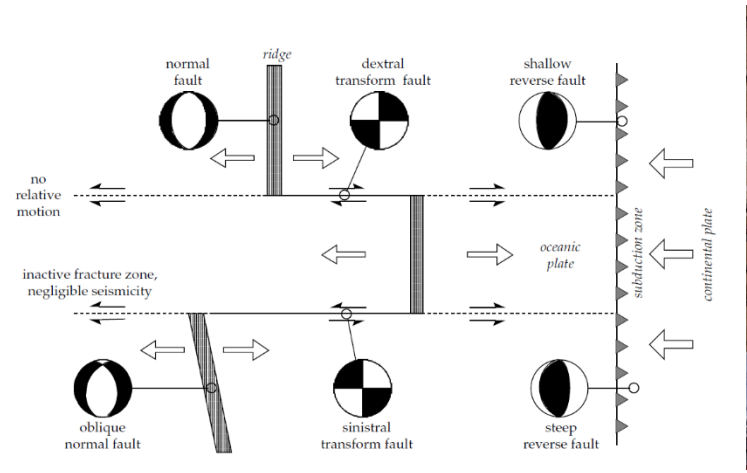
QCN-Software installiert.

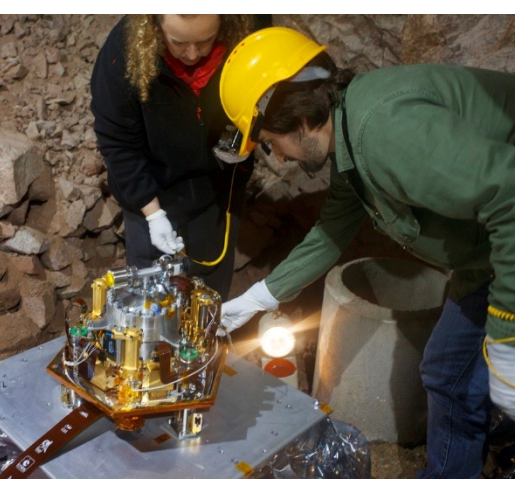
mehr Infos →

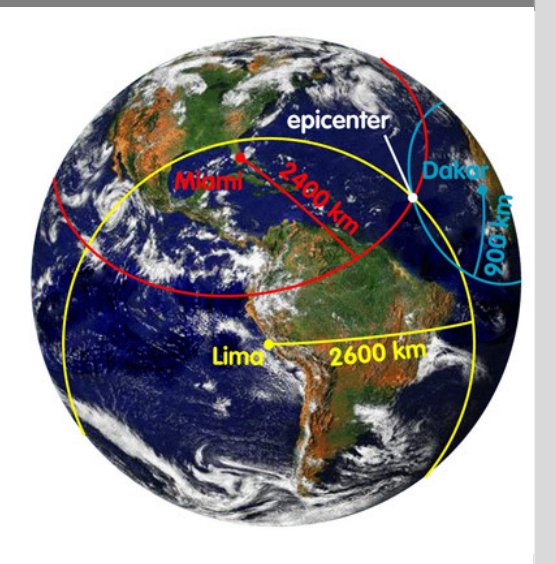


Zusammenfassung – Letzte Woche:

- Wie lassen sich Bruchprozesse in der Lithosphäre beschreiben und charakterisieren?
- Wie lassen sich Erdbeben messen?
- Wie werden Erdbebenherde lokalisiert?







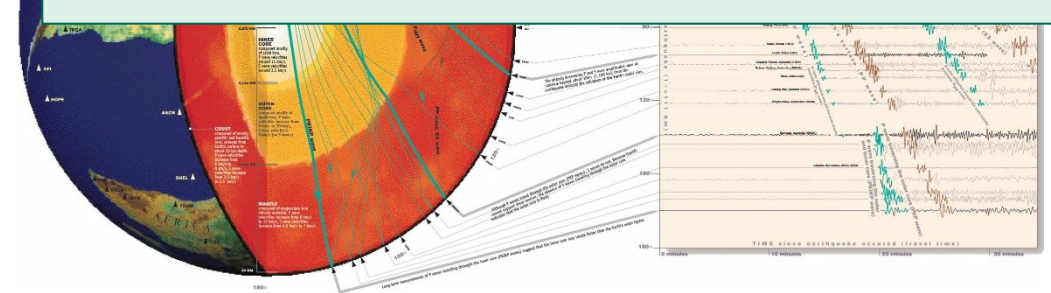


Einführung in die Geophysik II

Ausbreitung von Erdbebenwellen, Strukturerkundung

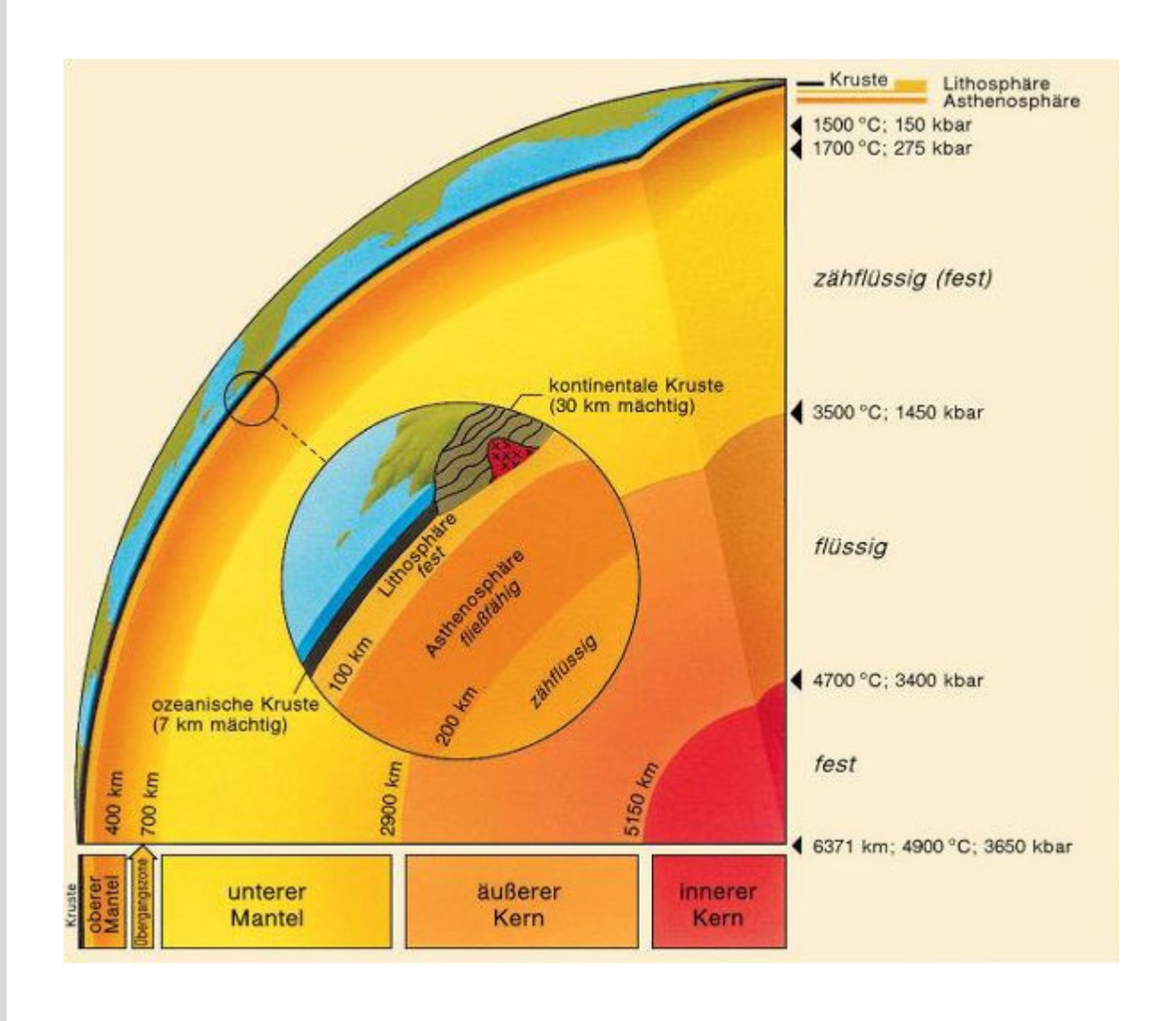
Geophysikalisches Institut, Fakultät für Physik

- Wie breiten sich Erdbebenwellen global aus?
- Welche Rückschlüsse lassen sich daraus auf die Struktur der Erde ziehen?



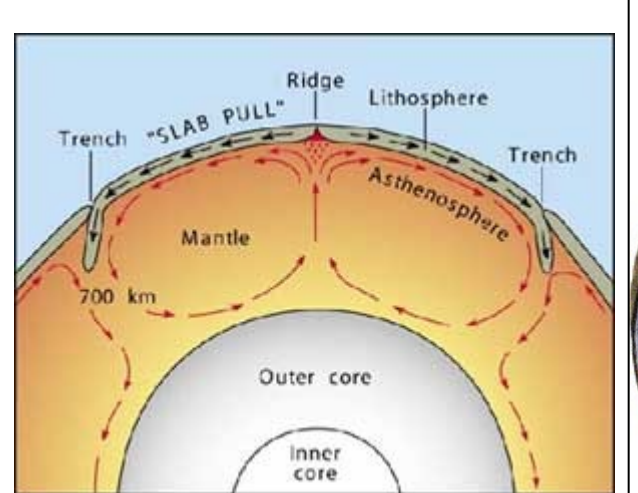
Aufbau der Erde

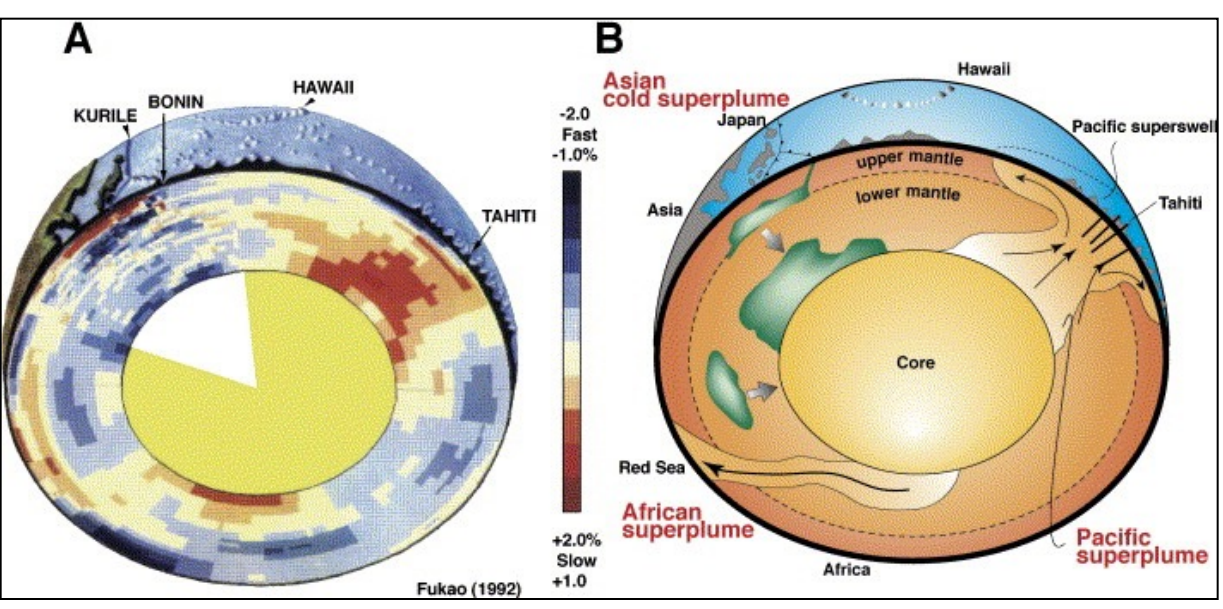




Aufbau der Erde



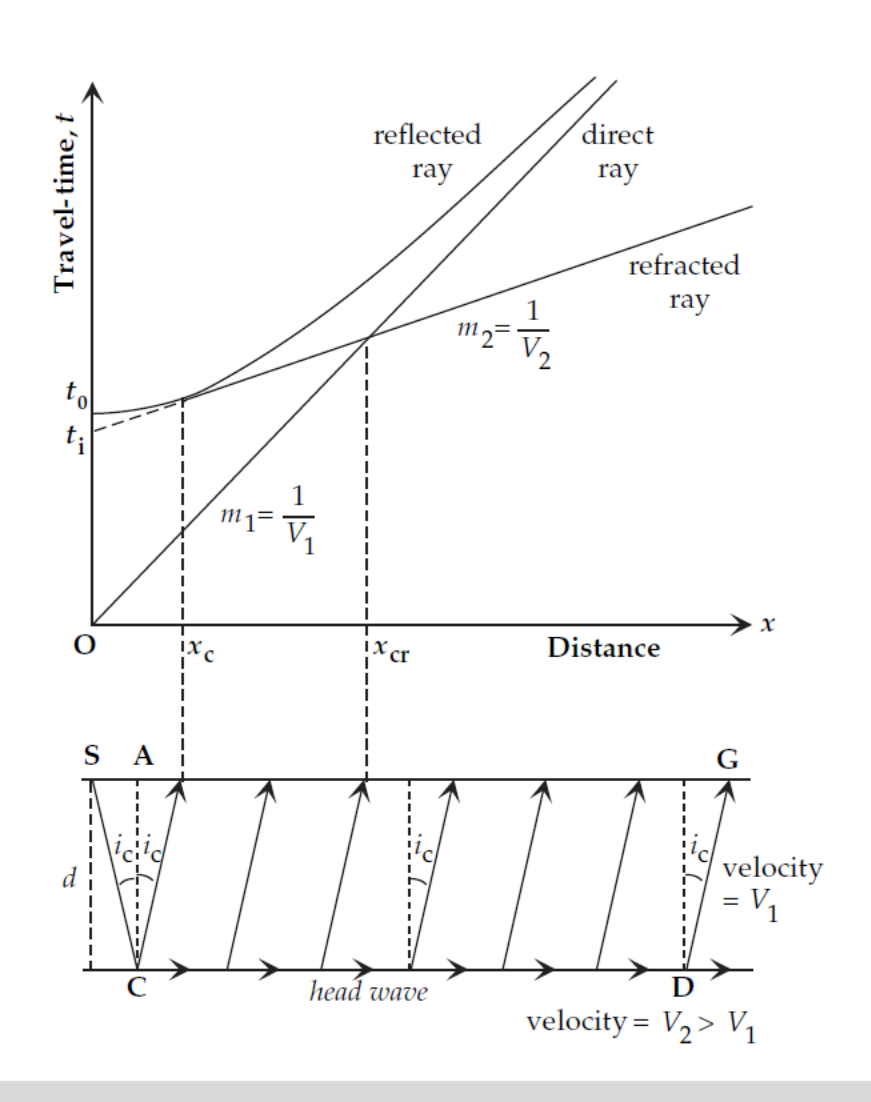




- deutliche laterale Heterogenitäten (Plattentektonik, Plumes etc.)
- deshalb: Erstellen von komplexeren Modellen (Vorlesungen am Ende des Semesters)

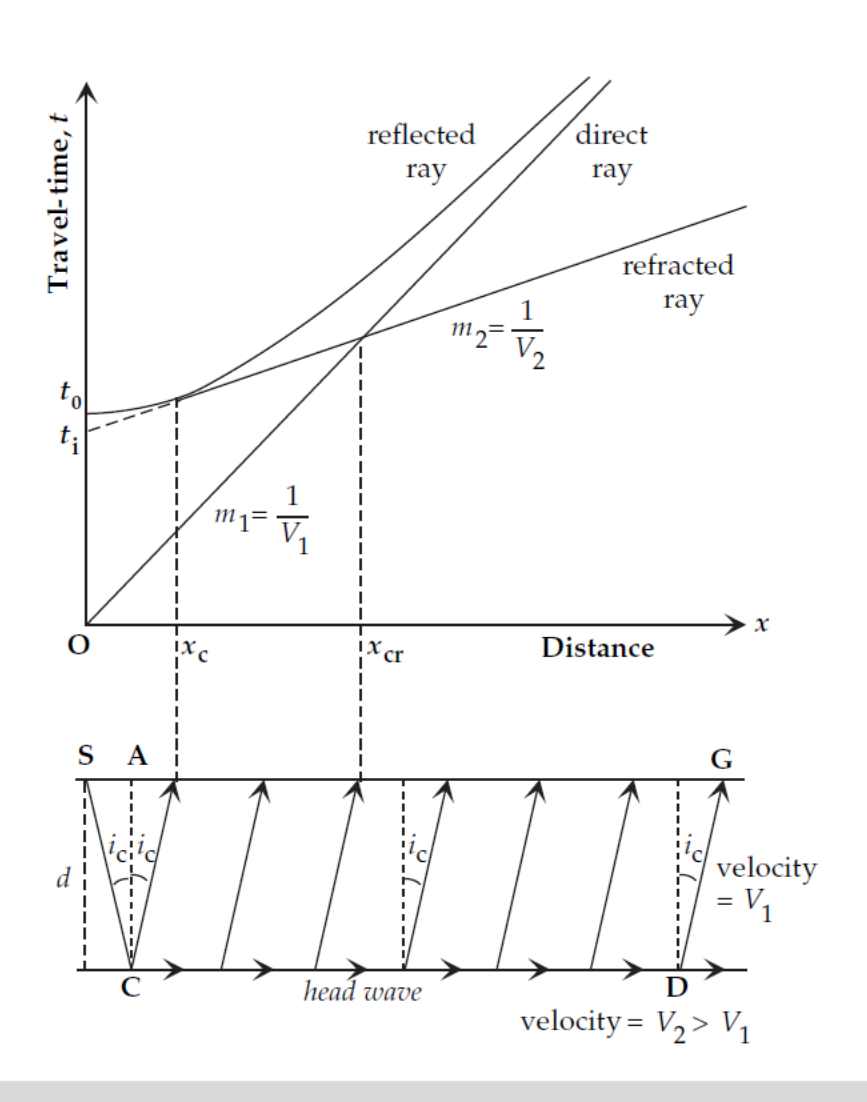
Erinnerung: Seismik

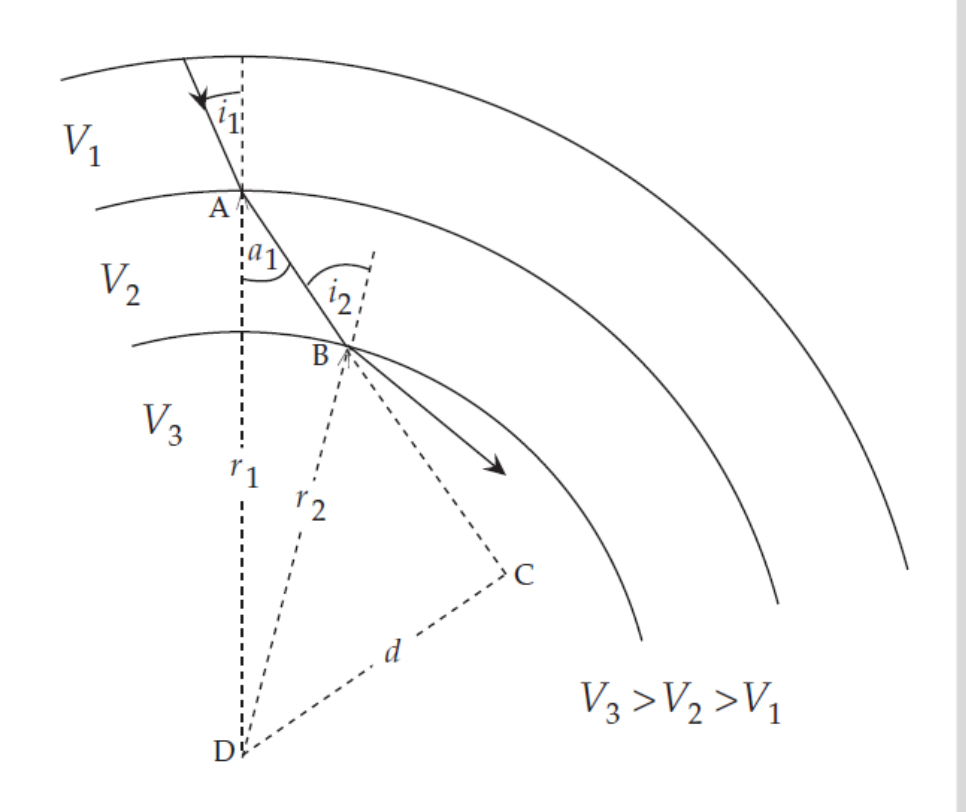




Erinnerung: Seismik

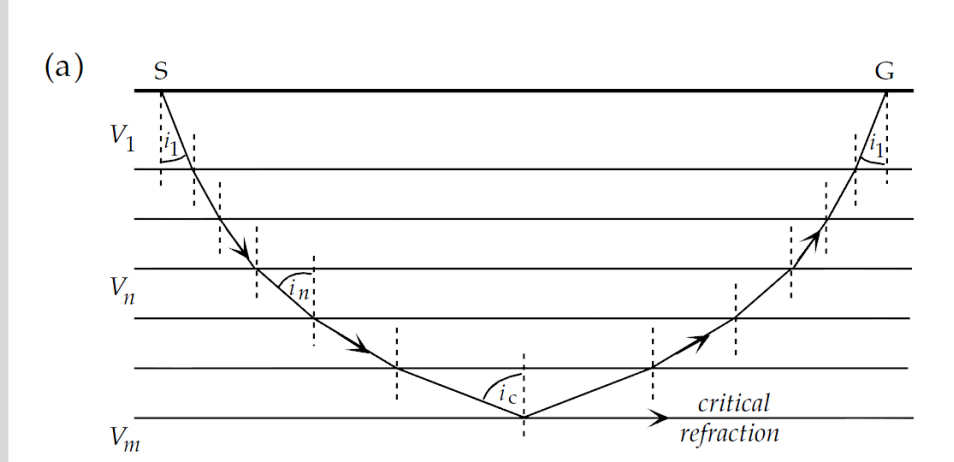


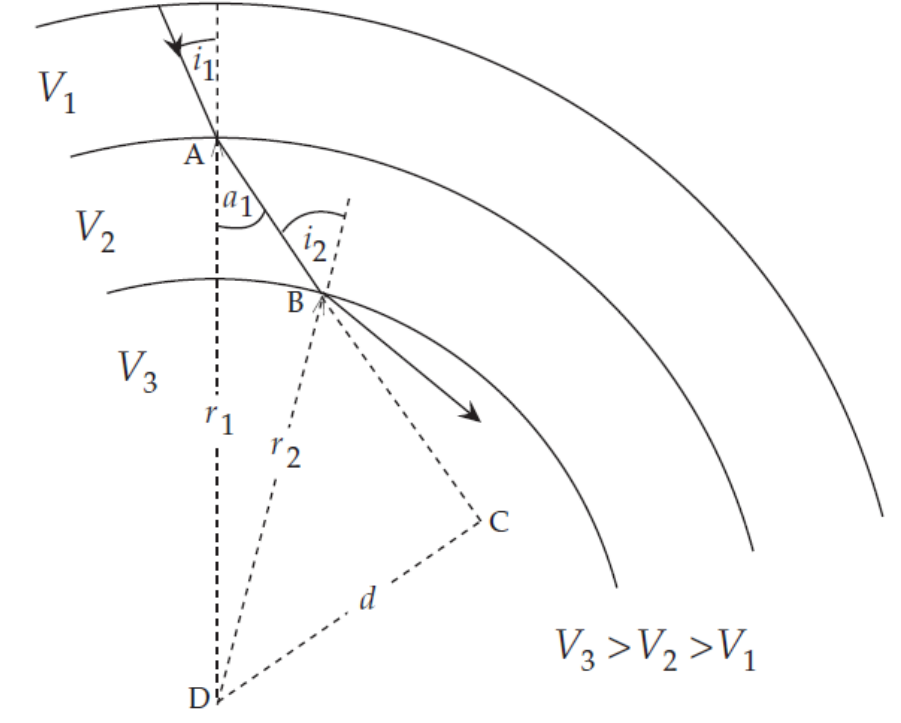


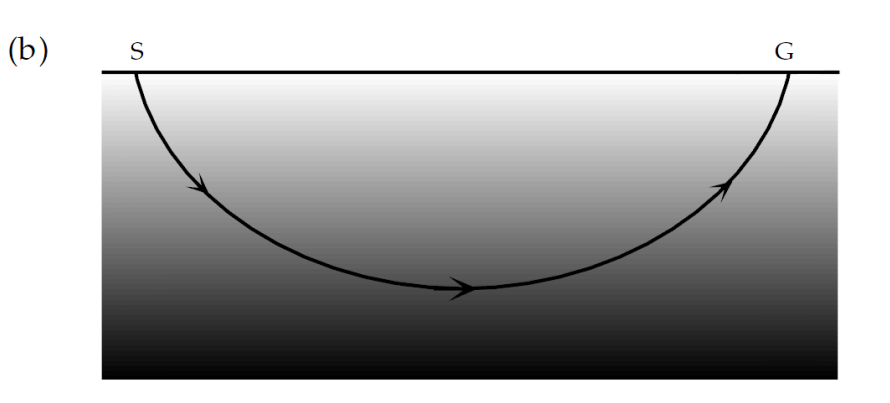


Erinnerung: Seismik





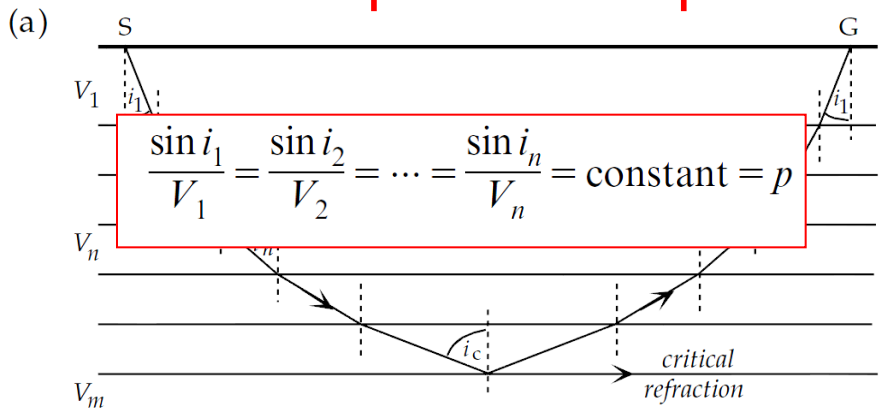


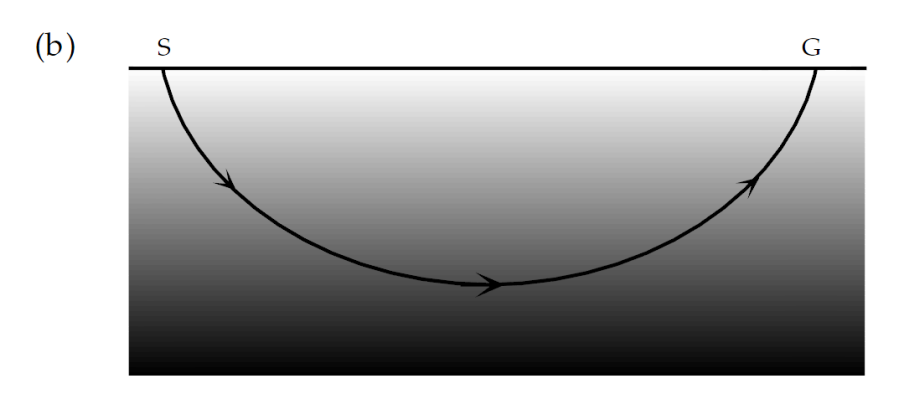


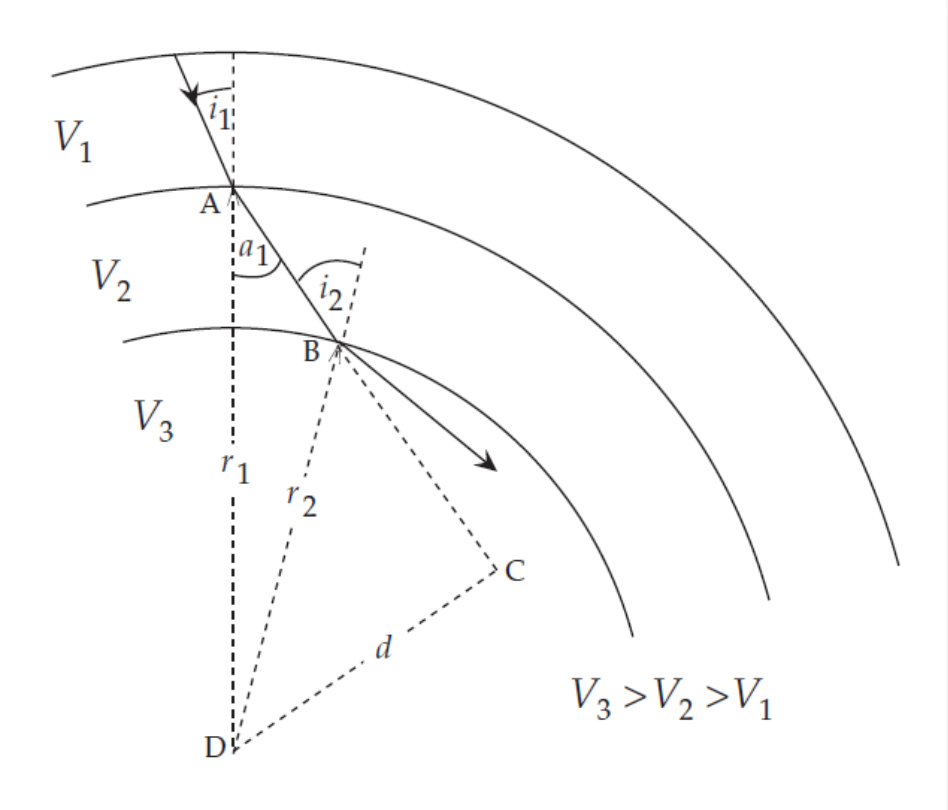
Erinnerung: Seismik



Strahlparameter p



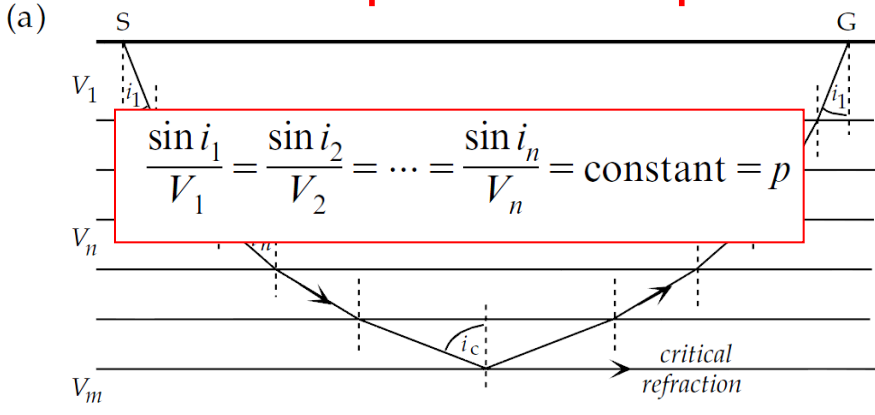




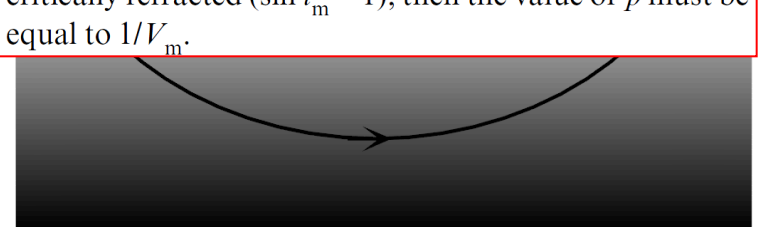
Erinnerung: Seismik

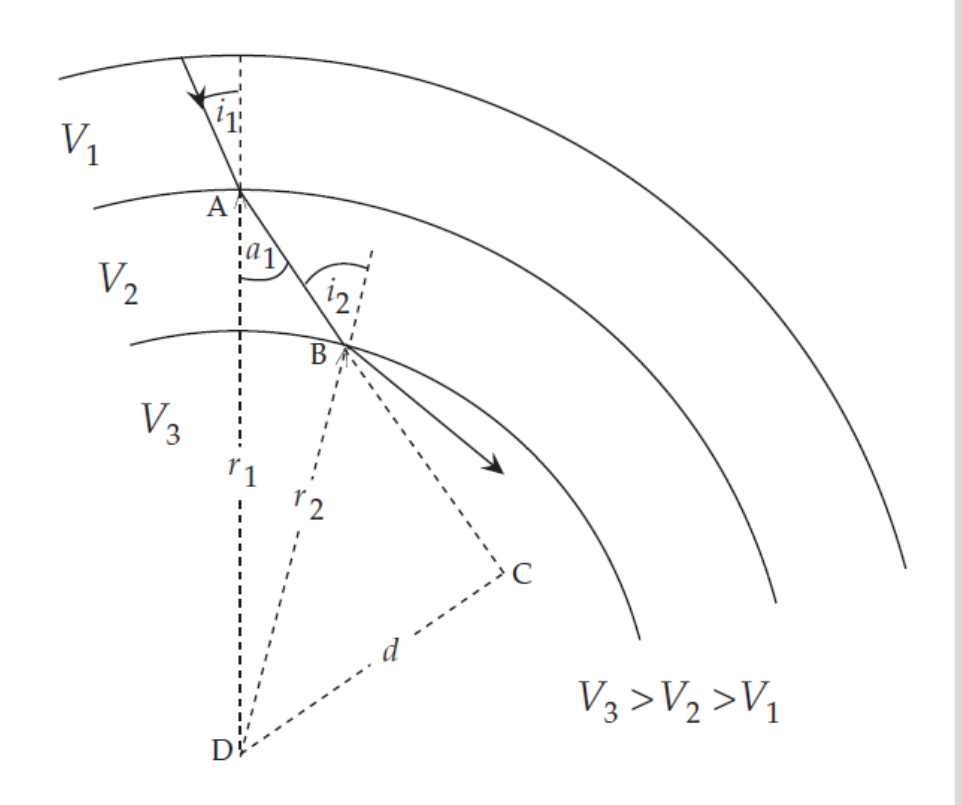


Strahlparameter p



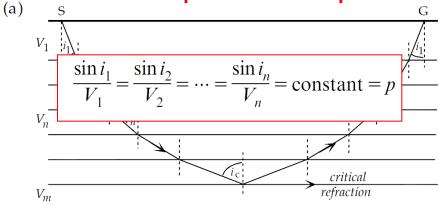
(b) The constant p is called the *ray parameter*. It is characteristic for a particular ray with emergence angle i_1 and velocity V_1 in the surface layer. If V_m is the velocity of the deepest layer, along whose surface the ray is eventually critically refracted ($\sin i_m = 1$), then the value of p must be equal to $1/V_m$.





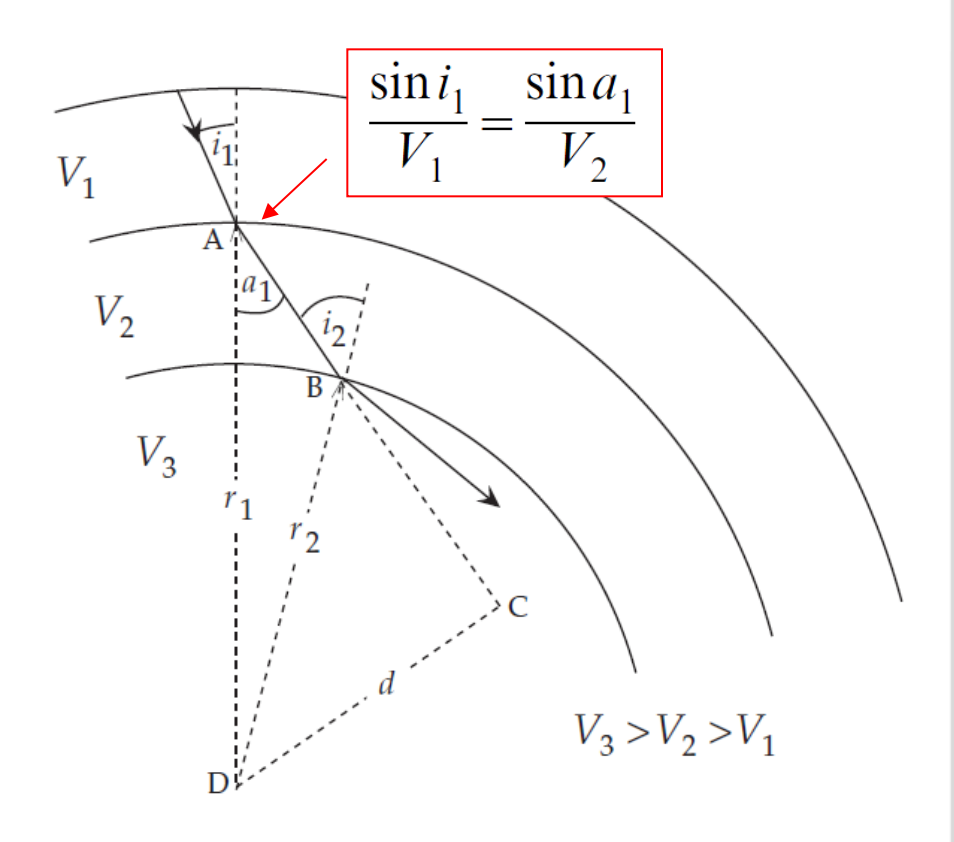


Strahlparameter p



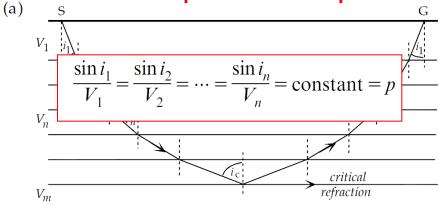
(b) The constant p is called the *ray parameter*. It is characteristic for a particular ray with emergence angle i_1 and velocity V_1 in the surface layer. If V_m is the velocity of the deepest layer, along whose surface the ray is eventually critically refracted ($\sin i_m = 1$), then the value of p must be equal to $1/V_m$.





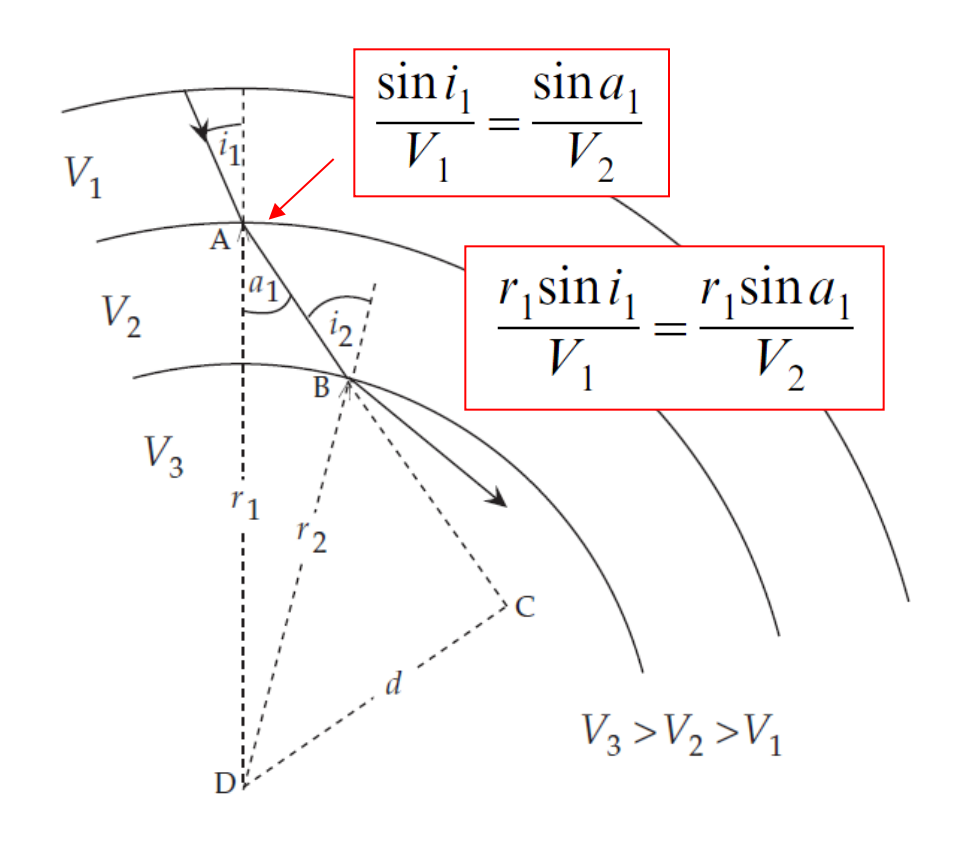


Strahlparameter p



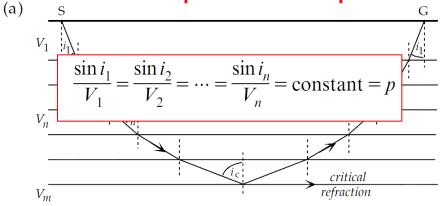
(b) The constant p is called the *ray parameter*. It is characteristic for a particular ray with emergence angle i_1 and velocity V_1 in the surface layer. If V_m is the velocity of the deepest layer, along whose surface the ray is eventually critically refracted ($\sin i_m = 1$), then the value of p must be equal to $1/V_m$.





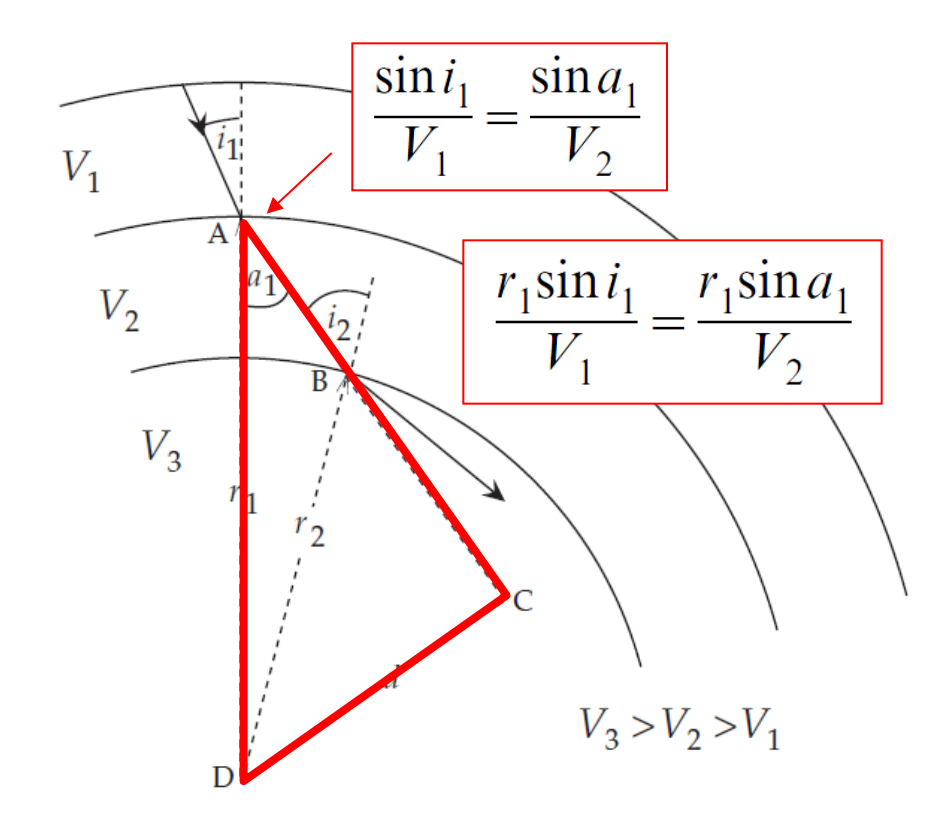


Strahlparameter p



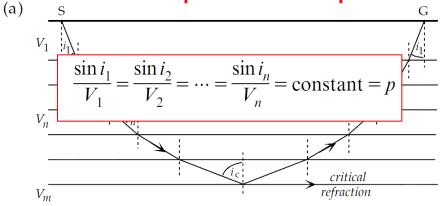
(b) The constant p is called the *ray parameter*. It is characteristic for a particular ray with emergence angle i_1 and velocity V_1 in the surface layer. If V_m is the velocity of the deepest layer, along whose surface the ray is eventually critically refracted ($\sin i_m = 1$), then the value of p must be equal to $1/V_m$.





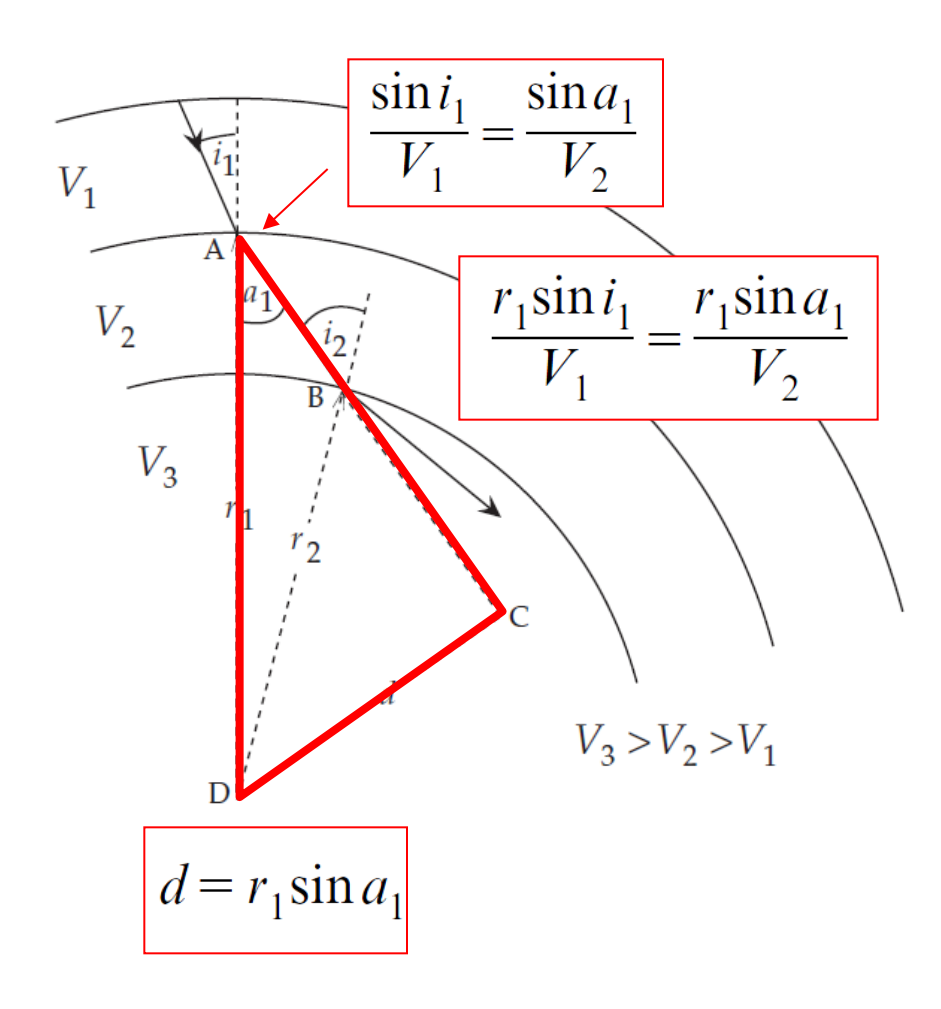


Strahlparameter p



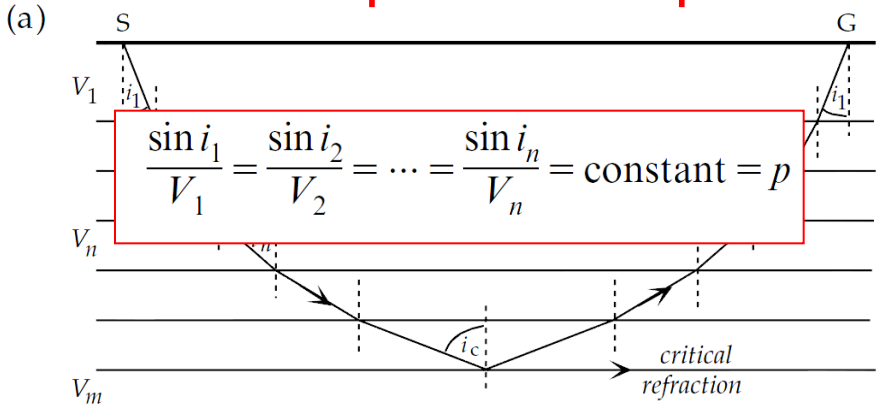
(b) The constant p is called the *ray parameter*. It is characteristic for a particular ray with emergence angle i_1 and velocity V_1 in the surface layer. If V_m is the velocity of the deepest layer, along whose surface the ray is eventually critically refracted ($\sin i_m = 1$), then the value of p must be equal to $1/V_m$.



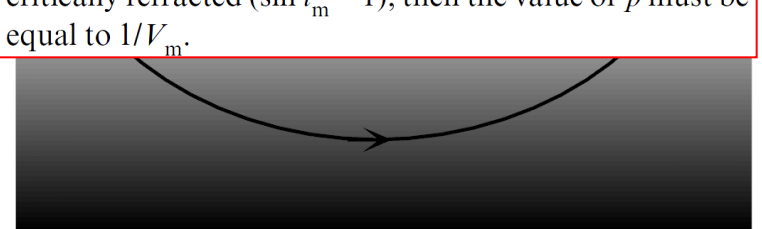


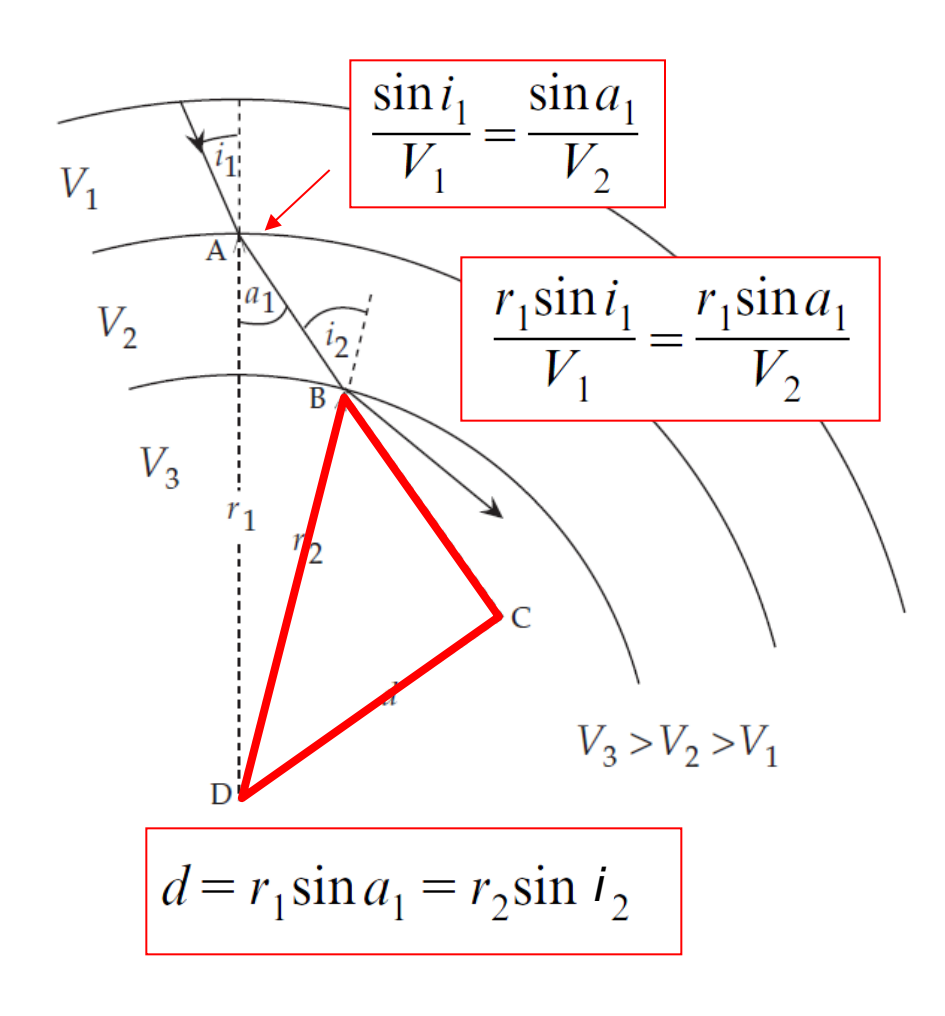


Strahlparameter p



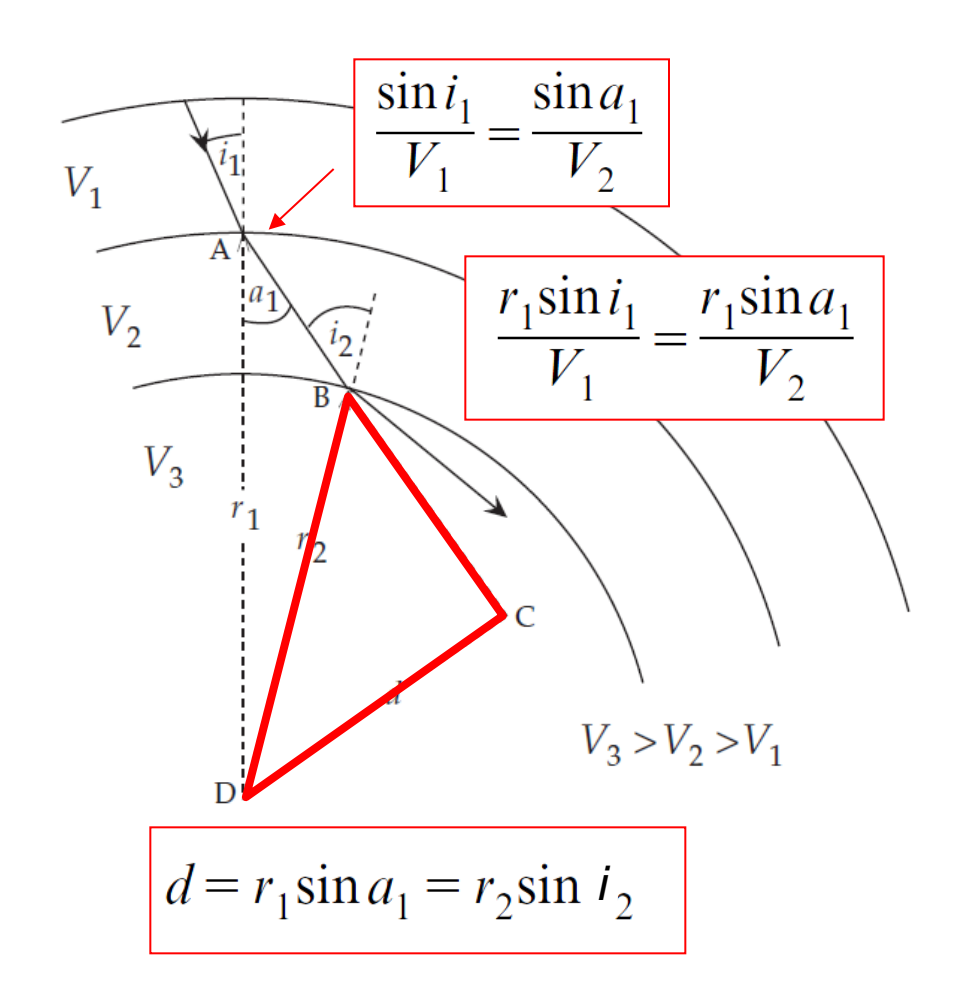
(b) The constant p is called the *ray parameter*. It is characteristic for a particular ray with emergence angle i_1 and velocity V_1 in the surface layer. If V_m is the velocity of the deepest layer, along whose surface the ray is eventually critically refracted ($\sin i_m = 1$), then the value of p must be equal to $1/V_m$.







$$\frac{r_1 \sin i_1}{V_1} = \frac{r_1 \sin a_1}{V_2}$$

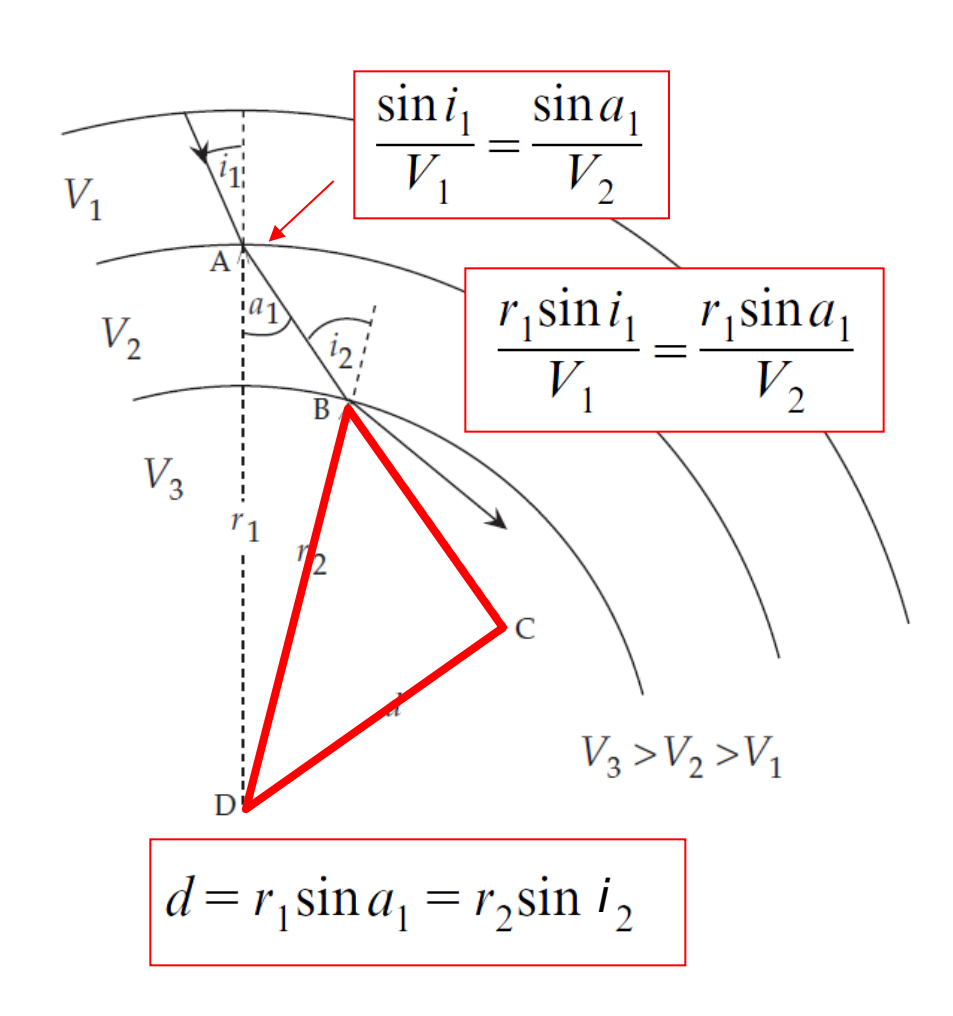




$$\frac{r_1 \sin i_1}{V_1} = \frac{r_1 \sin a_1}{V_2}$$

mit

$$d = r_1 \sin a_1 = r_2 \sin i_2$$





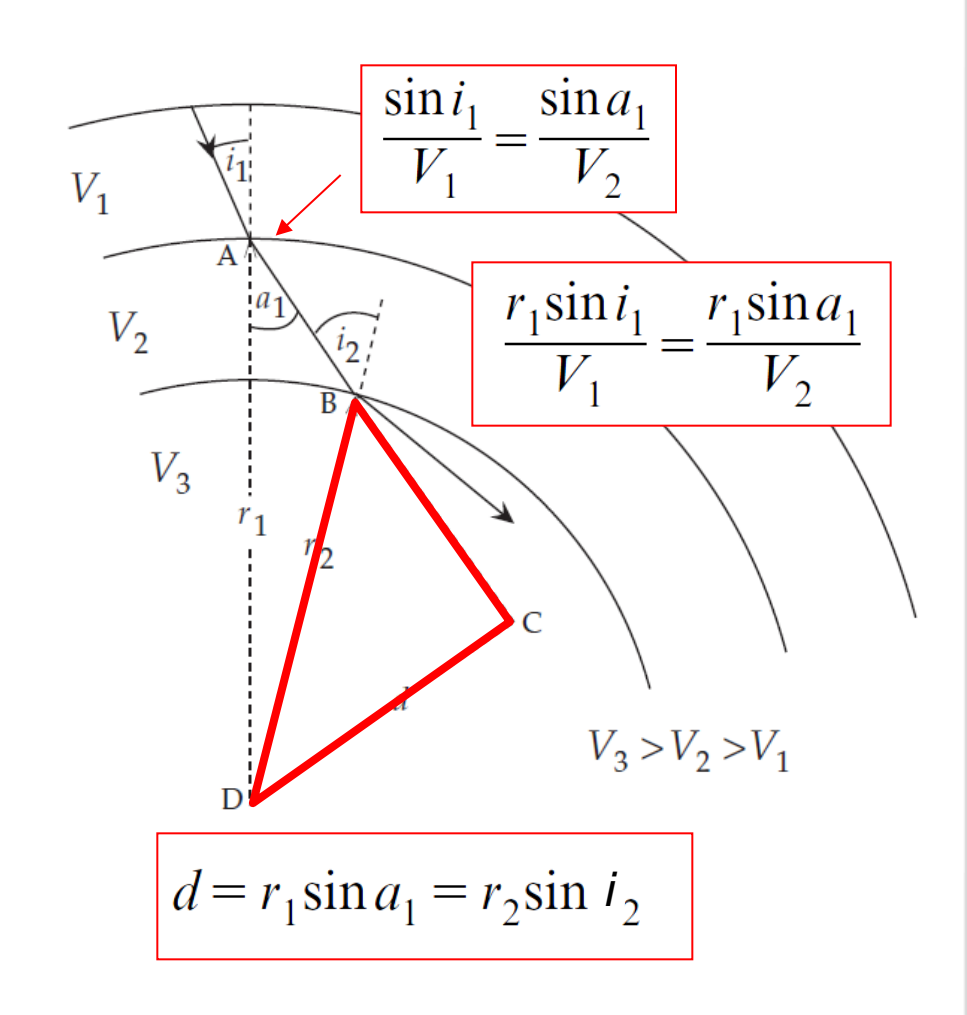
$$\frac{r_1 \sin i_1}{V_1} = \frac{r_1 \sin a_1}{V_2}$$

mit

$$d = r_1 \sin a_1 = r_2 \sin r_2$$

ergibt

$$\frac{r_1 \sin i_1}{V_1} = \frac{r_2 \sin i_2}{V_2} = \dots = \frac{r_n \sin i_n}{V_n} = p$$





$$\frac{r_1 \sin i_1}{V_1} = \frac{r_1 \sin a_1}{V_2}$$

mit

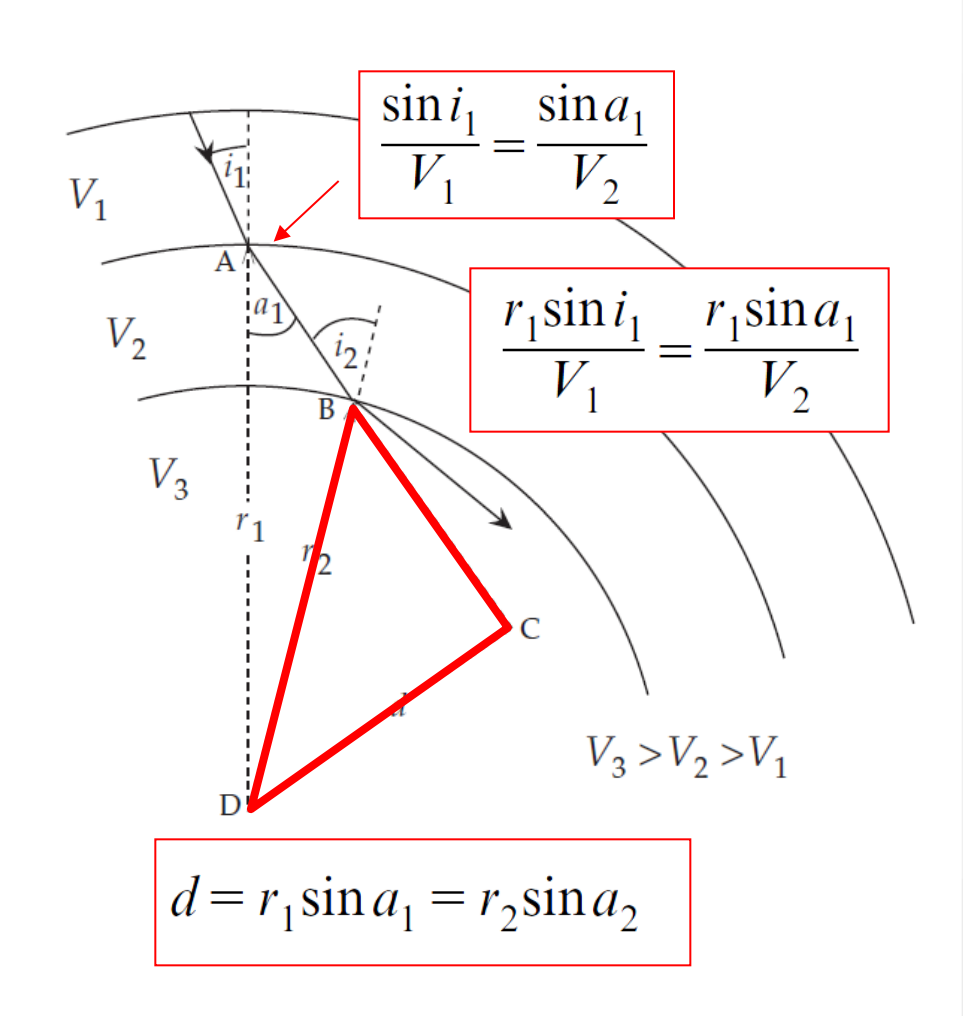
$$d = r_1 \sin a_1 = r_2 \sin r_2$$

ergibt

$$\frac{r_1 \sin i_1}{V_1} = \frac{r_2 \sin i_2}{V_2} = \dots = \frac{r_n \sin i_n}{V_n} = p$$

Strahlparameter p

Achtung: Dimension ist anders als bei Strahlparameter der Seismik!





$$\frac{r_1 \sin i_1}{V_1} = \frac{r_1 \sin a_1}{V_2}$$

mit

$$d = r_1 \sin a_1 = r_2 \sin i_2$$

ergibt

$$\frac{r_1 \sin i_1}{V_1} = \frac{r_2 \sin i_2}{V_2} = \dots = \frac{r_n \sin i_n}{V_n} = p$$

Strahlparameter p

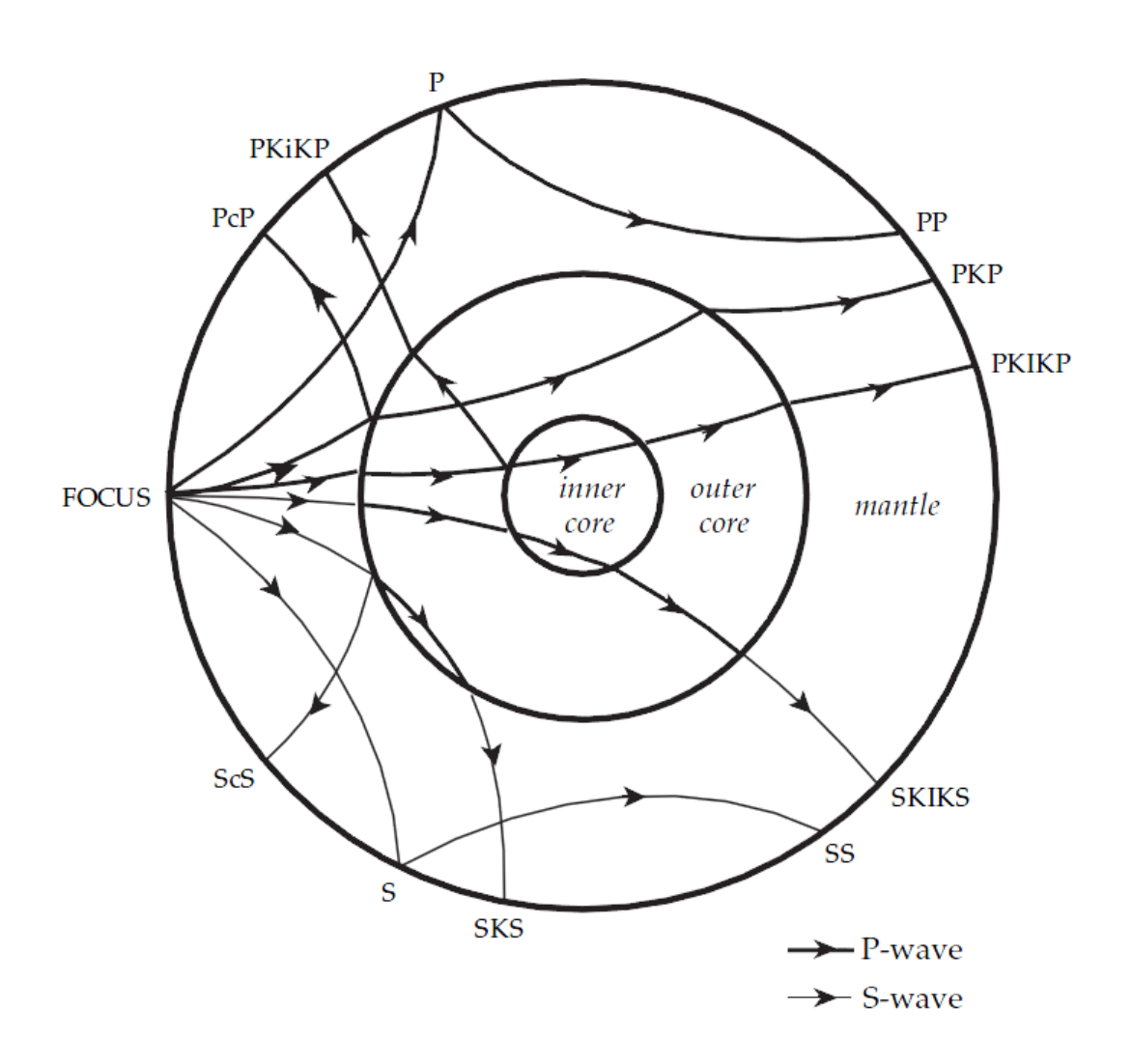
Achtung: Dimension ist anders als bei Strahlparameter der Seismik!

Benndorf relationship

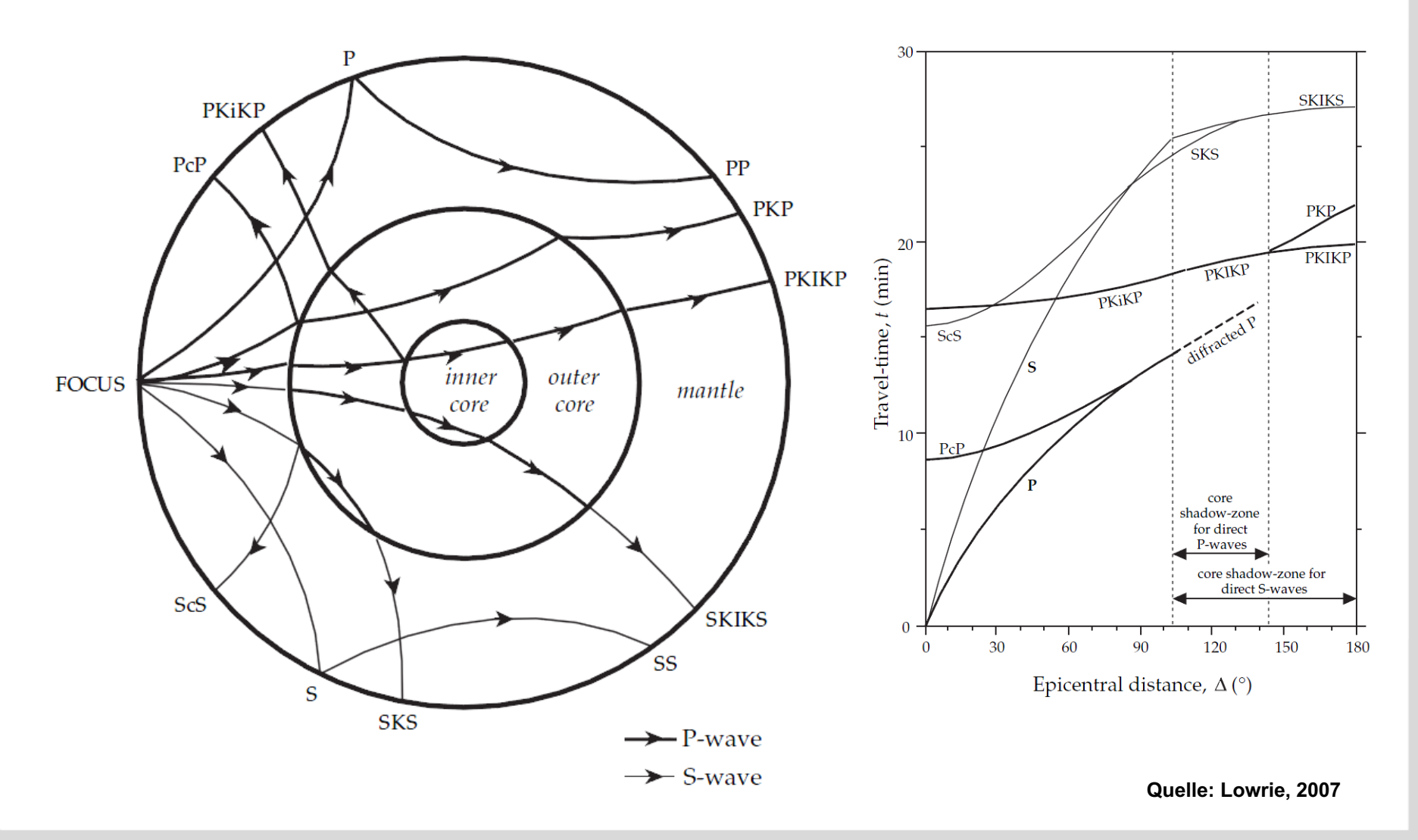
$$\frac{r\sin i}{V} = \frac{r_0}{V_0} = p$$

für sin i = 1 bei $r = r_0$

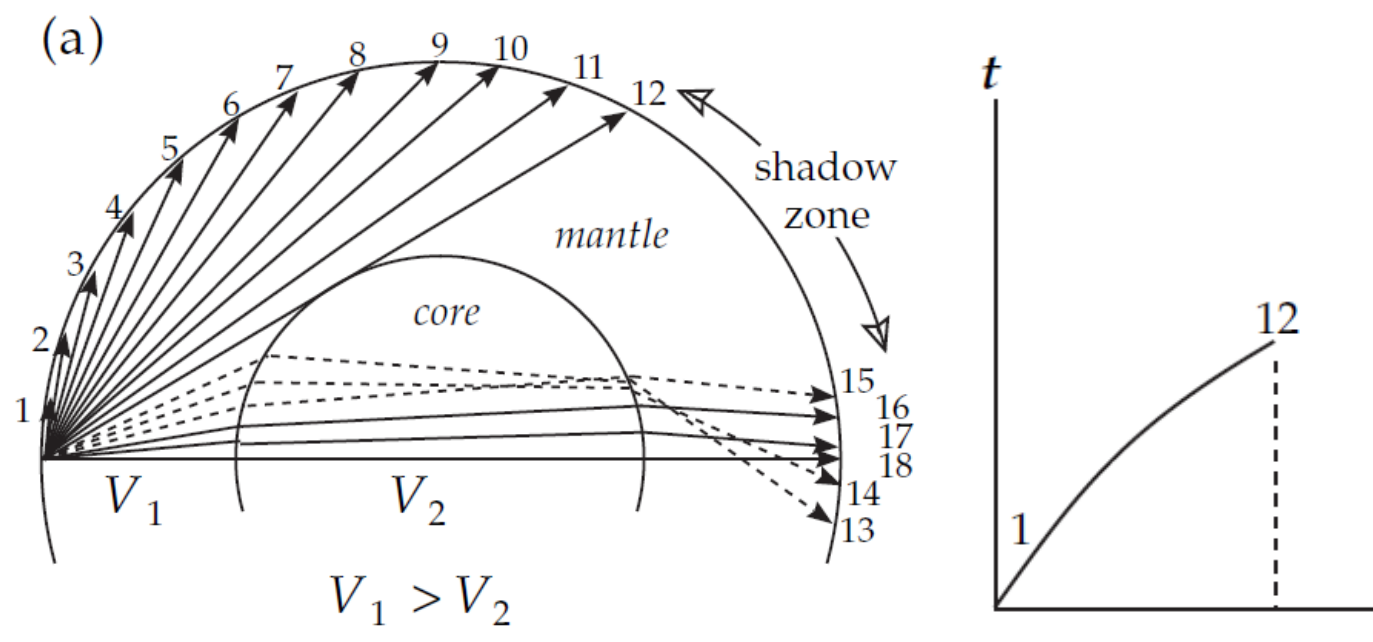


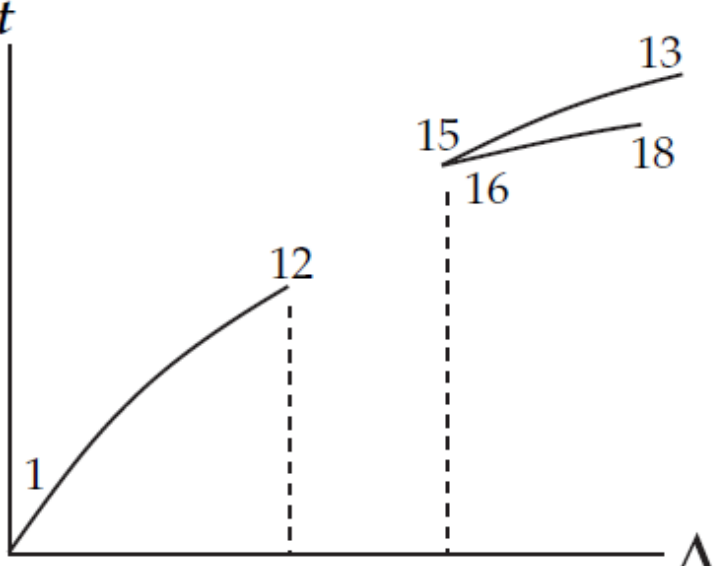




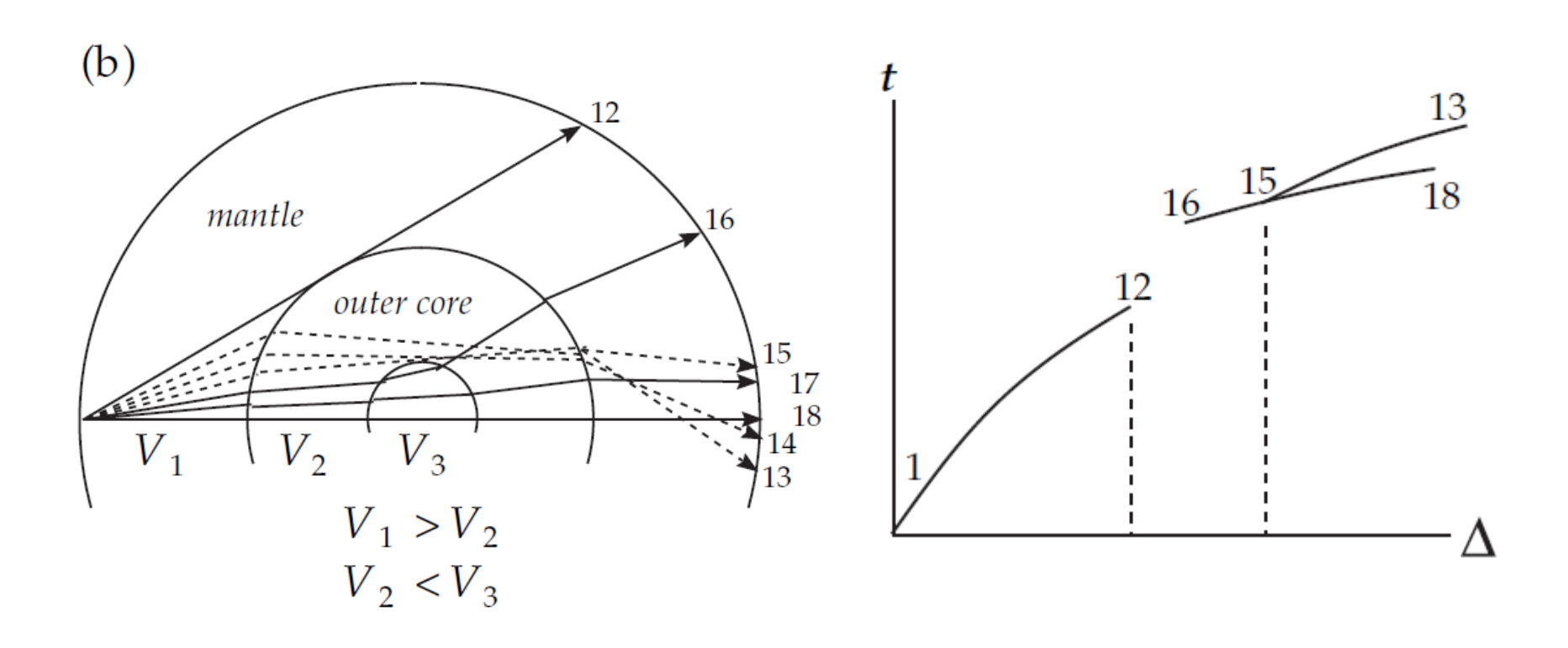




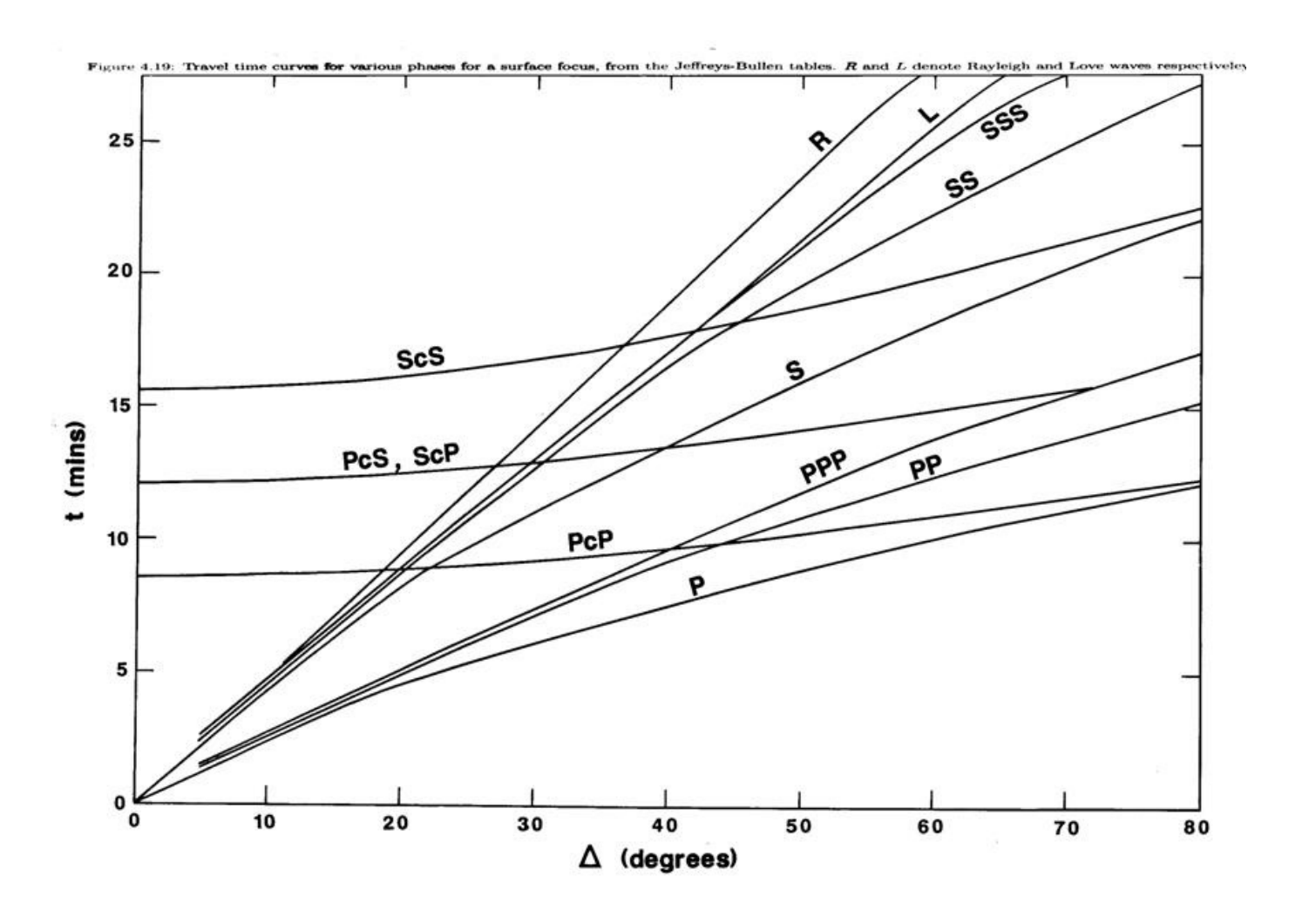




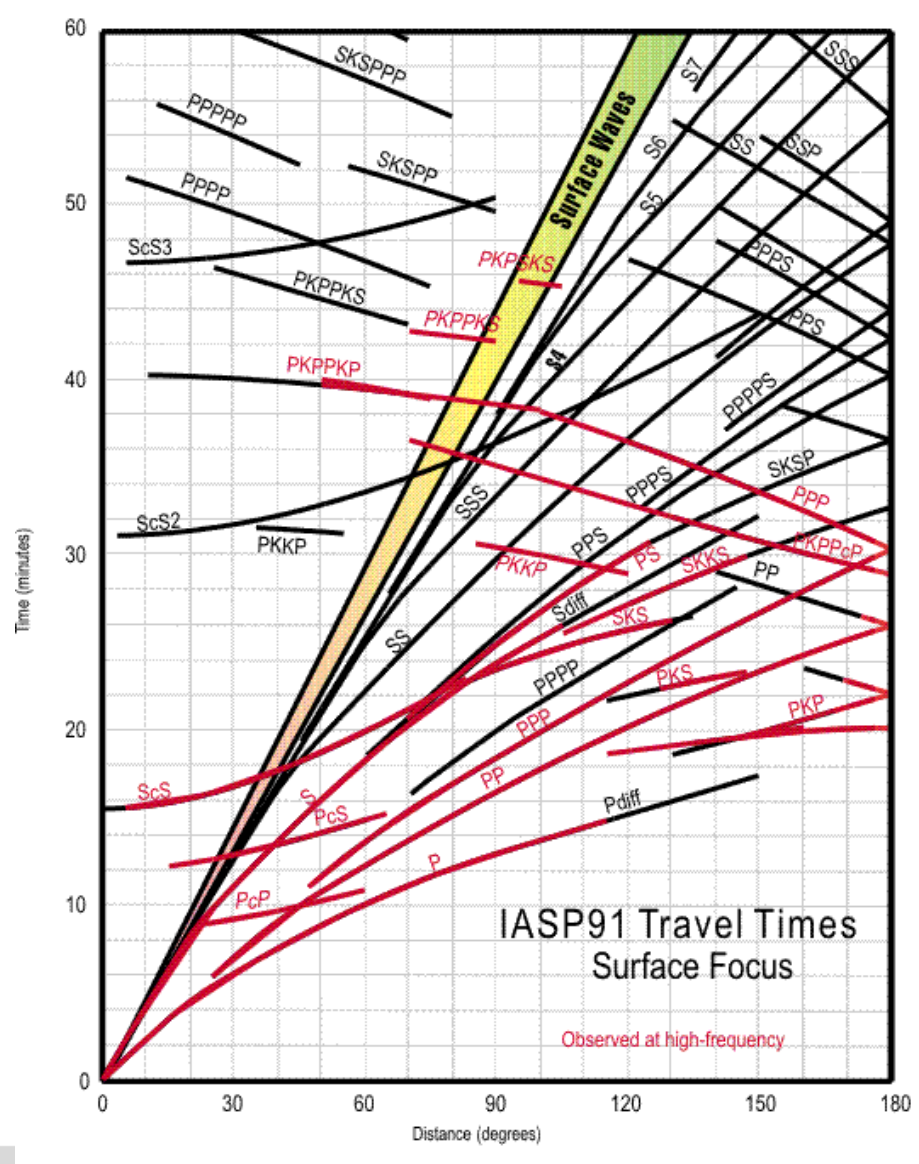




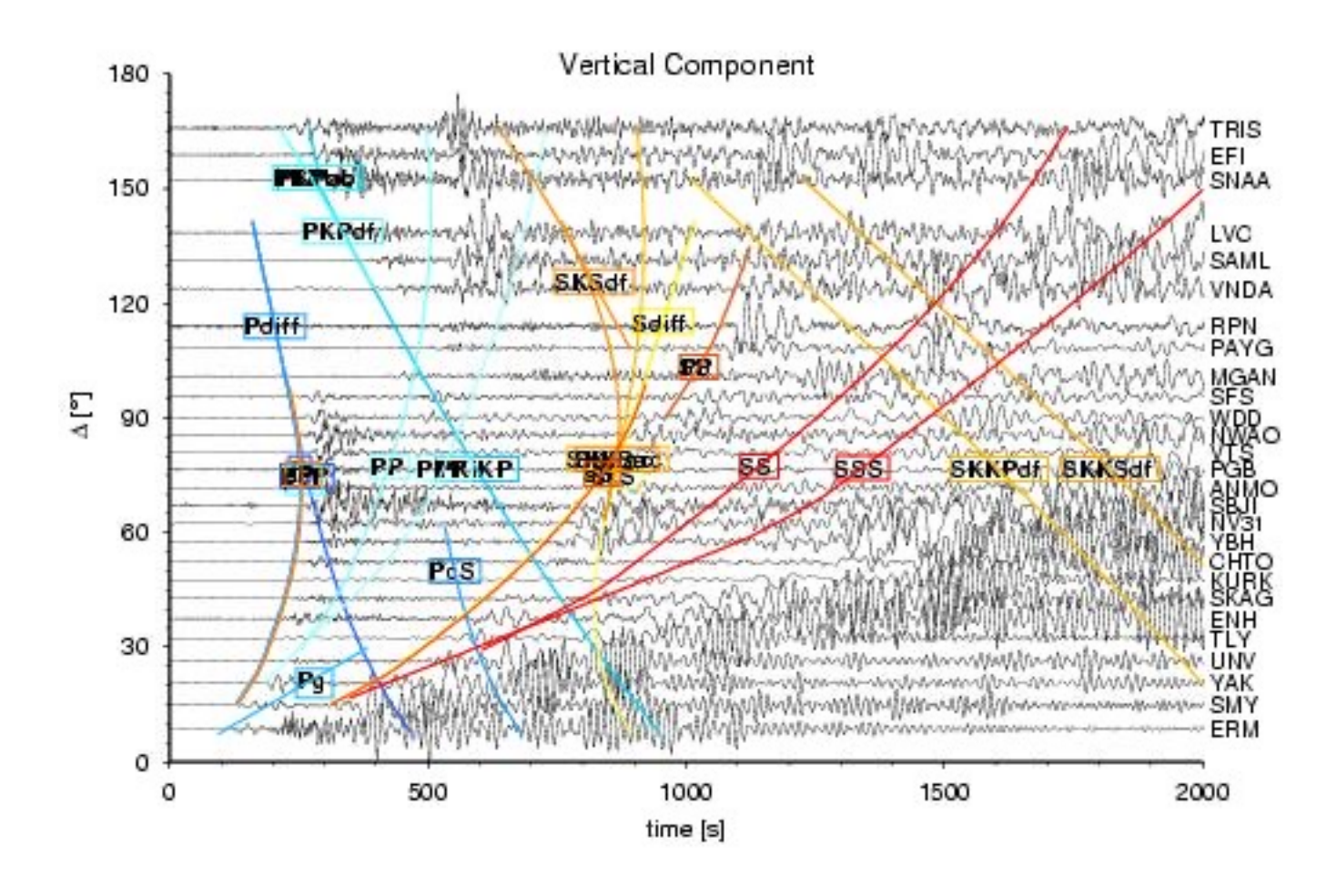






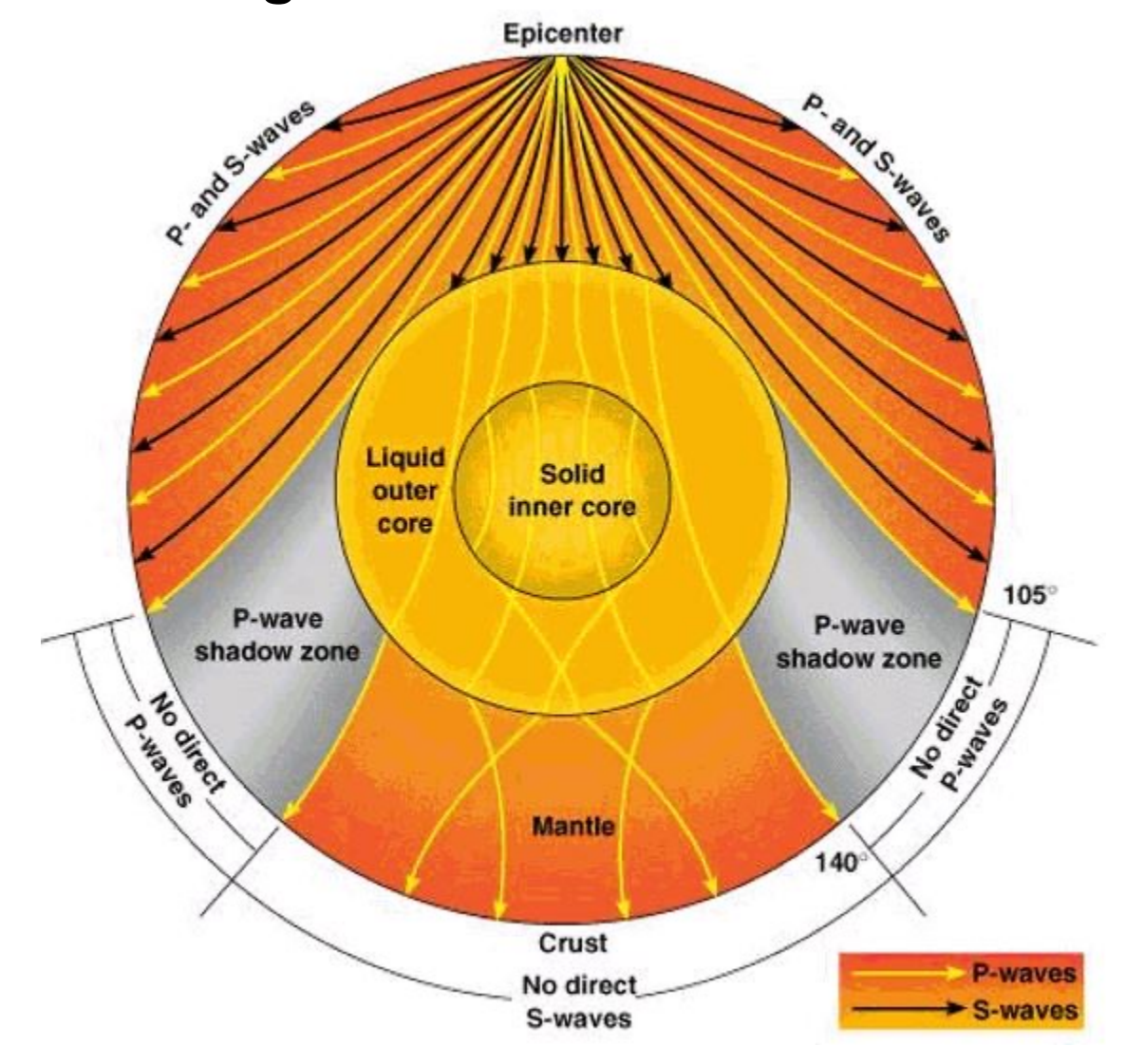




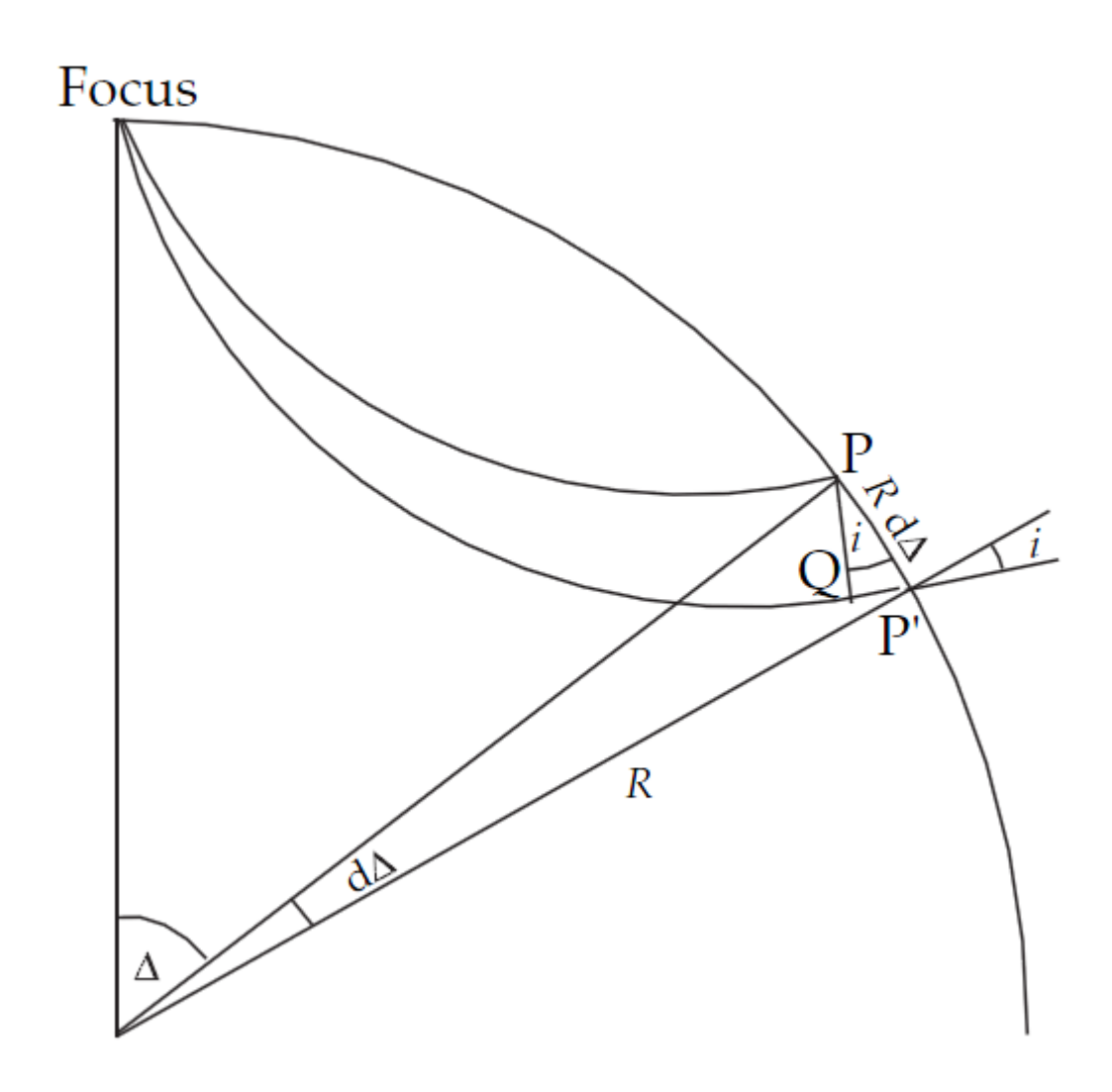


Quelle: Ohrnberger

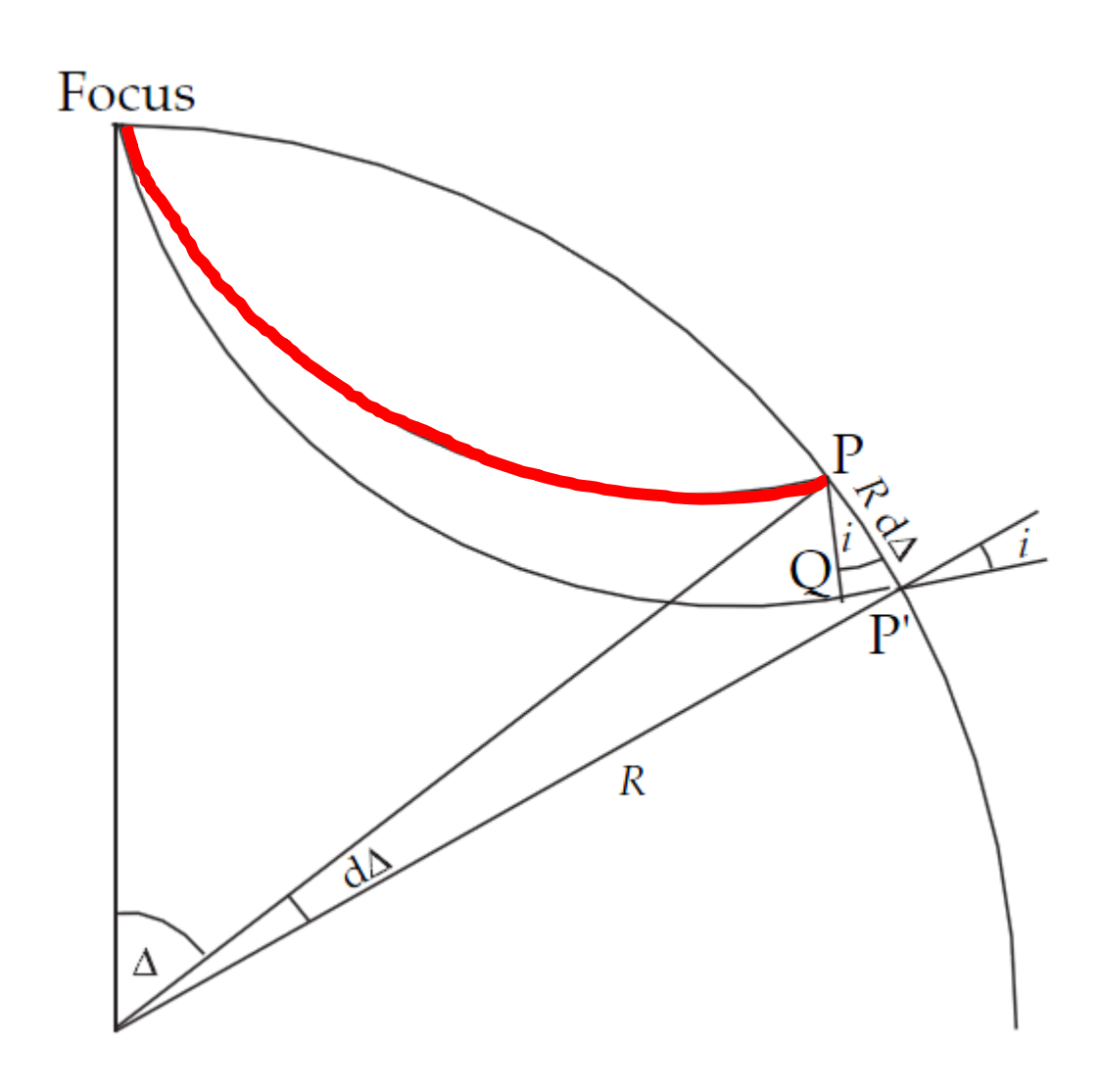




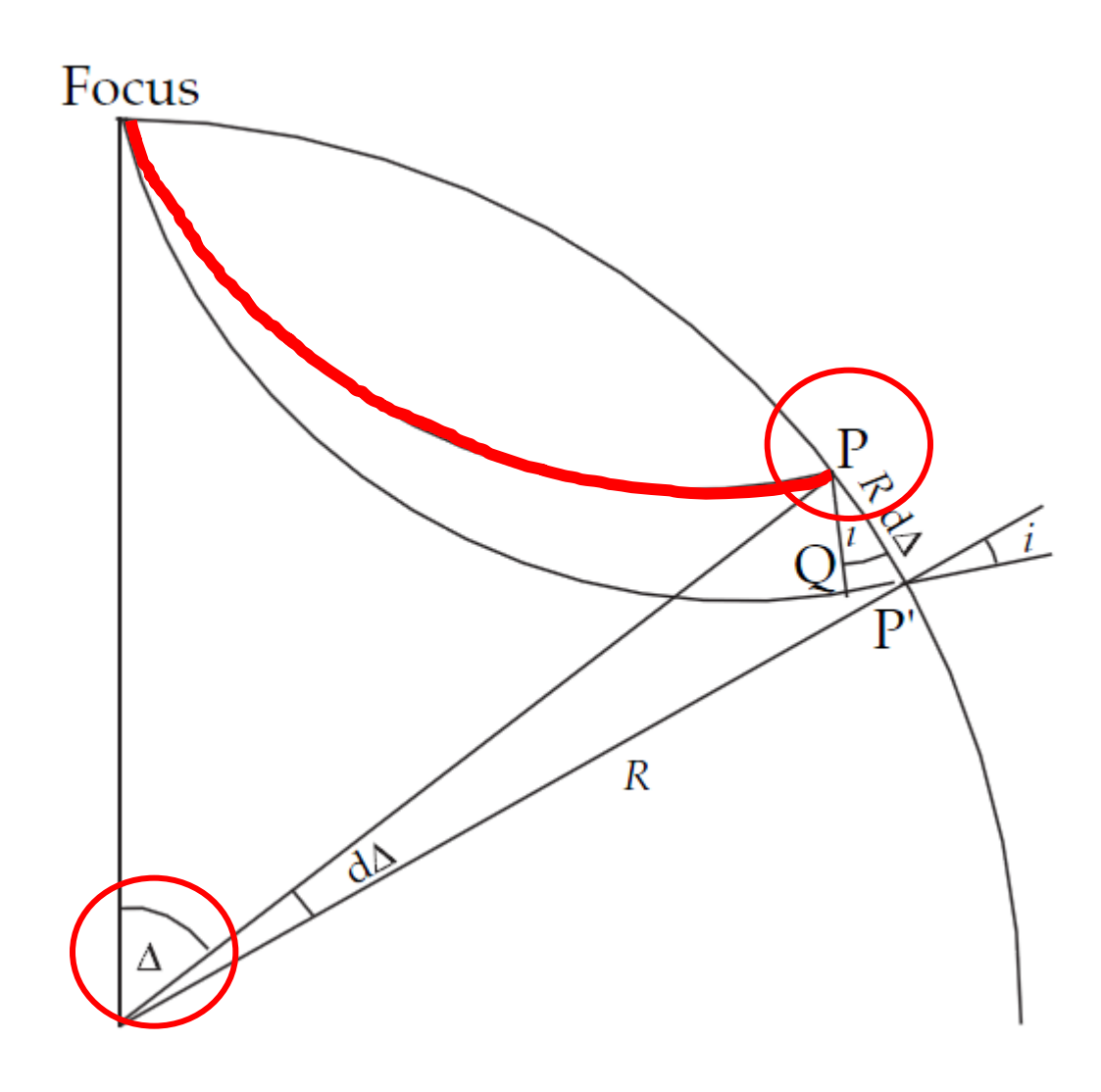




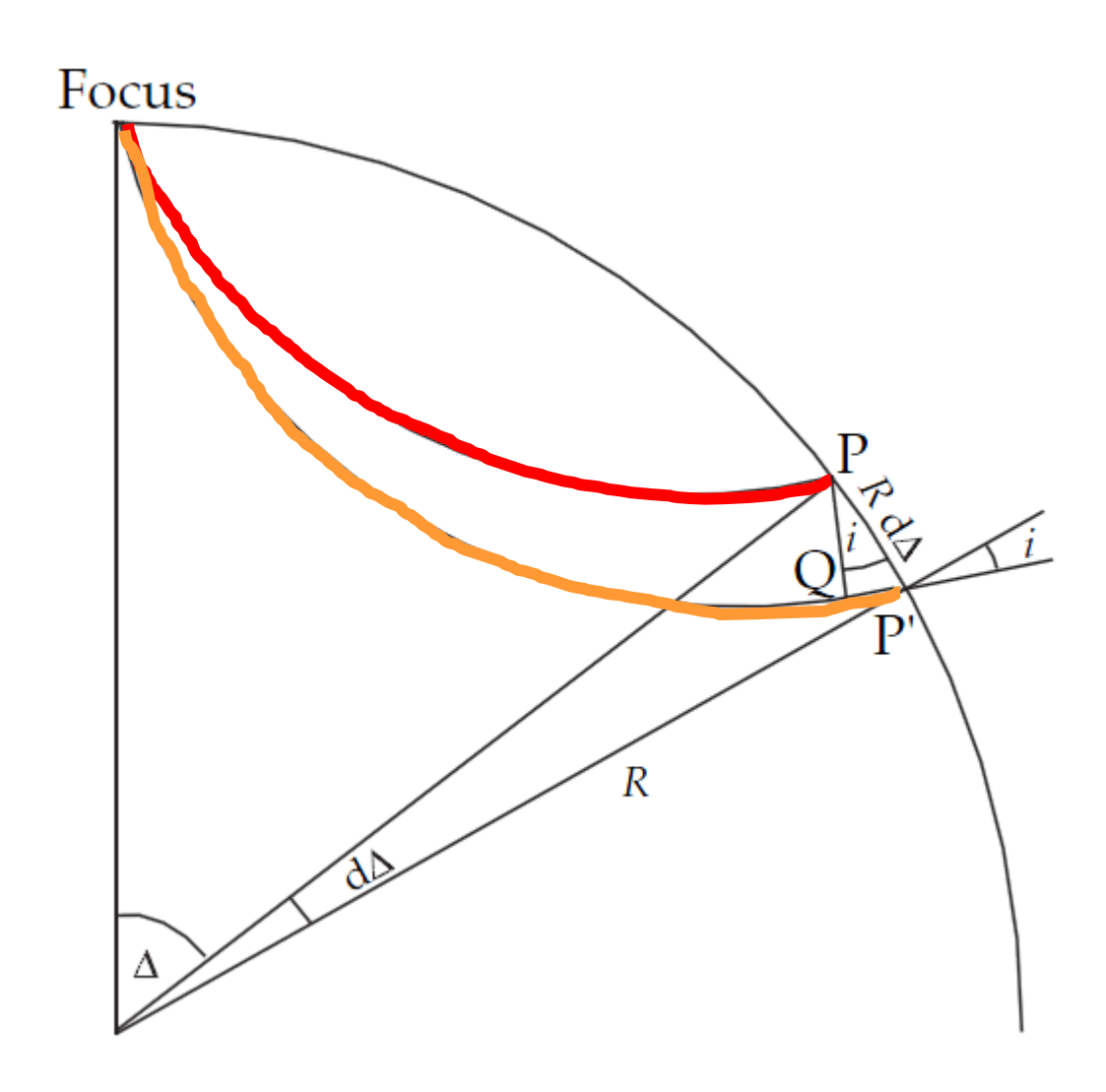




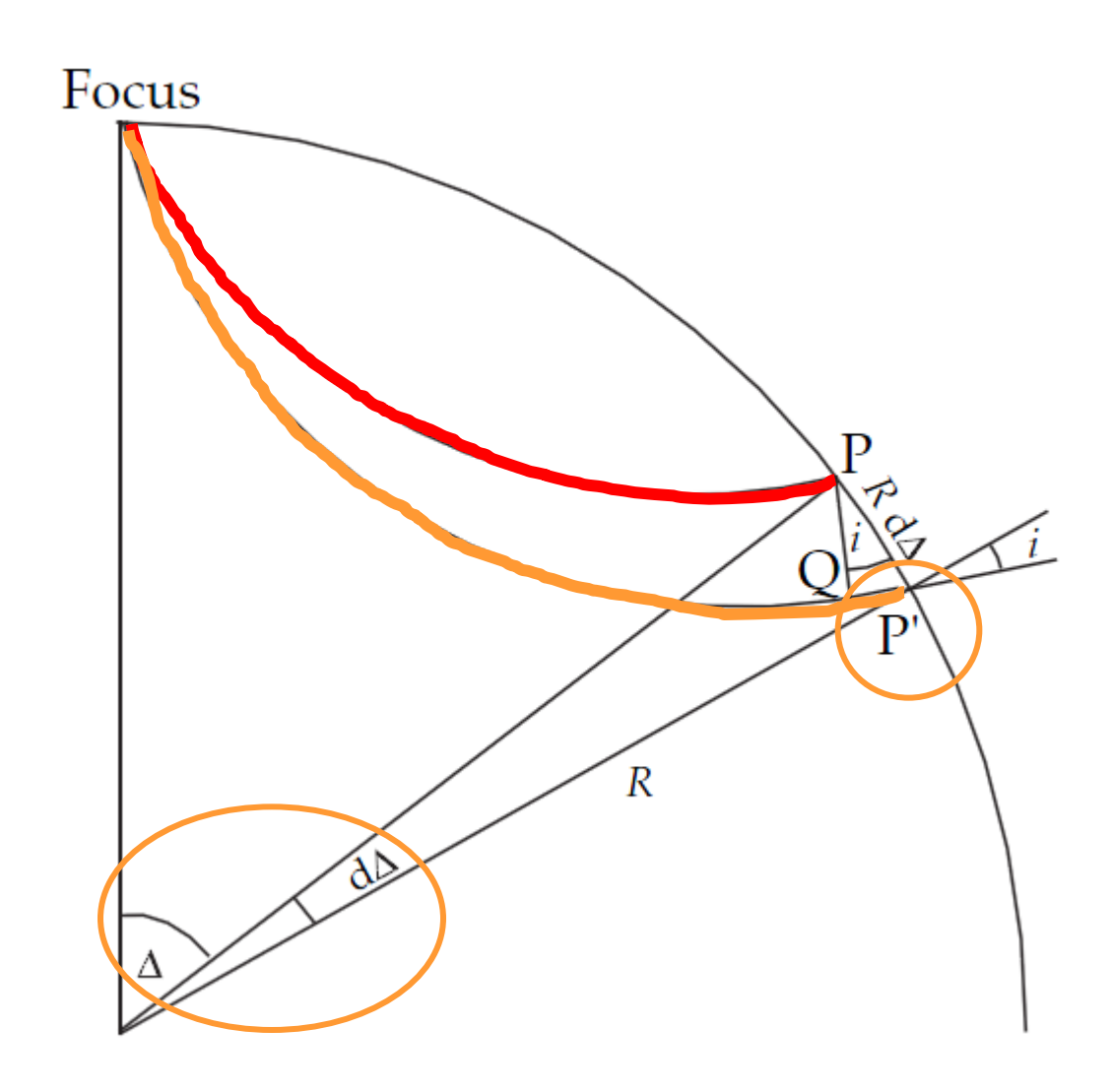




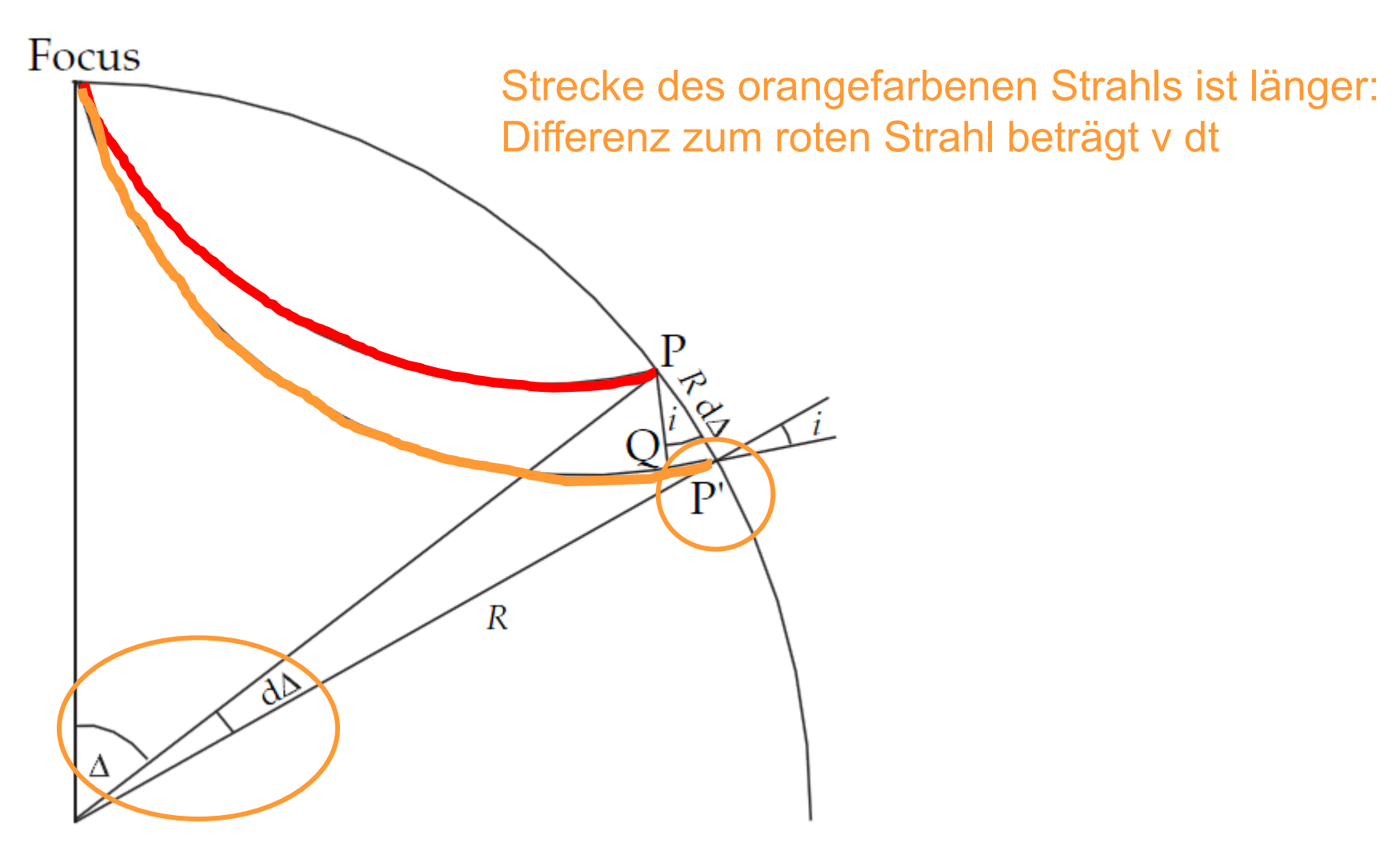




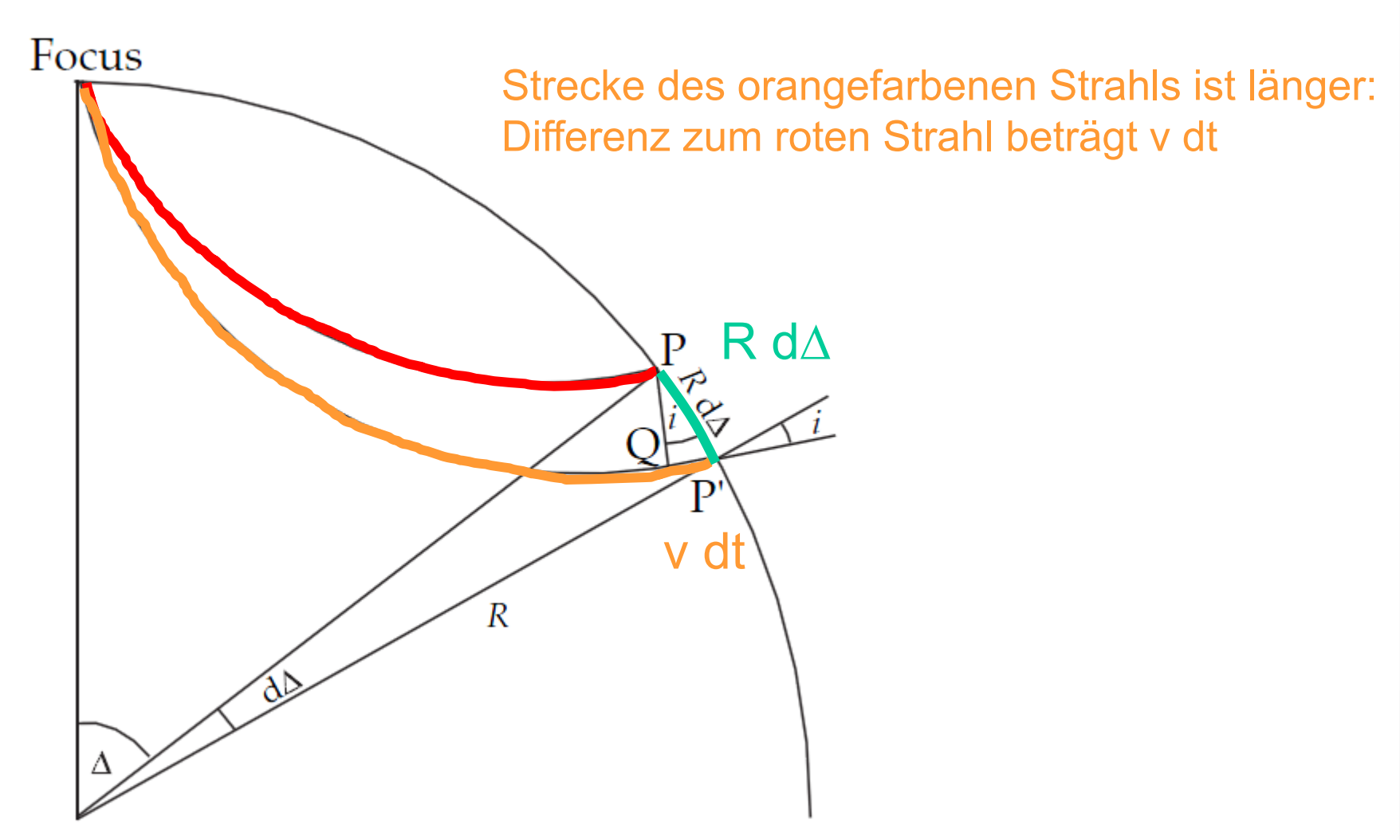




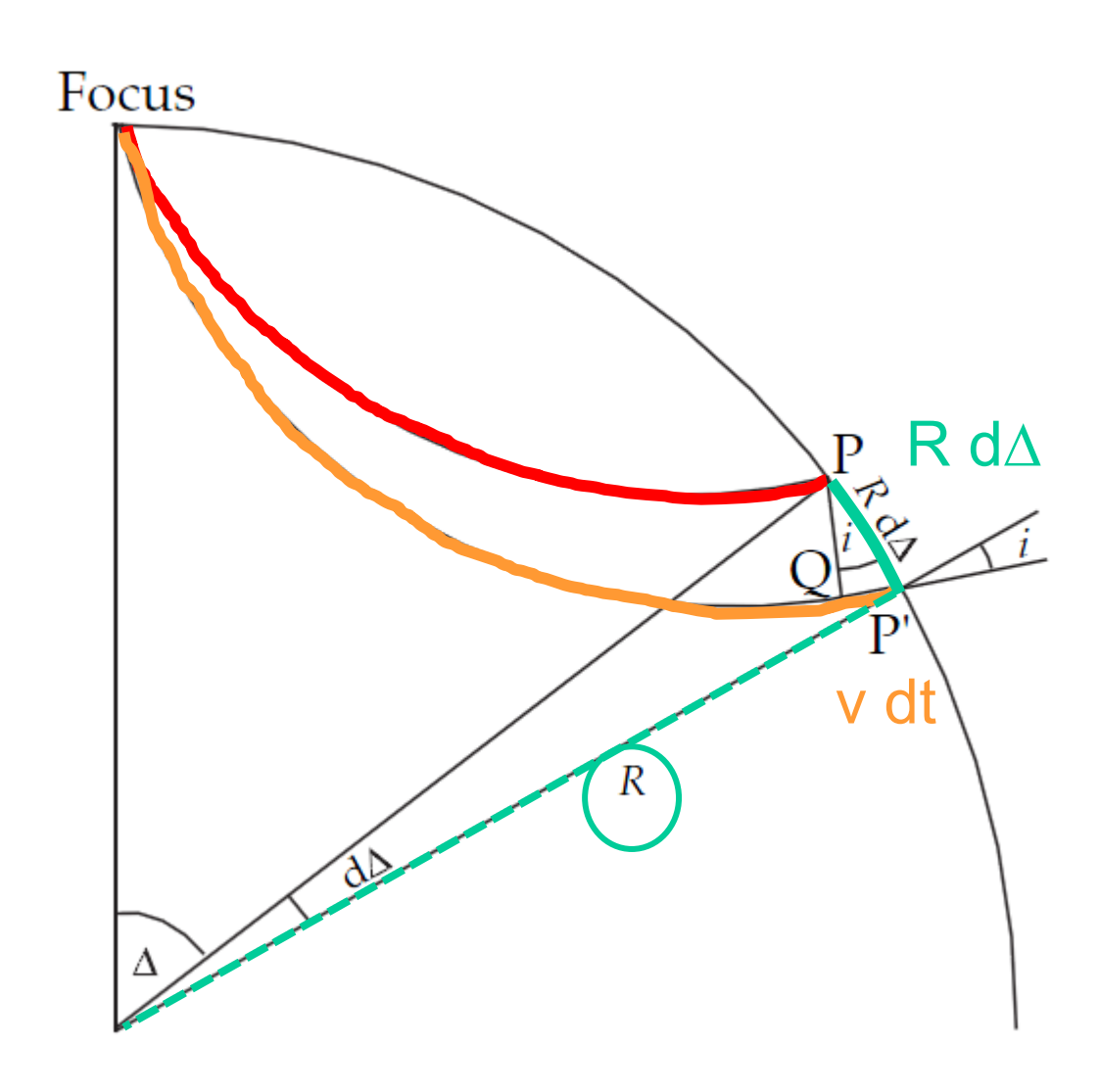




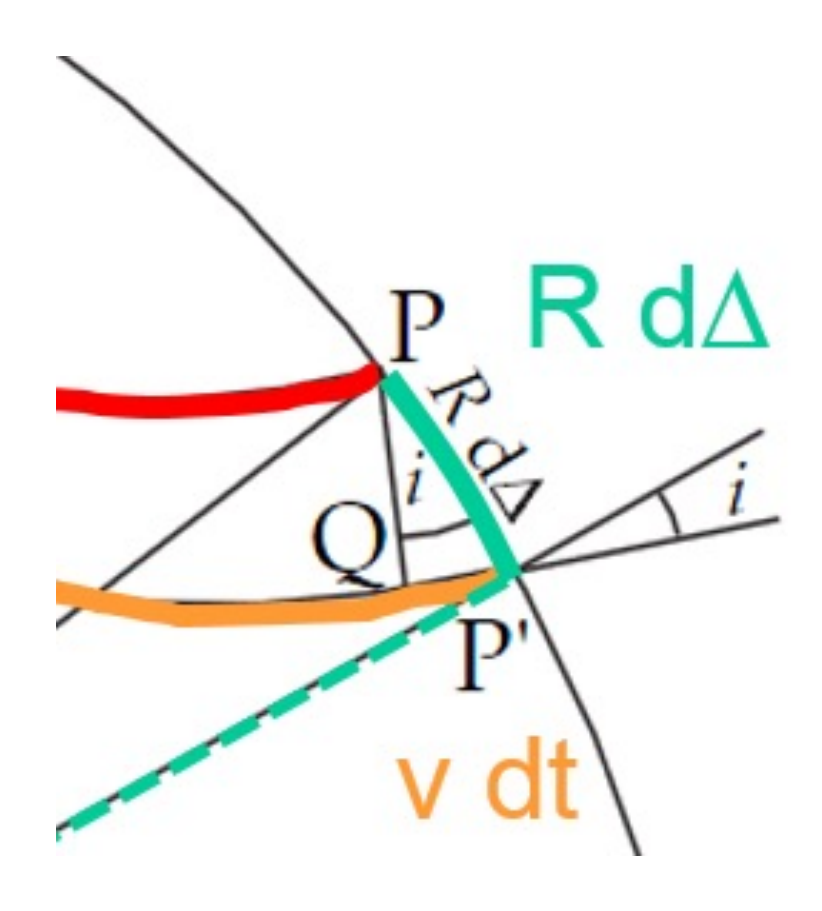






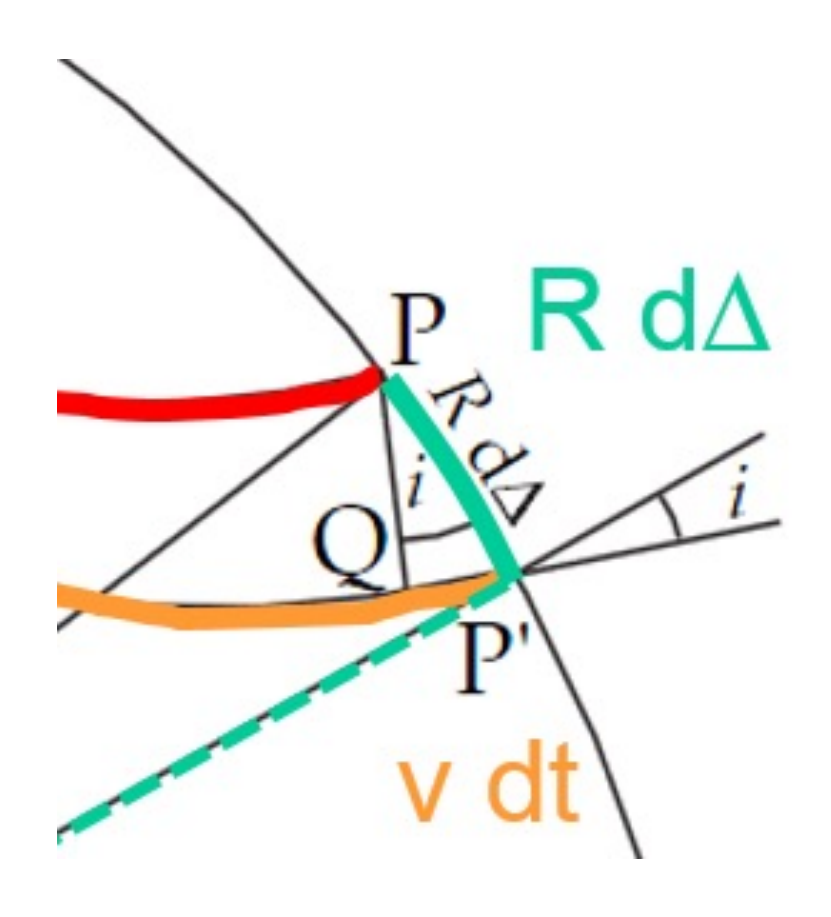






$$\sin i = \frac{V dt}{R d\Delta}$$



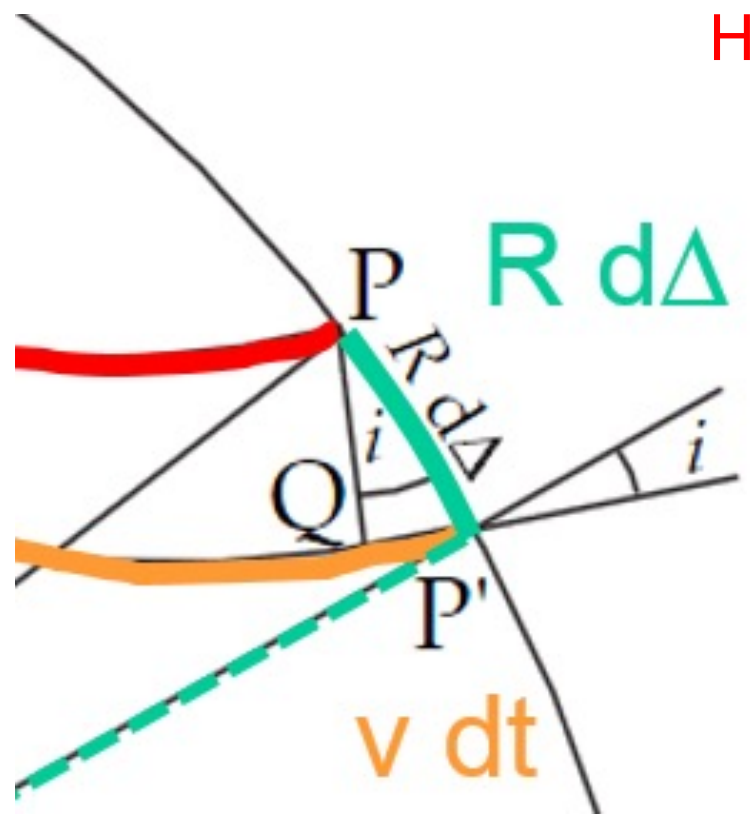


$$\sin i = \frac{V dt}{R d\Delta}$$

$$\frac{R\sin i}{V} = p = \frac{\mathrm{d}t}{\mathrm{d}\Delta}$$

Strahlparameter p kann also aus Laufzeitdifferenz dt und Winkeldifferenz d∆ bestimmt werden





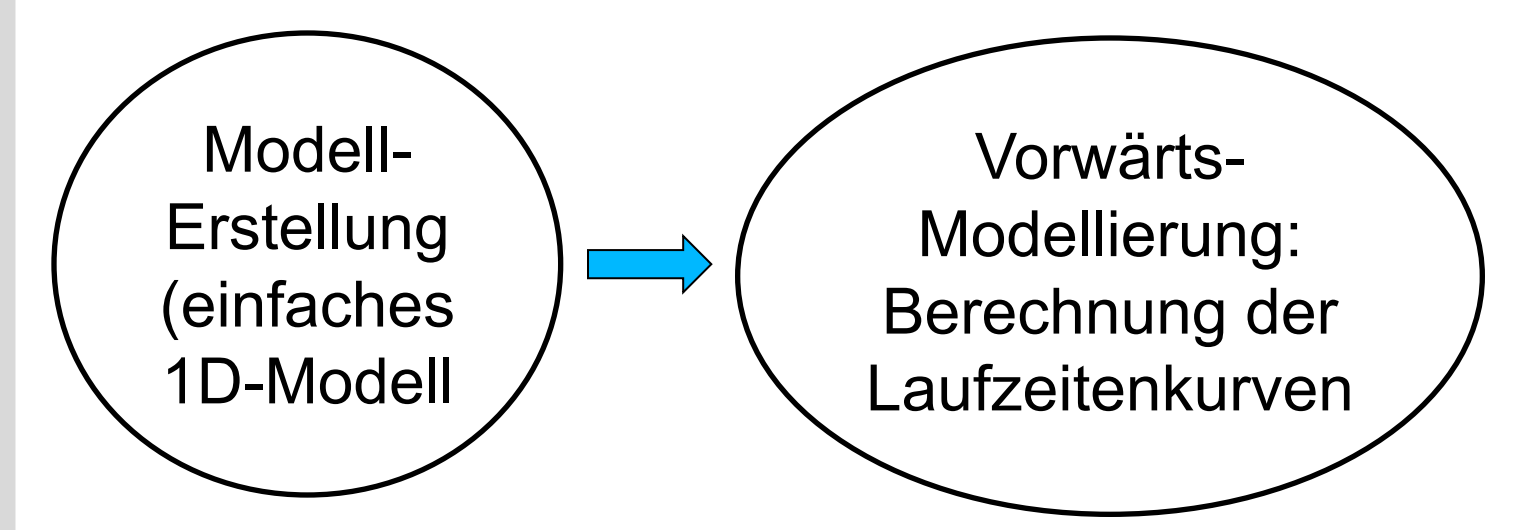
Herglotz-Wiechert-Verfahren

$$\sin i = rac{V \mathrm{d}t}{R \mathrm{d}\Delta}$$
Steigung der

$$\frac{R\sin i}{V} = p = \left(\frac{\mathrm{d}t}{\mathrm{d}\Delta}\right)$$

Strahlparameter p kann also aus Laufzeitdifferenz dt und Winkeldifferenz d∆ bestimmt werden

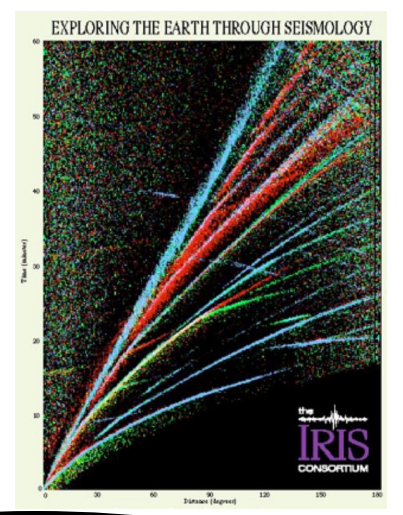






Modell-Erstellung (einfaches 1D-Modell

VorwärtsModellierung:
Berechnung der
Laufzeitenkurven





Modell-Erstellung (einfaches 1D-Modell

VorwärtsModellierung:
Berechnung der
Laufzeitenkurven

Vergleich:
Berechnung der
Differenz/ des Fehlers



Modell-Erstellung (einfaches 1D-Modell

VorwärtsModellierung:
Berechnung der
Laufzeitenkurven

Anpassung des Modells

Vergleich:
Berechnung der
Differenz/ des Fehlers



Modell-Erstellung (einfaches 1D-Modell

VorwärtsModellierung:
Berechnung der
Laufzeitenkurven

Anpassung des Modells

Prof. Andre

Vergleich:
Berechnung der
Differenz/ des Fehlers

VorwärtsModellierung:
Berechnung der
Laufzeitenkurven

Beobachtung von Laufzeitenkurven

die Geophysik II

KIT, Fakunat fur Fnysik, Geophysikalisches Institut



Modell-Erstellung (einfaches 1D-Modell

VorwärtsModellierung:
Berechnung der
Laufzeitenkurven

Anpassung des Modells

Vergleich:
Berechnung der
Differenz/ des Fehlers

VorwärtsModellierung:
Berechnung der
Laufzeitenkurven



Modell-Erstellung (einfaches 1D-Modell

VorwärtsModellierung:
Berechnung der
Laufzeitenkurven

Anpassung Modells

Prof. Andrea

Abbruchkriterium: Fehler unter vorher definierter Schwelle

Geophysik II

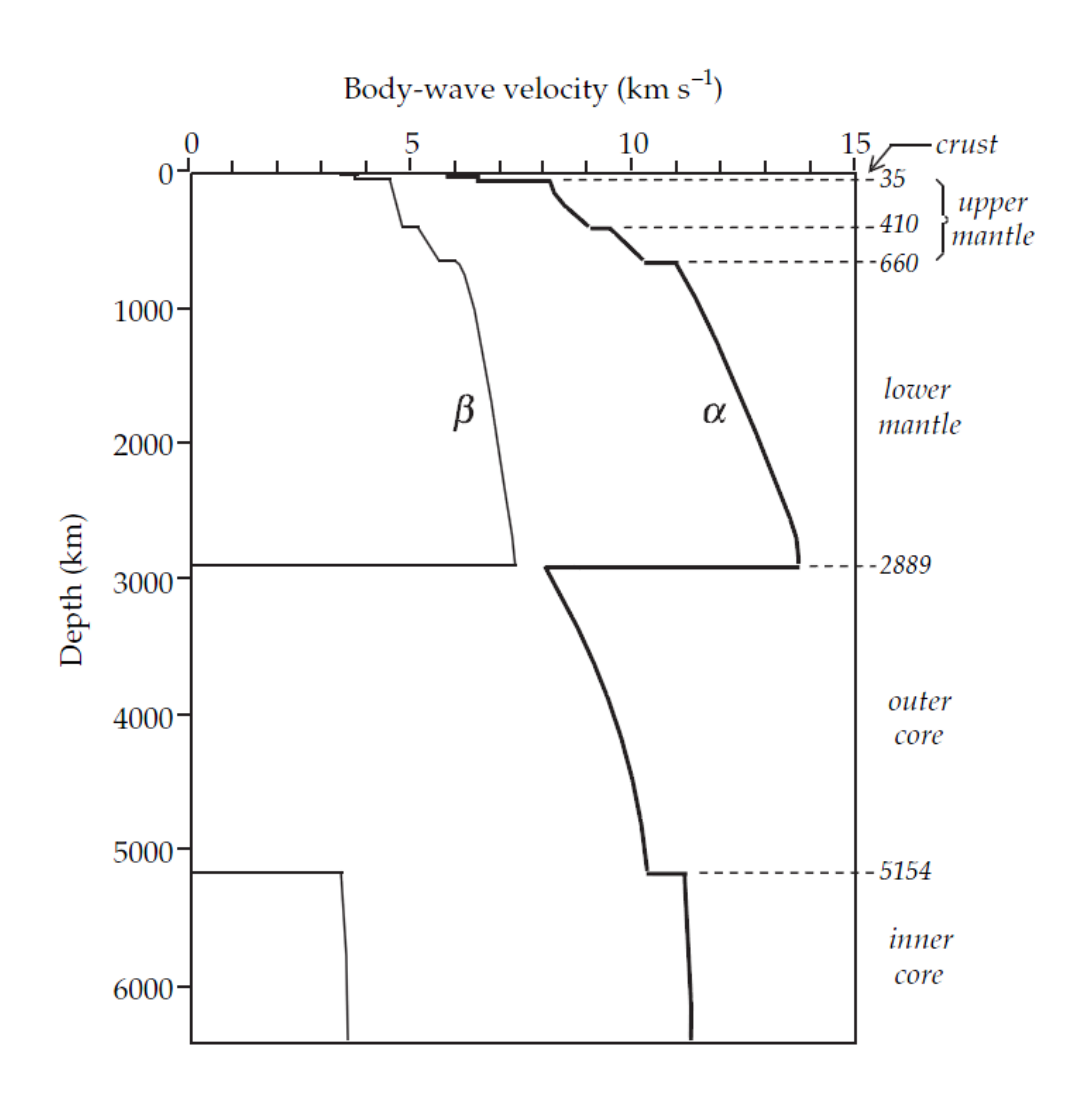
Vergleich: rechnung der enz/ des Fehlers

VorwärtsModellierung:
Berechnung der
Laufzeitenkurven

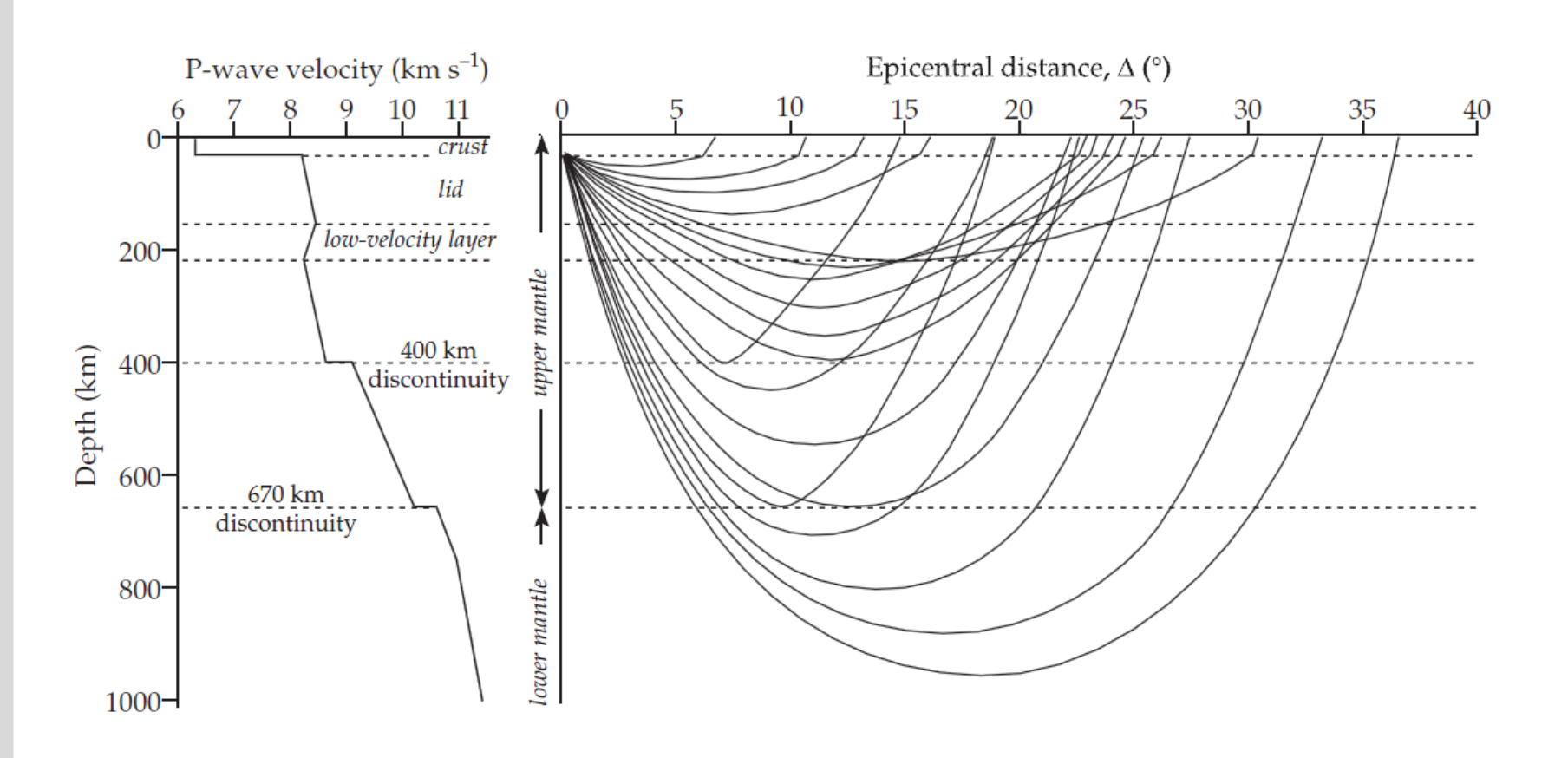
Beobachtung von Laufzeitenkurven

KII, Fakunat iai i nysik, Geophysikalisches Institut

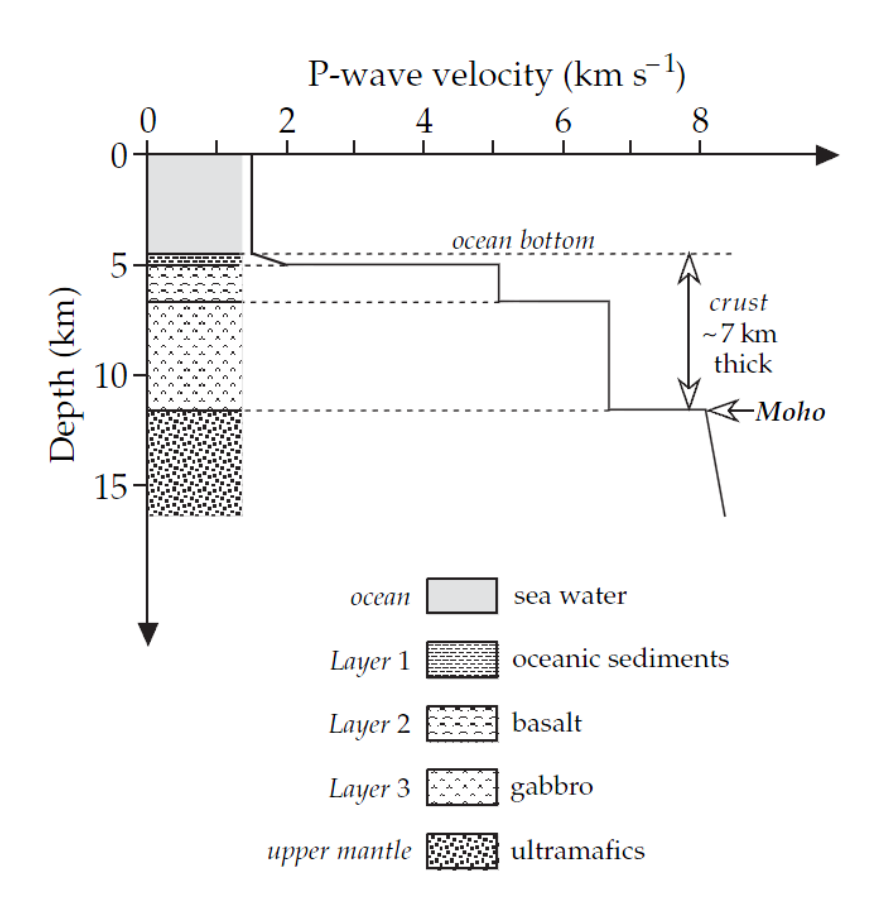




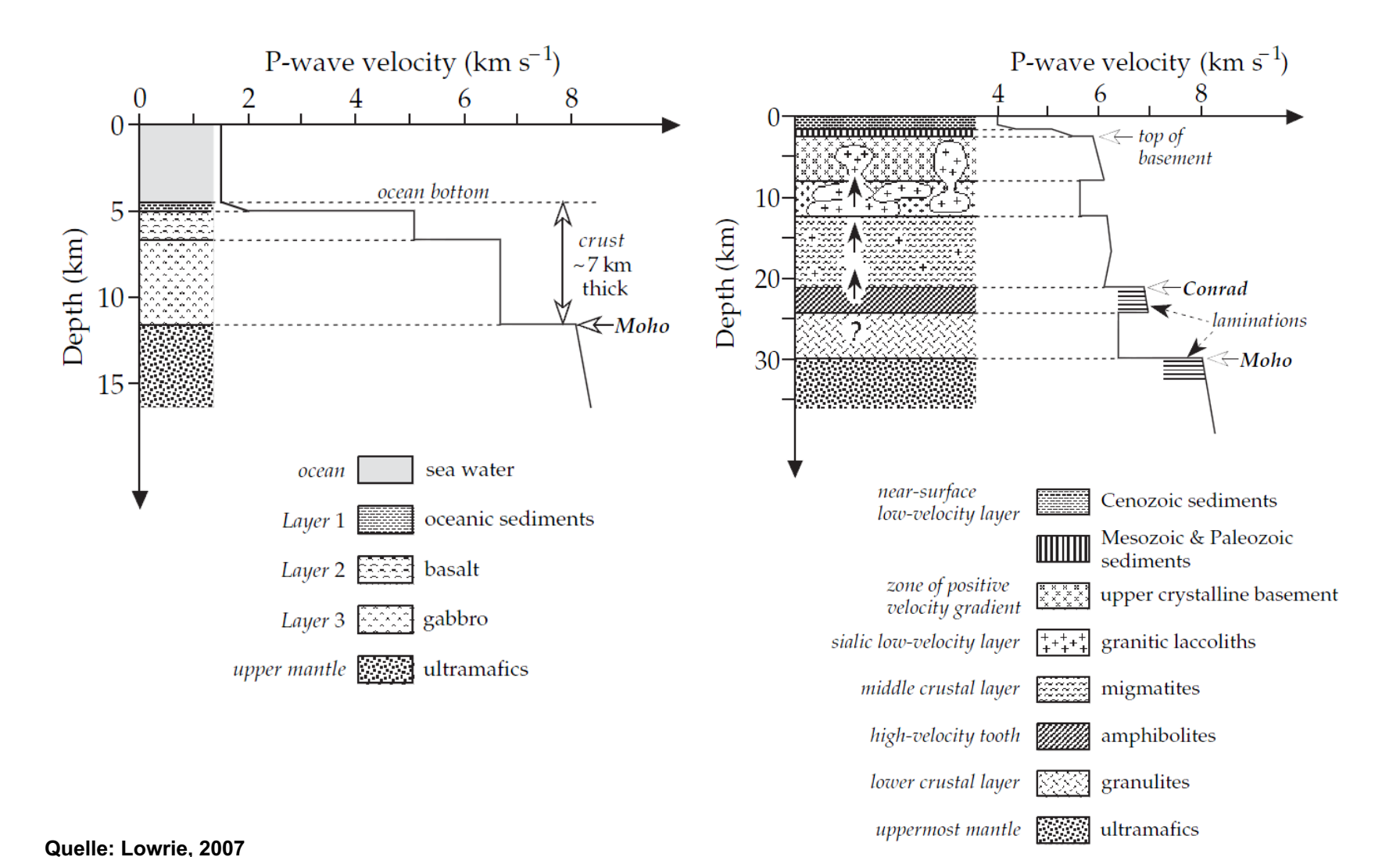




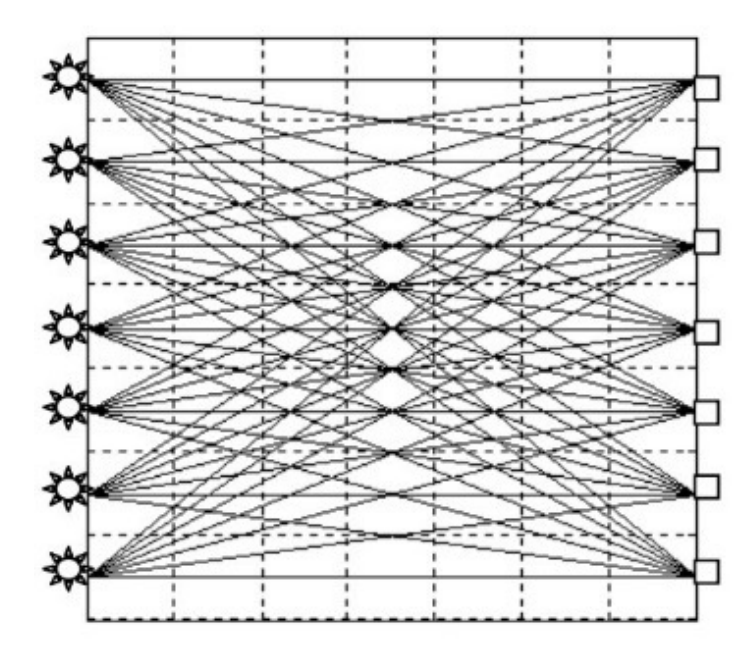




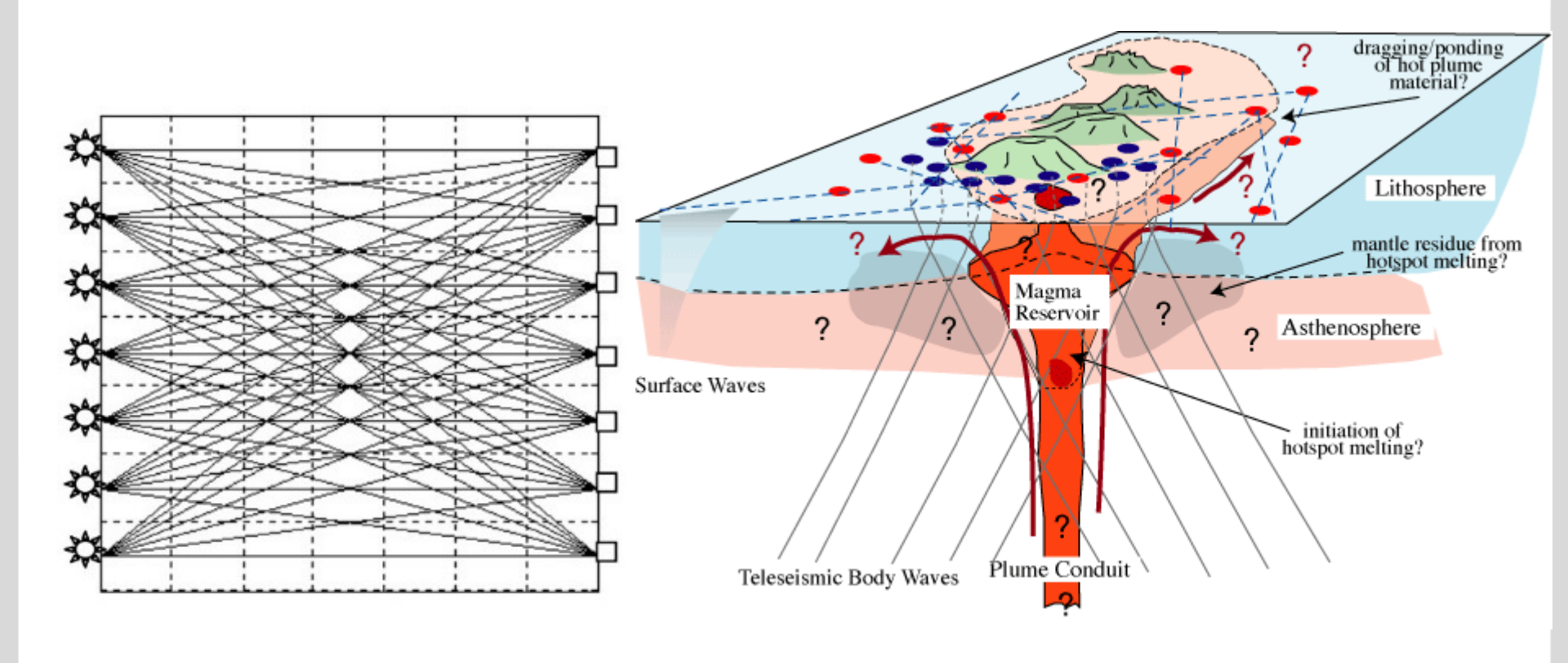




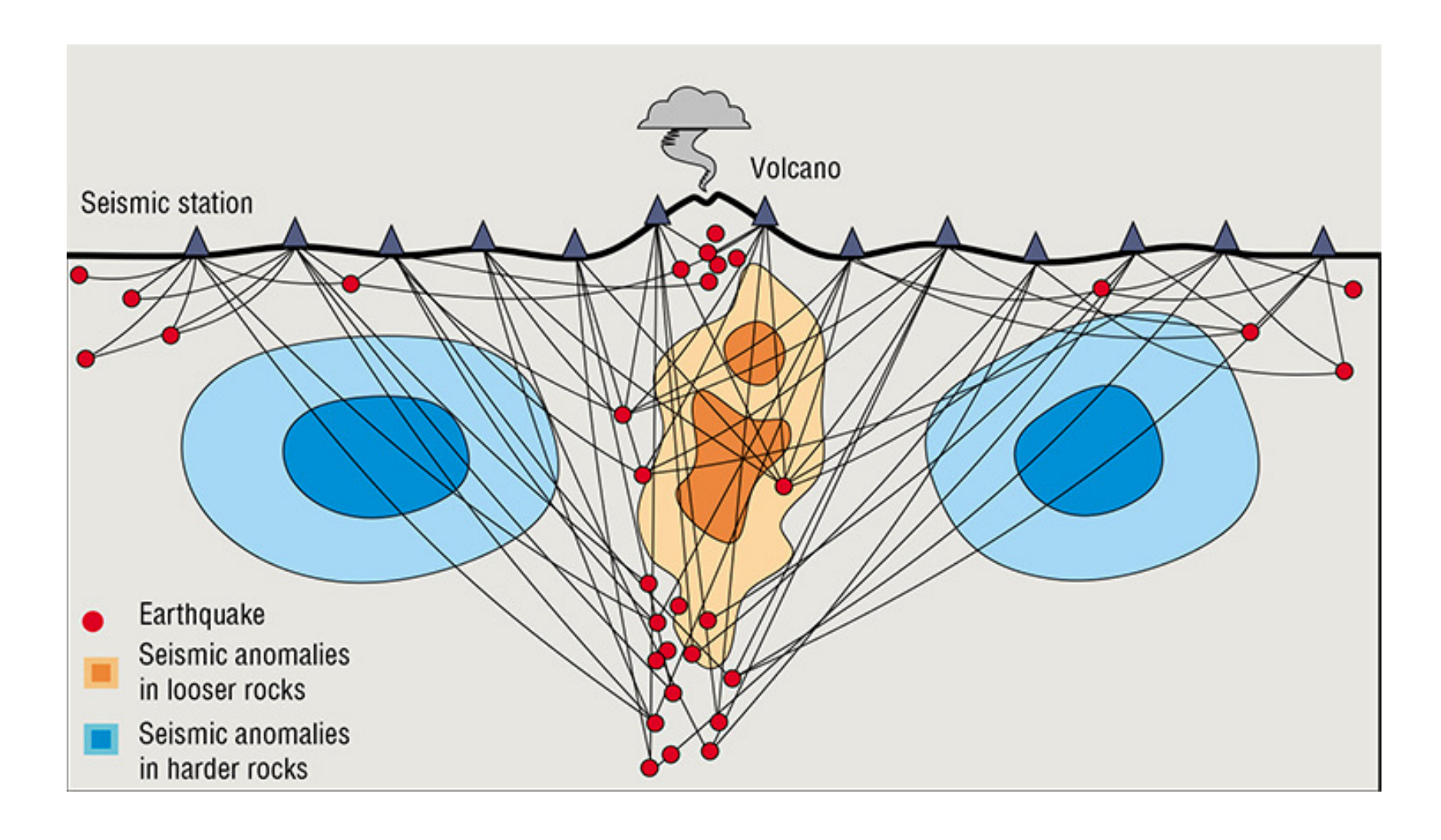






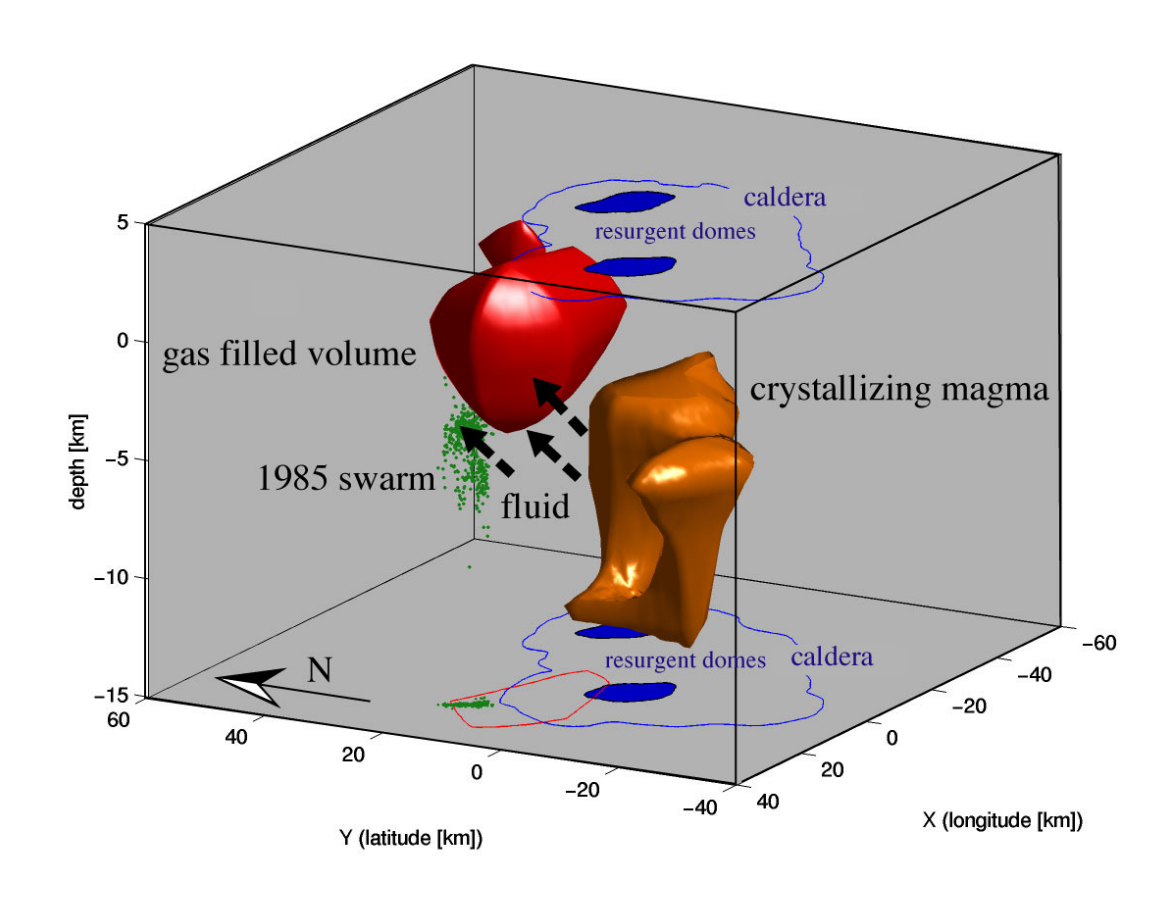




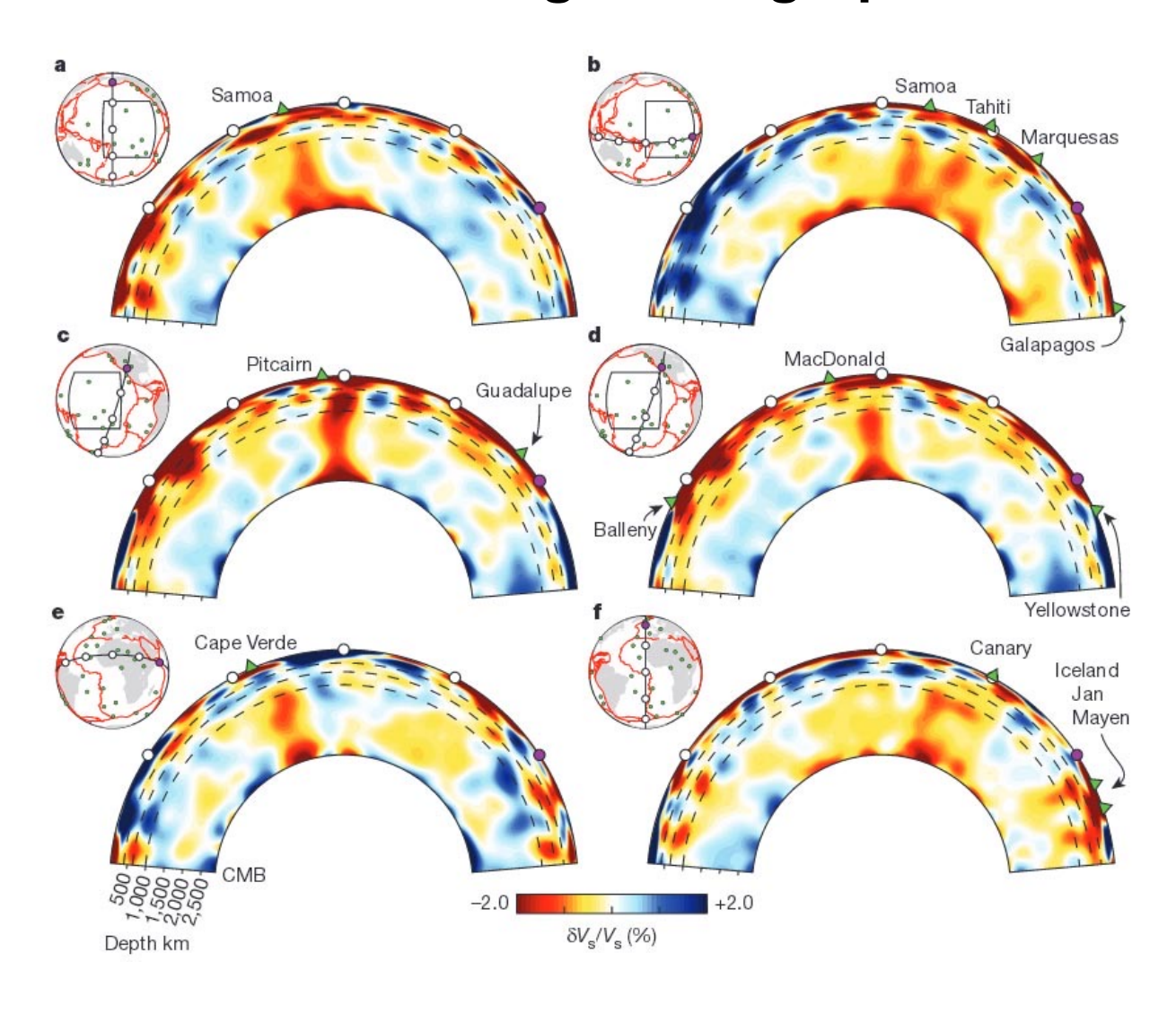




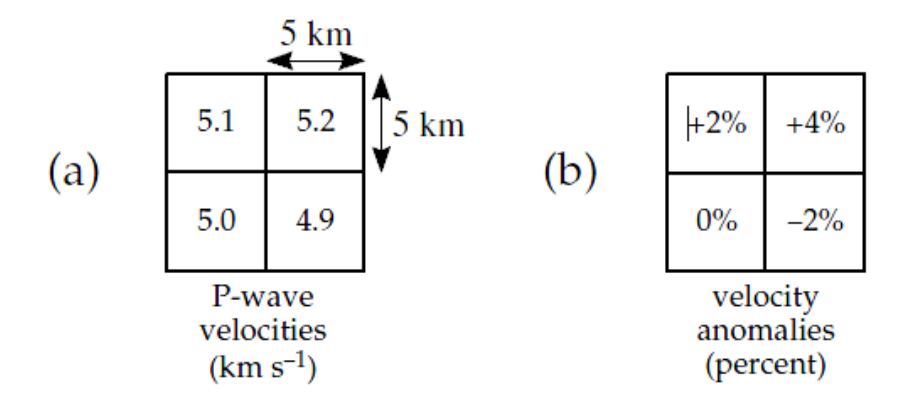
Tomographic Image (P-wave velocities) of Yellowstone's Magmatic System



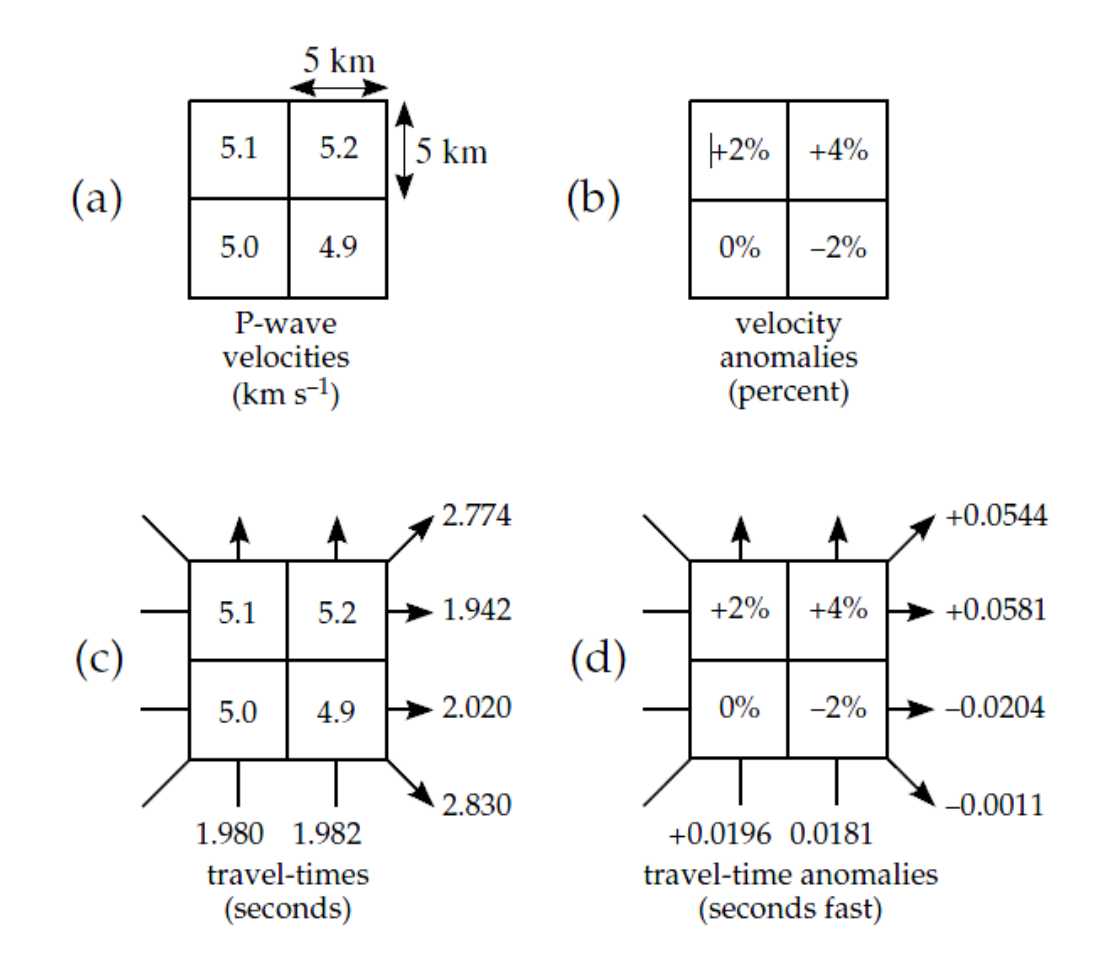




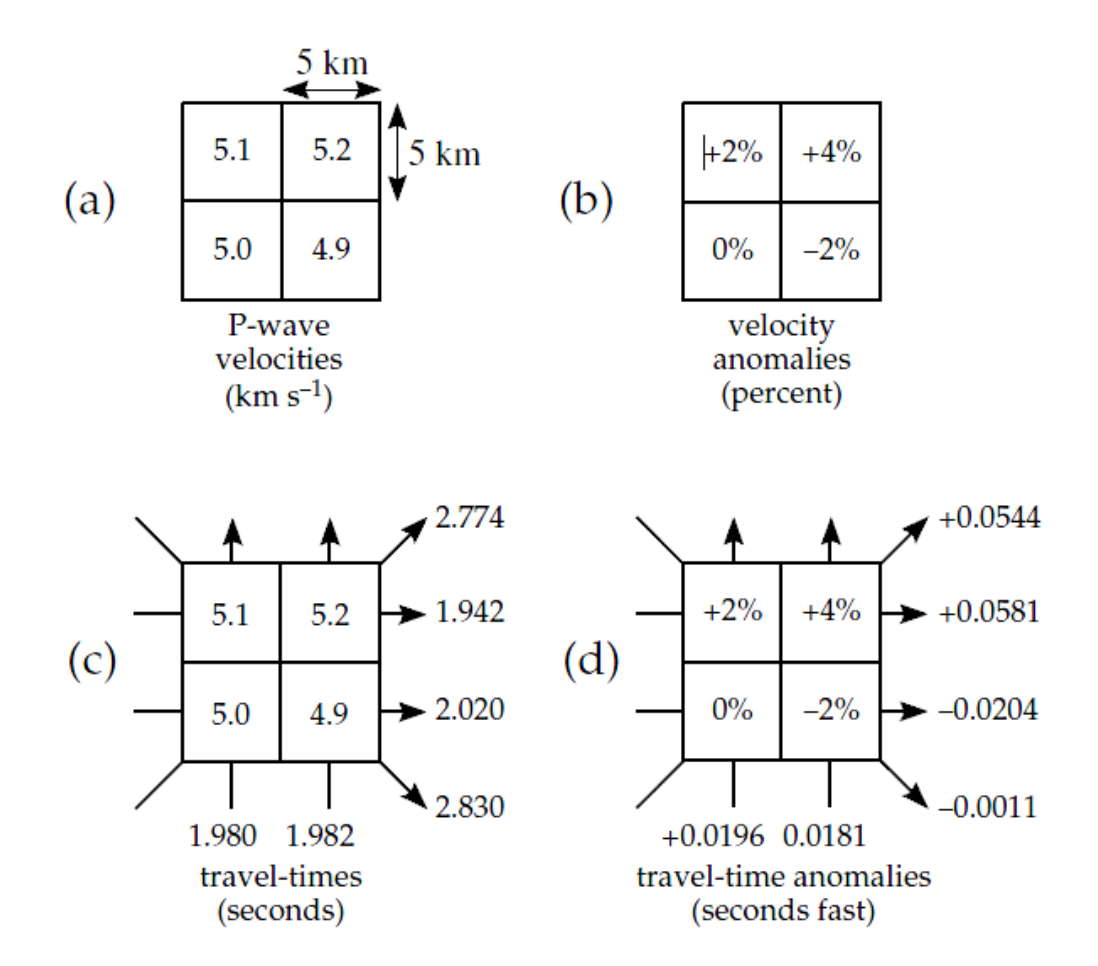


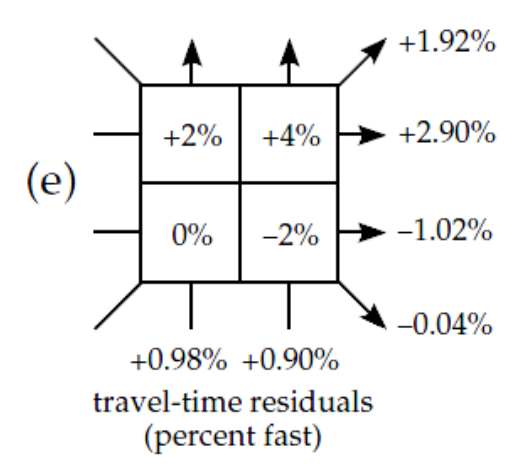




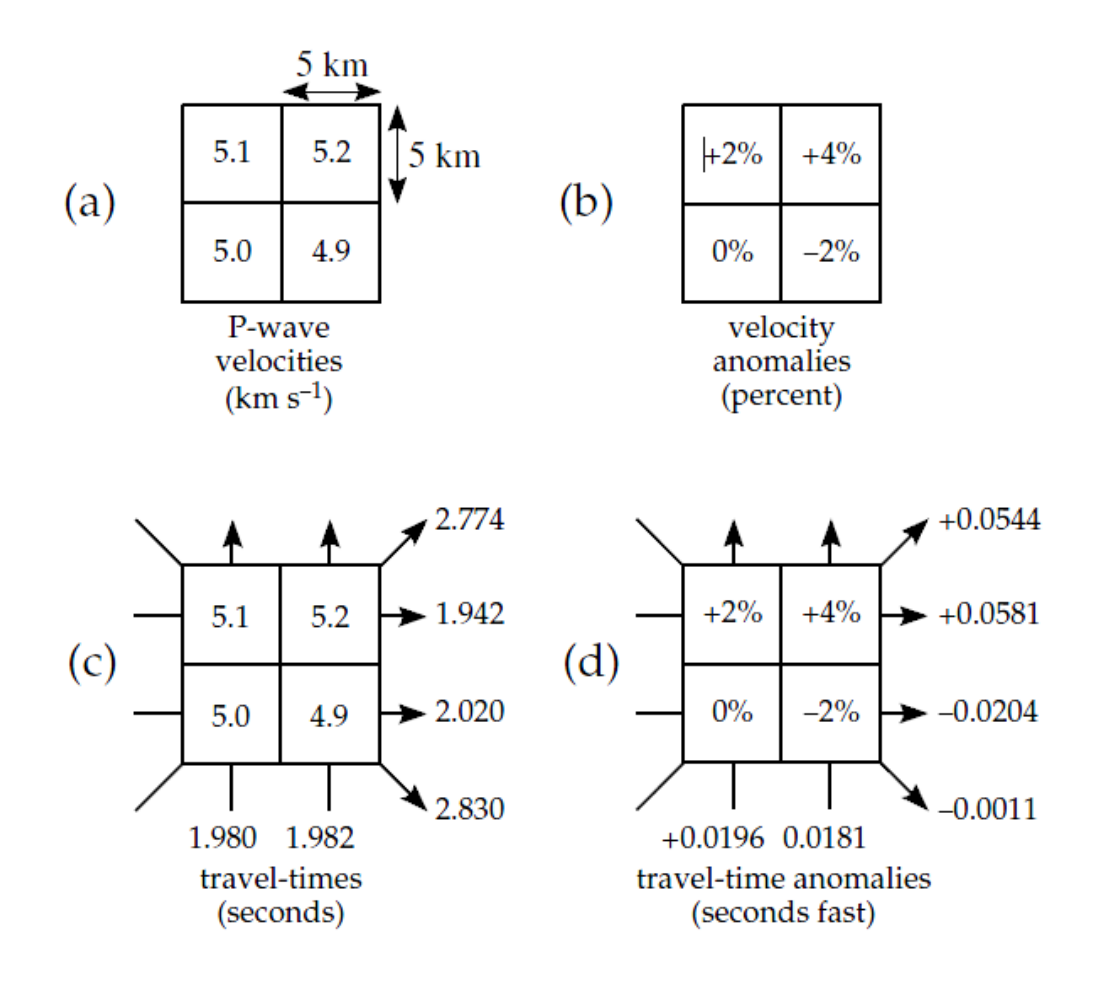


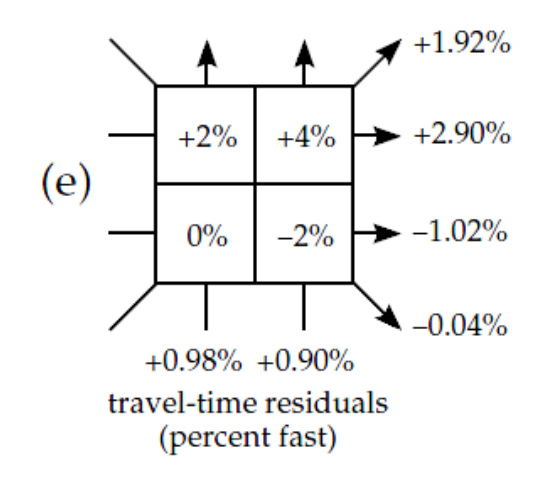


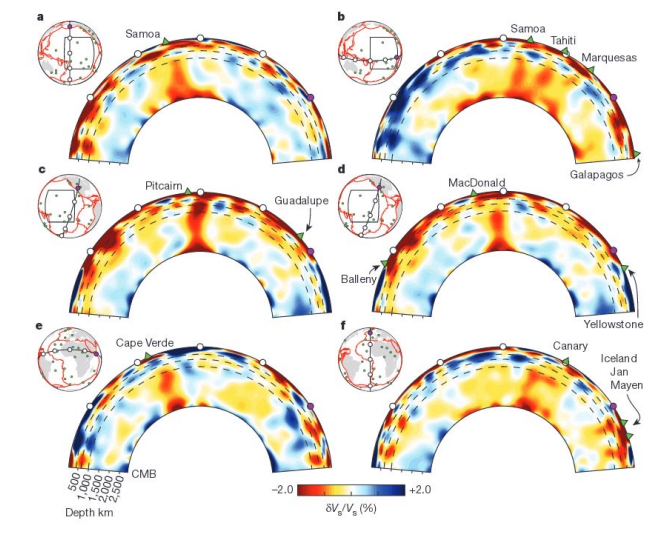








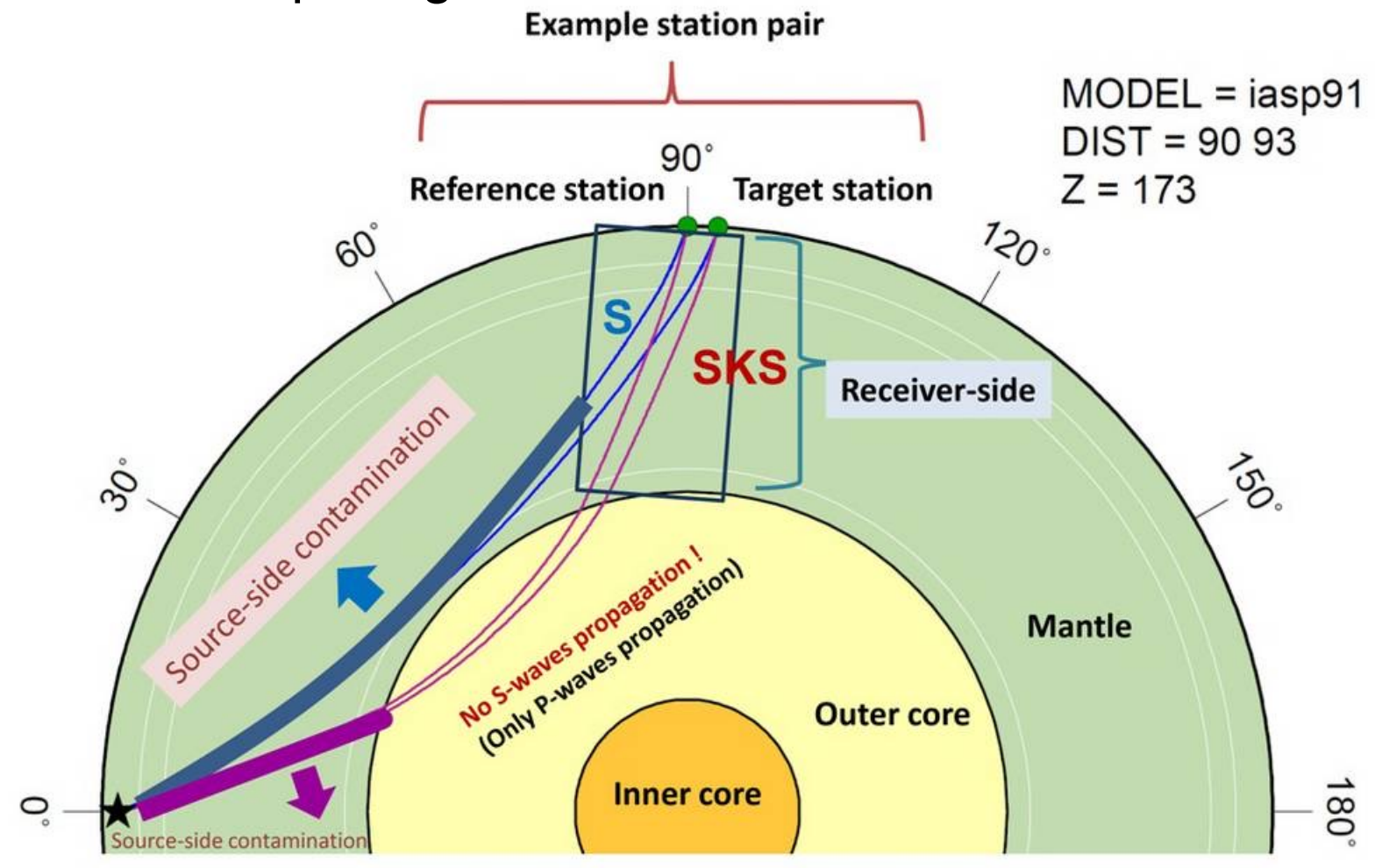




Strukturerkundung: Anisotropie mit SKS-Phasen

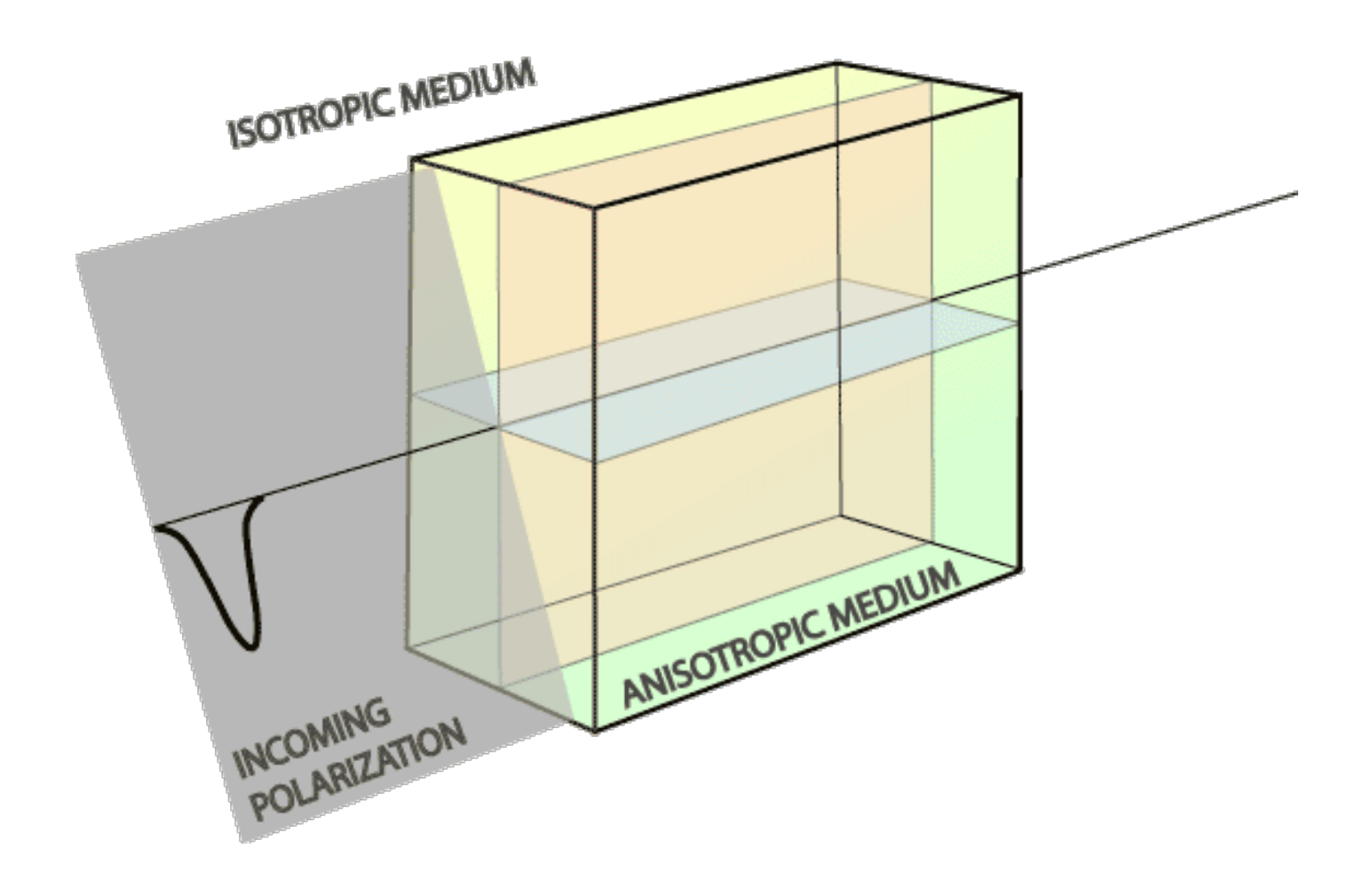


Scherwellensplitting



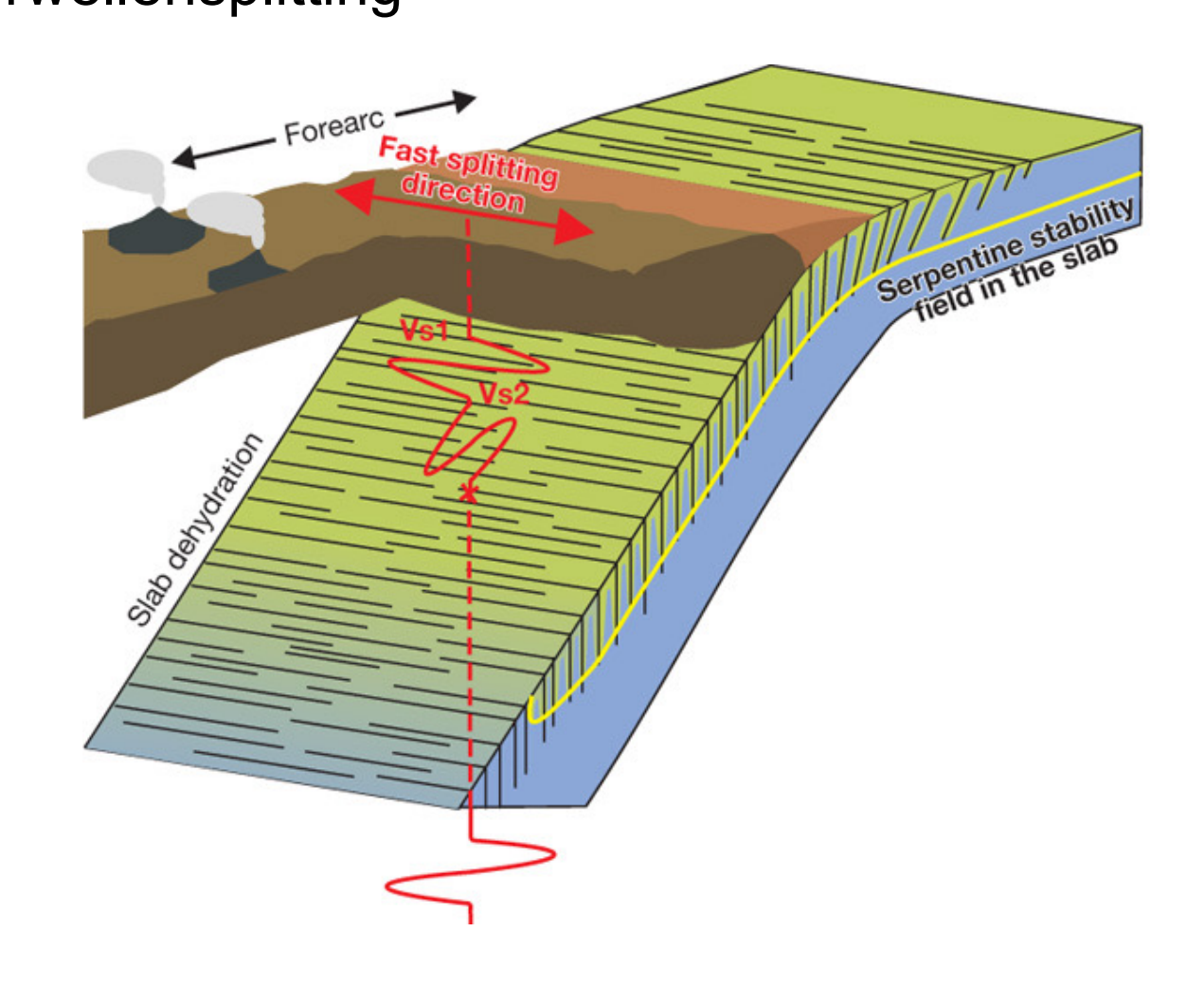
Strukturerkundung: Anisotropie mit SKS-Phasen Scherwellensplitting





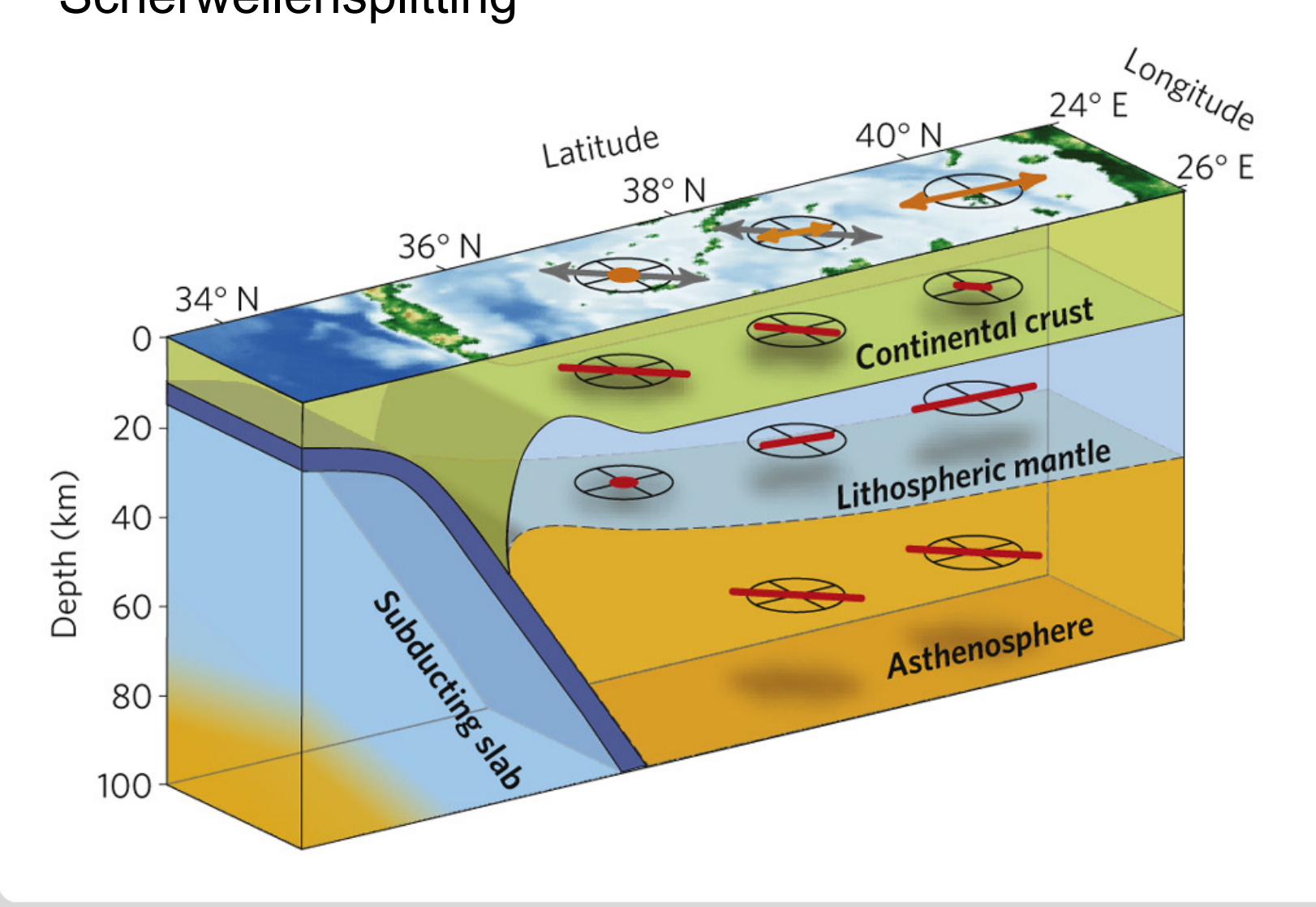
Strukturerkundung: Anisotropie mit SKS-Phasen Scherwellensplitting





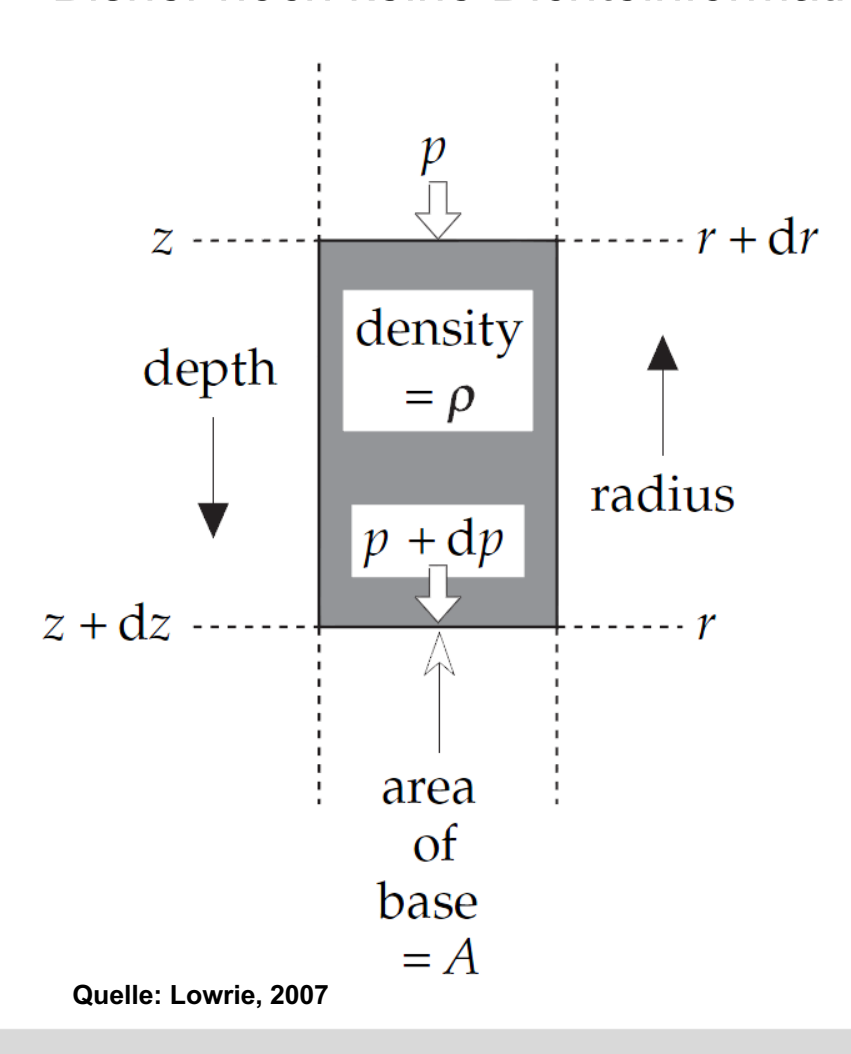
Strukturerkundung: Anisotropie mit SKS-Phasen Scherwellensplitting







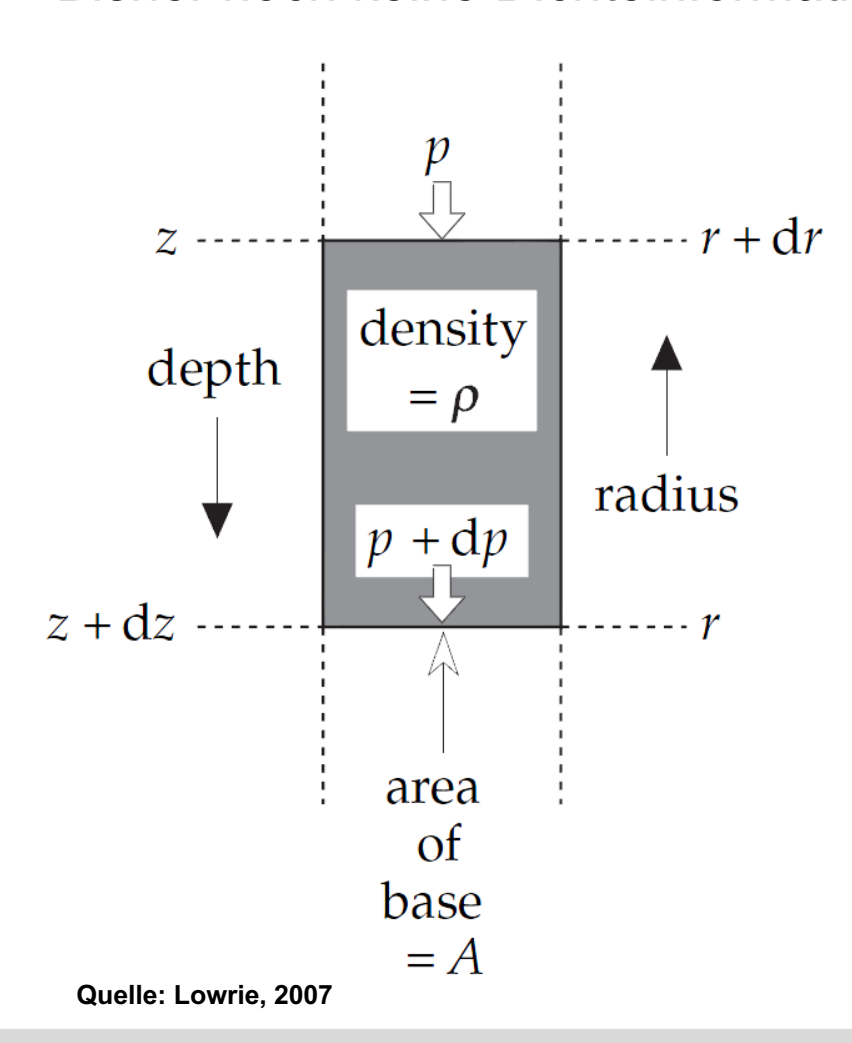
Bisher noch keine Dichteinformationen innerhalb der Erde



p: hydrostatischer Druck an Oberkantep + dp: hydrostatischer Druck an Unterkante



Bisher noch keine Dichteinformationen innerhalb der Erde



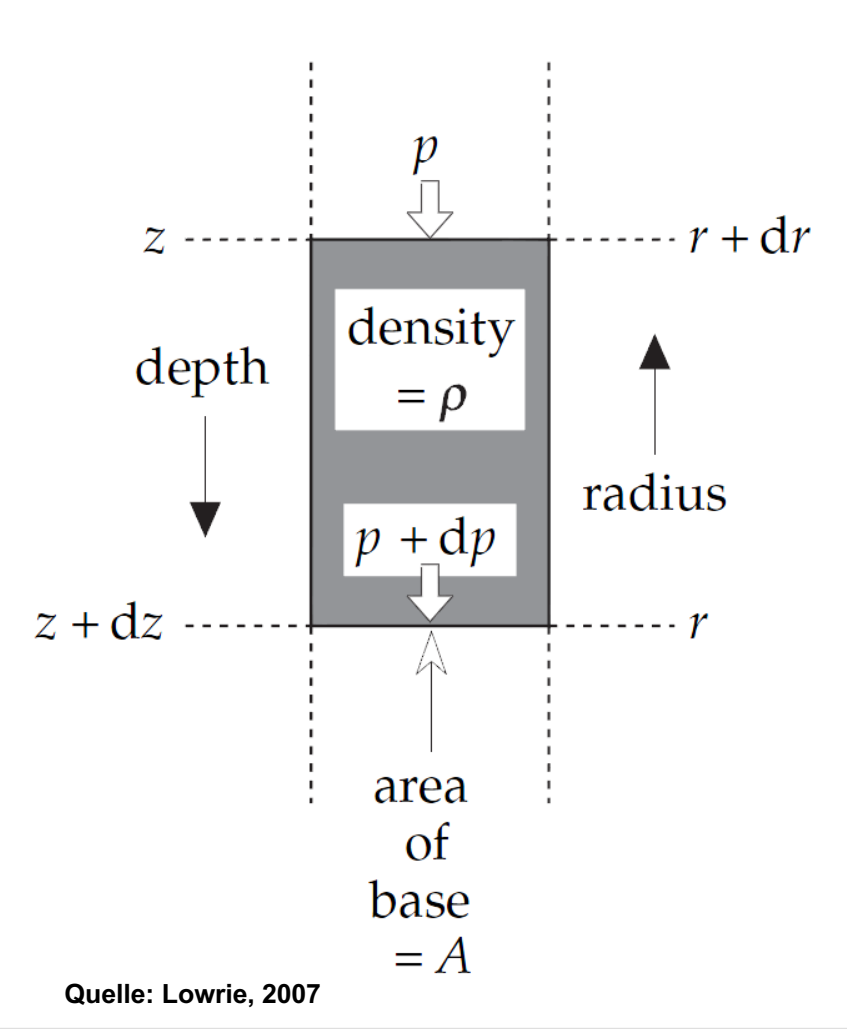
p: hydrostatischer Druck an Oberkantep + dp: hydrostatischer Druck an Unterkante

$$dp = \frac{w}{A} = \frac{(\text{volume} \times \rho)g}{A} = \frac{(A dz \rho)g}{A}$$
$$= \rho g dz = -\rho g dr$$

w: ,weight' = Gewicht



Bisher noch keine Dichteinformationen innerhalb der Erde



p: hydrostatischer Druck an Oberkantep + dp: hydrostatischer Druck an Unterkante

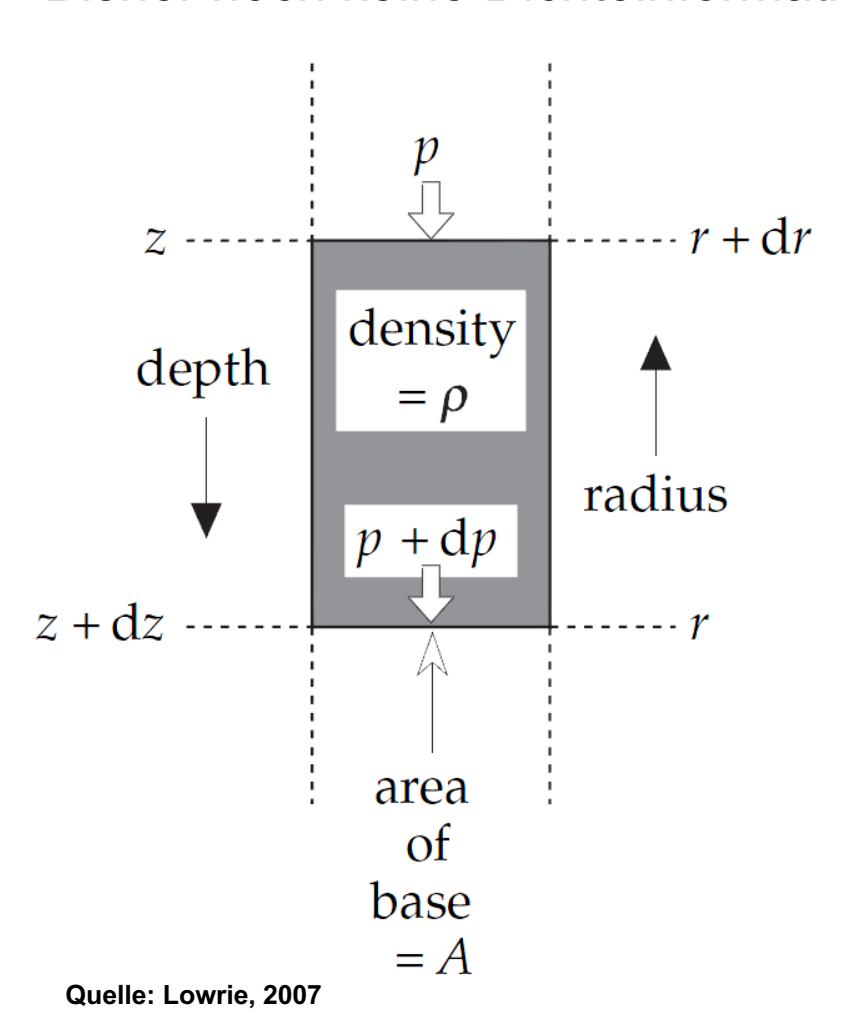
$$dp = \frac{w}{A} = \frac{(\text{volume} \times \rho)g}{A} = \frac{(A dz \rho)g}{A}$$
$$= \rho g dz = -\rho g dr$$

w: ,weight' = Gewicht

Außerdem:
$$K = -V \frac{\mathrm{d}p}{\mathrm{d}V} = \rho \frac{\mathrm{d}p}{\mathrm{d}\rho}$$



Bisher noch keine Dichteinformationen innerhalb der Erde



p: hydrostatischer Druck an Oberkantep + dp: hydrostatischer Druck an Unterkante

$$dp = \frac{w}{A} = \frac{(\text{volume} \times \rho)g}{A} = \frac{(A dz \rho)g}{A}$$
$$= \rho g dz = -\rho g dr$$

w: ,weight' = Gewicht

Außerdem:
$$K = -V \frac{\mathrm{d}p}{\mathrm{d}V} = \rho \frac{\mathrm{d}p}{\mathrm{d}\rho}$$

Daraus folgt:
$$\frac{-d\rho}{\rho g dr} = \frac{\rho}{K}$$



Mit seismischem Parameter $\Phi = \alpha^2 - \frac{4}{3}\beta^2$

wird daraus:

$$\frac{-d\rho}{\rho g dr} = \frac{\rho}{K} = \frac{1}{\Phi}$$



Mit seismischem Parameter $\Phi = \alpha^2 - \frac{4}{3}\beta^2$

wird daraus:

$$\frac{-d\rho}{\rho g dr} = \frac{\rho}{K} = \frac{1}{\Phi}$$

Umformen ergibt die Adams-Williamson-Gleichung:

$$\frac{\mathrm{d}\rho}{\mathrm{d}r} = -\frac{\rho(r)g(r)}{\Phi(r)}$$



Mit seismischem Parameter $\Phi = \alpha^2 - \frac{4}{3}\beta^2$

wird daraus:

$$\frac{-d\rho}{\rho g dr} = \frac{\rho}{K} = \frac{1}{\Phi}$$

Umformen ergibt die Adams-Williamson-Gleichung:

$$\frac{\mathrm{d}\rho}{\mathrm{d}r} = -\frac{\rho(r)g(r)}{\Phi(r)}$$

Wenn Parameter auf der rechten Seite der Gleichung bekannt sind, kann der Dichtegradient berechnet werden.



Mit seismischem Parameter $\Phi = \alpha^2 - \frac{4}{3}\beta^2$

wird daraus:

$$\frac{-d\rho}{\rho g dr} = \frac{\rho}{K} = \frac{1}{\Phi}$$

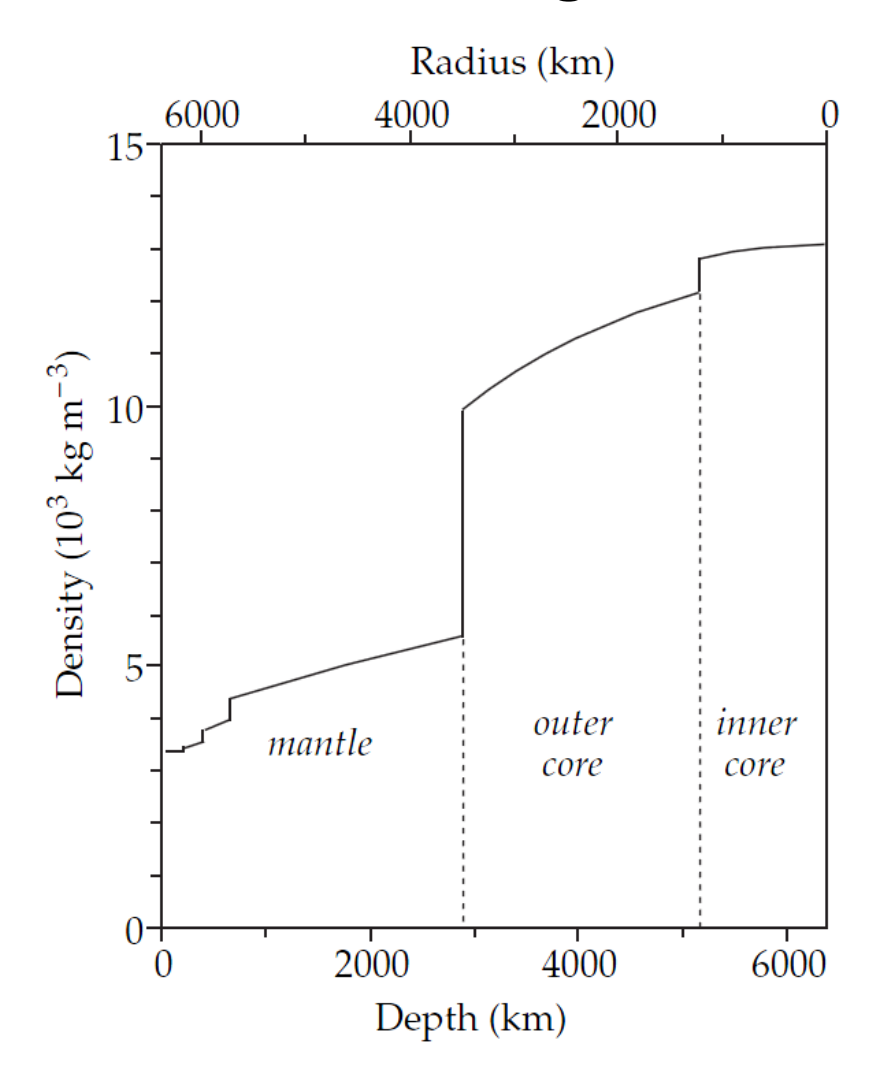
Umformen ergibt die Adams-Williamson-Gleichung:

$$\frac{\mathrm{d}\rho}{\mathrm{d}r} = -\frac{\rho(r)g(r)}{\Phi(r)}$$

Wenn Parameter auf der rechten Seite der Gleichung bekannt sind, kann der Dichtegradient berechnet werden.

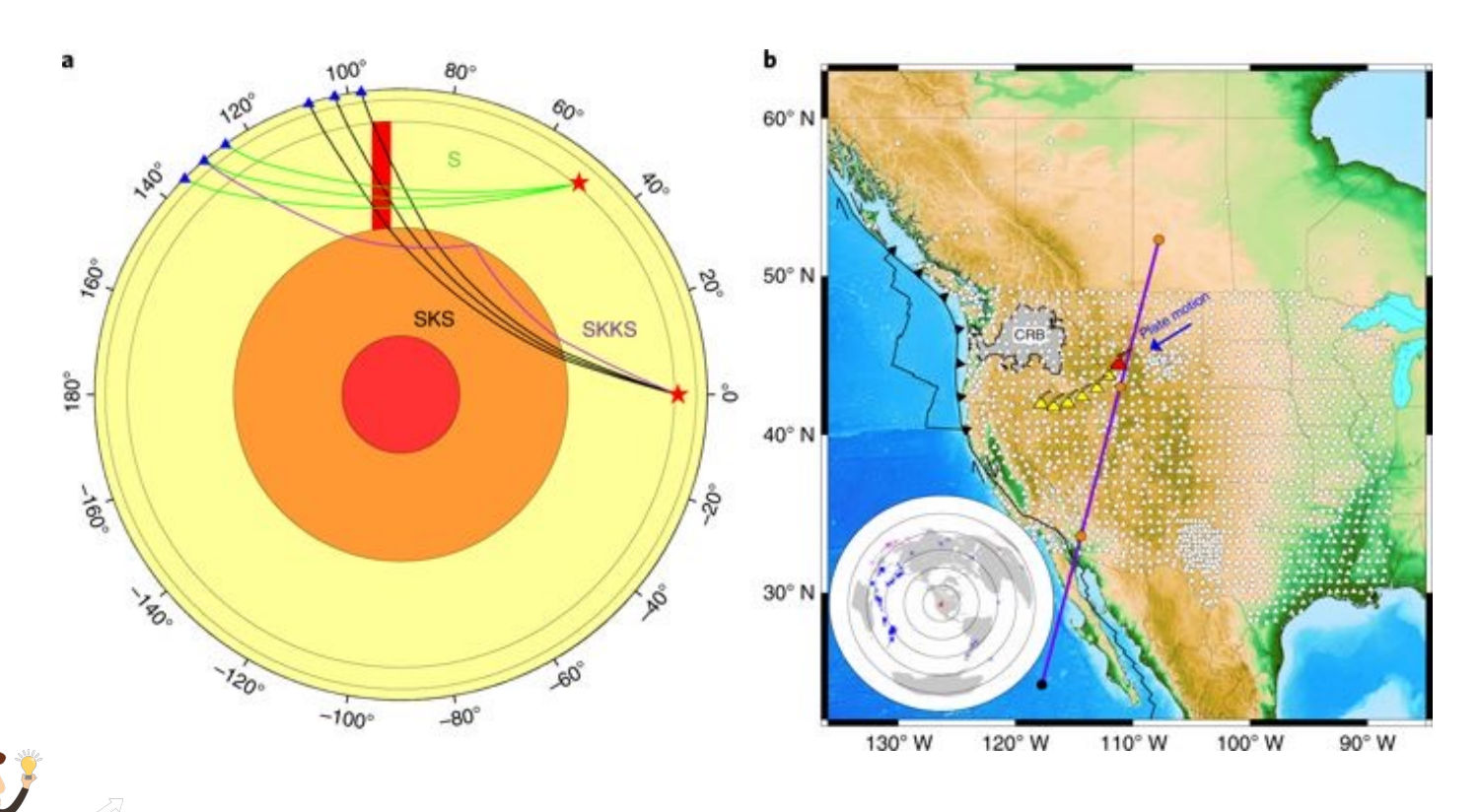
Dichte ist aber gerade unbekannt. Annahme eines Startwerts in (flacher) Tiefe r, iterative Berechnung.





Lower-mantle plume beneath the Yellowstone hotspot revealed by core waves (Nat. Geosc, 2018)

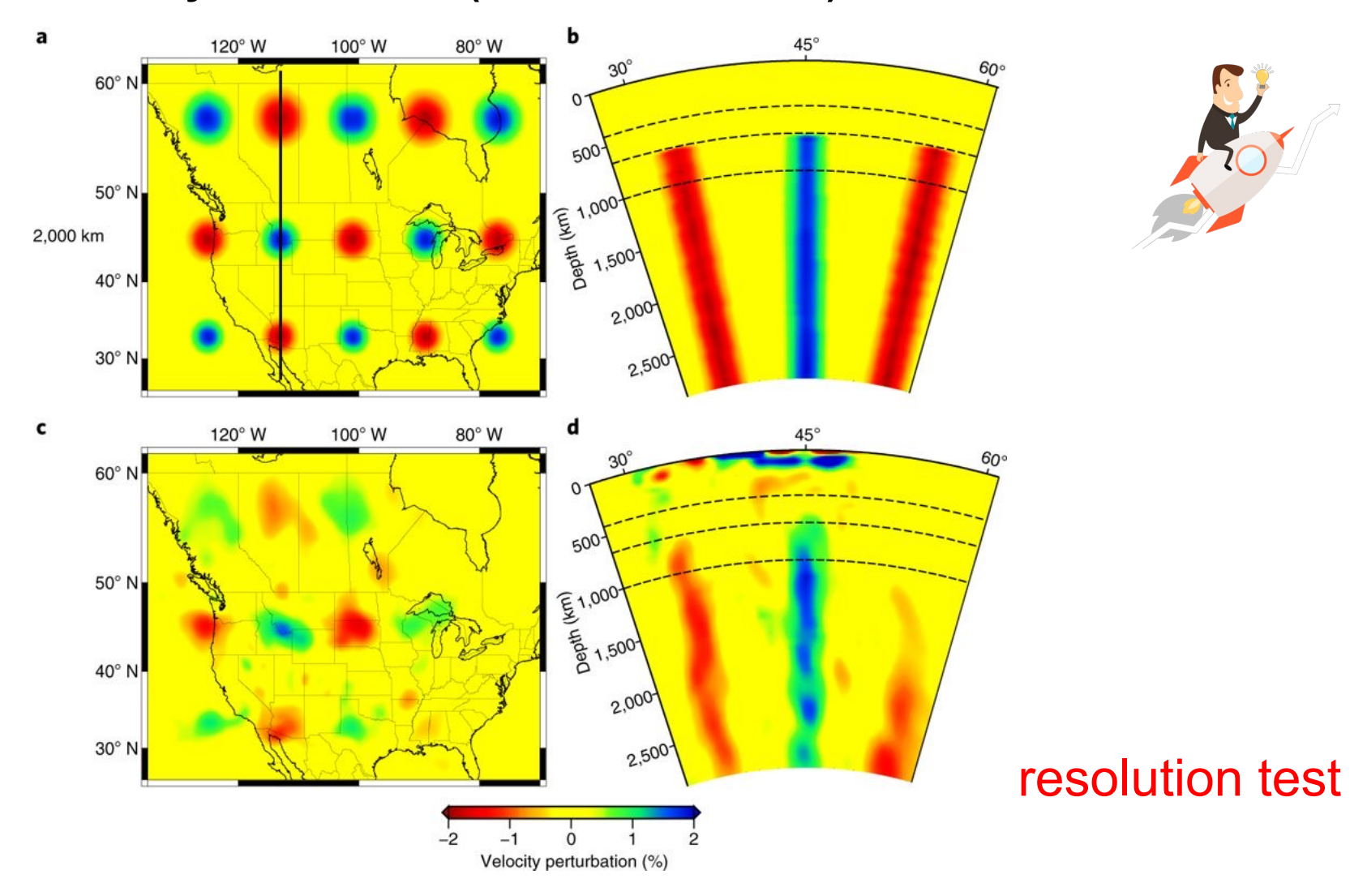






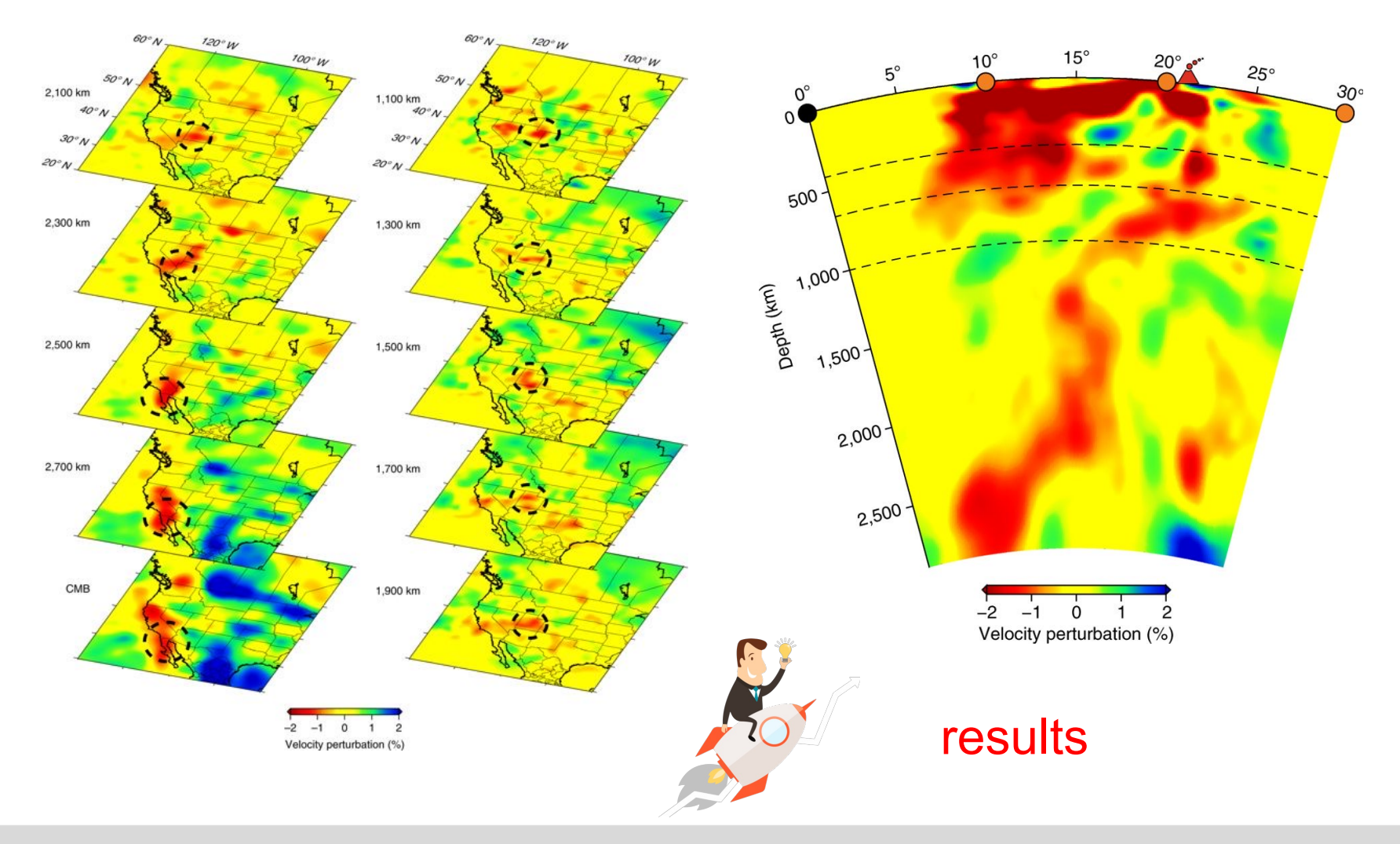
Lower-mantle plume beneath the Yellowstone hotspot revealed by core waves (Nat. Geosc, 2018)





Lower-mantle plume beneath the Yellowstone hotspot revealed by core waves (Nat. Geosc, 2018)









Home Leichte Sprache Gebärdensprache Impressum Datenschutz

Barrierefreiheit Sitemap

Themen

Studium Forschung Innovation

Plattentektonik: Entstehungsgeschichte der Karibik

Wissenschaftlerinnen und Wissenschaftler des KIT decken einen der letzten "weißen Flecken" im globalen Puzzle der Plattentektonik auf



Tief in der Karibik: vor dem Hintergrund der Vulkaninsel Montserrat werden die Seismometer wieder zurück an Bord geholt. (Foto: Stephen P. Hicks)



"Die karibische Platte wird von drei weiteren Erdplatten eingerahmt. So kommt es dort zu vermehrten seismischen Aktivitäten. Dennoch ist man sich bis heute nicht einig, wie und wann die Karibik entstanden ist", sagt Andreas Rietbrock, Leiter des Geophysikalischen Instituts (GPI) des KIT. In dem Projekt VoiLA – Volatiles in the Lesser Antilles analysierten die Geophysiker des GPI Daten modernster Meeresboden-Seismometer und erstellten so ein tomographisches Abbild des oberen Erdmantels bis in etwa 700 Kilometern Tiefe.

In Kombination mit einer Rekonstruktion der globalen tektonischen Plattenbewegungen der letzten 120 Millionen Jahre, ausgewertet zusammen mit den Partnern am Imperial College London, konnten sie dieses Abbild interpretieren: "Die Tomographie zeigt unter dem heutigen karibischen Ozean abgesunkene tektonische Platten", so Benedikt Braszus, Masterstudent der Geophysik am KIT und Erstautor der Studie. "Durch die Plattenrekonstruktion können wir den Ort und Zeitpunkt bestimmen, an dem die Platten in das Erdinnere abgesunken sind und somit die Bewegungen der an die Karibik angrenzenden Plattenränder in den vergangenen 100 Millionen Jahren nachvollziehen." Dies ermögliche im nächsten Schritt die bisher detaillierteste und umfassendste Beschreibung der Entstehungsgeschichte der Karibik.

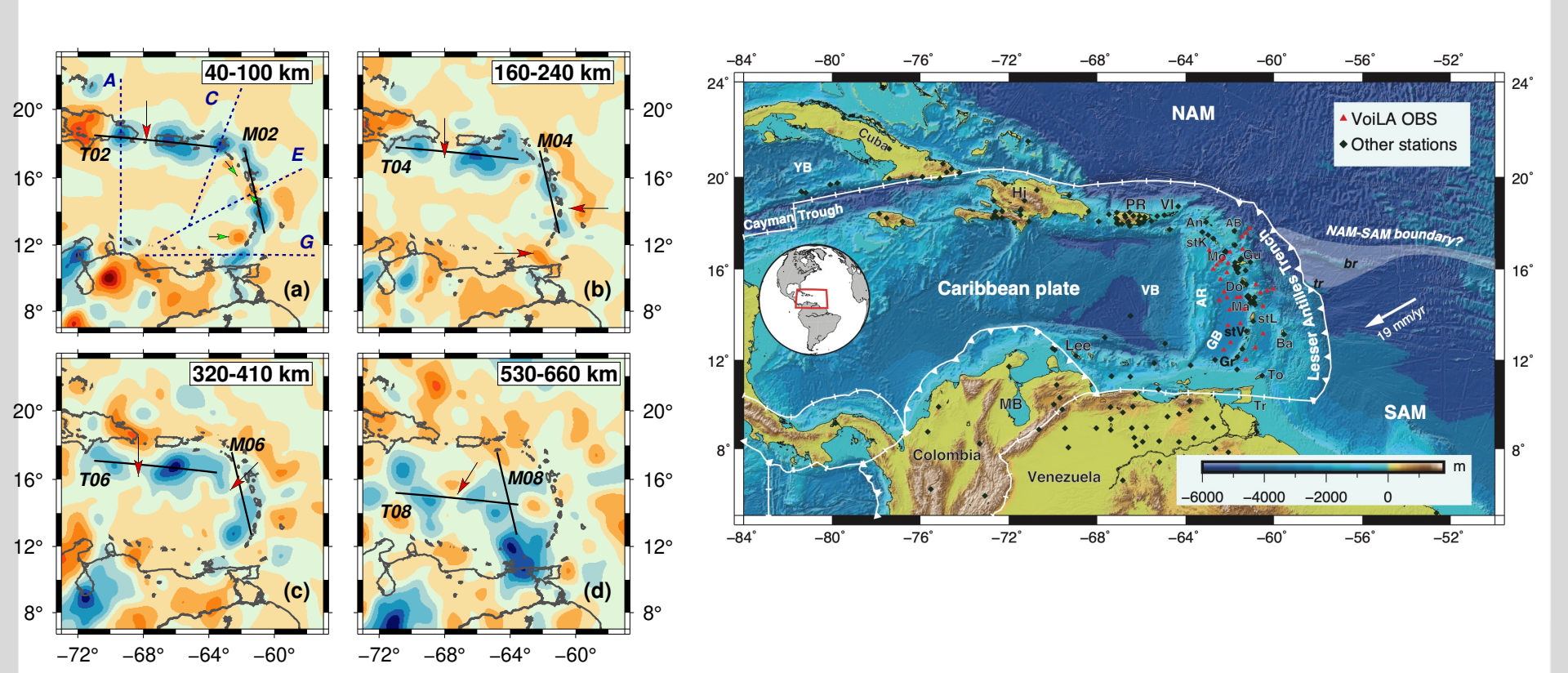
swi, 13.07.2021



27.01.11

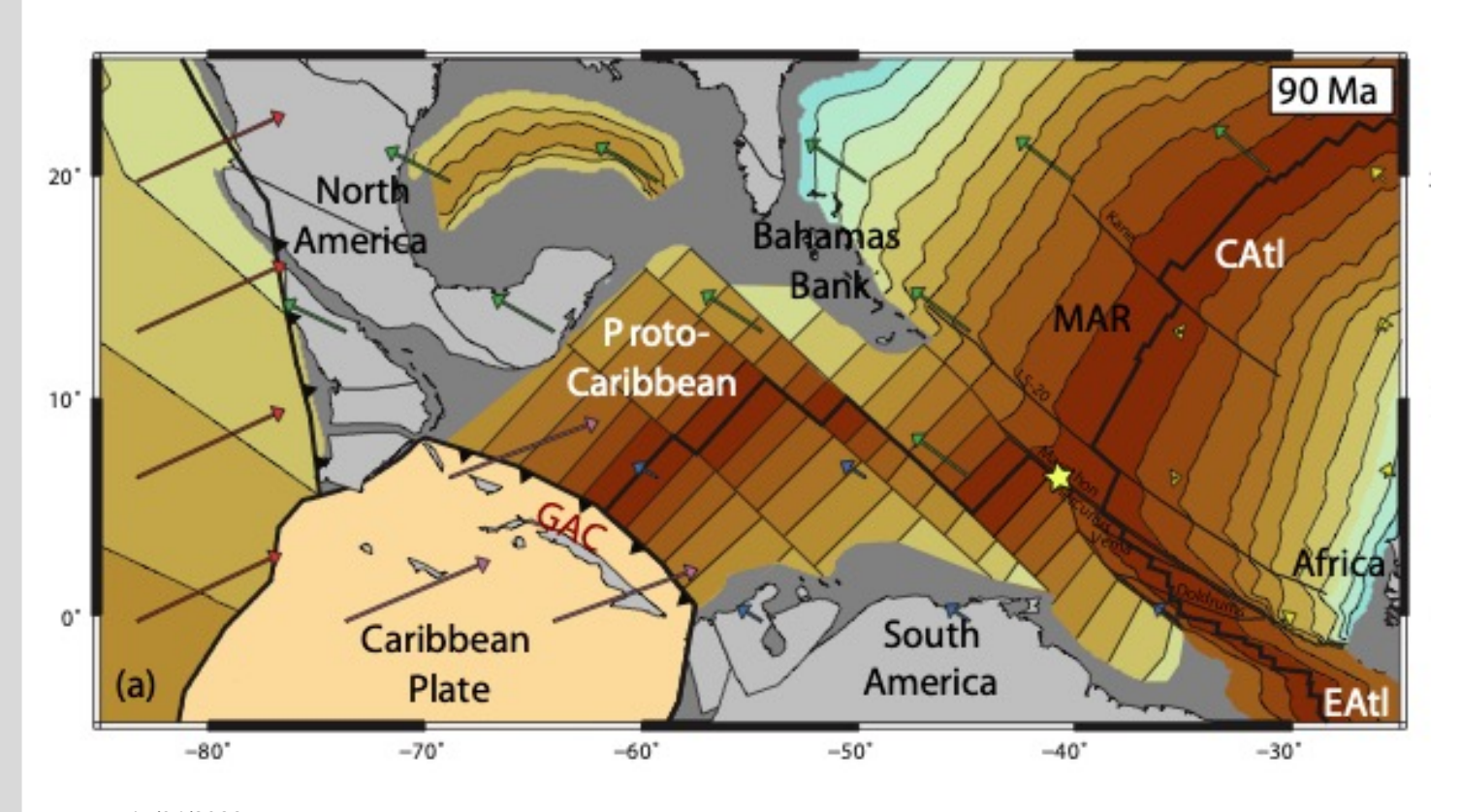
Teleseismic P-Wave Tomography



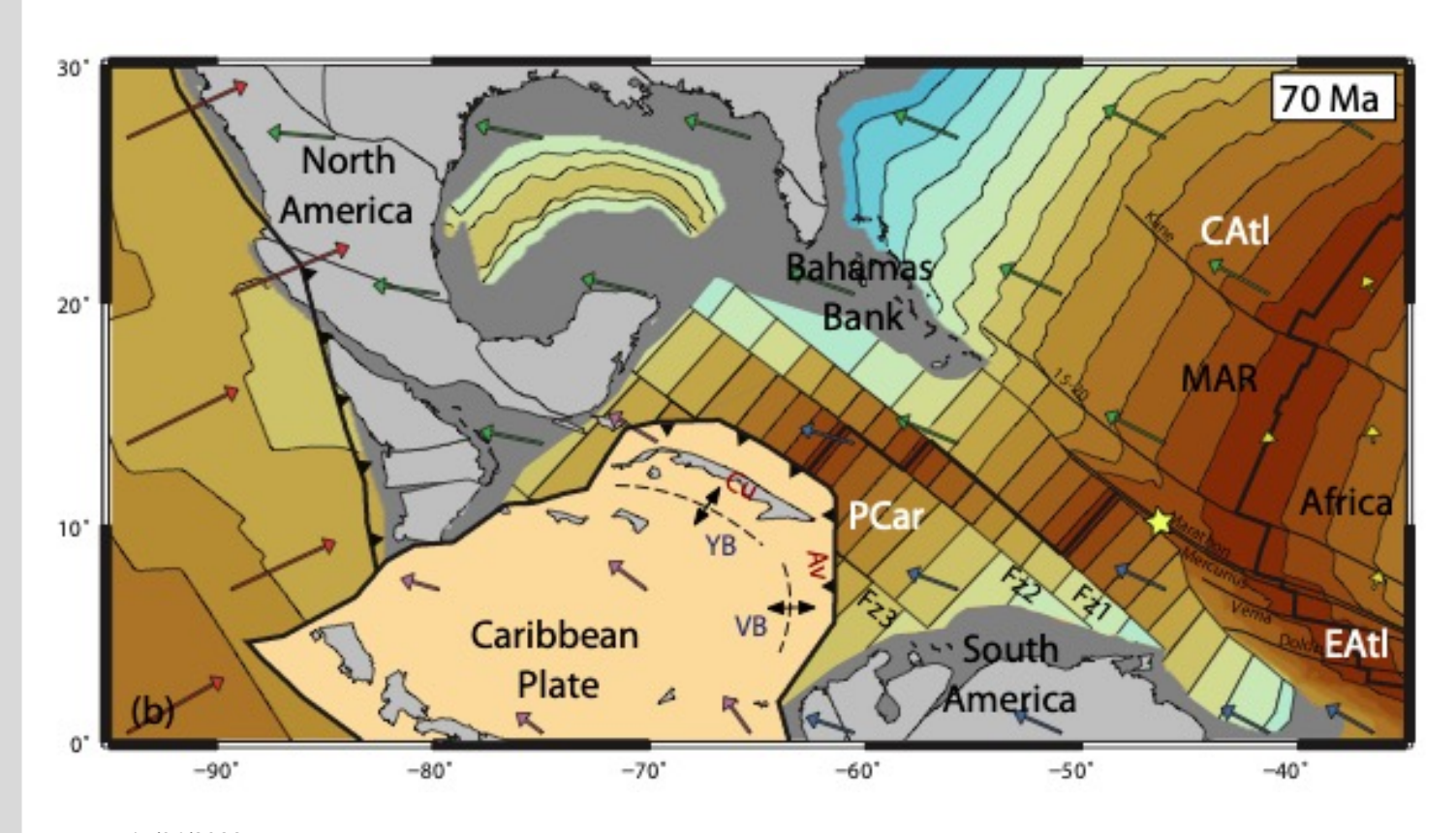


Masterarbeit GPI: Braszus et al., Nat. Comm., 2021

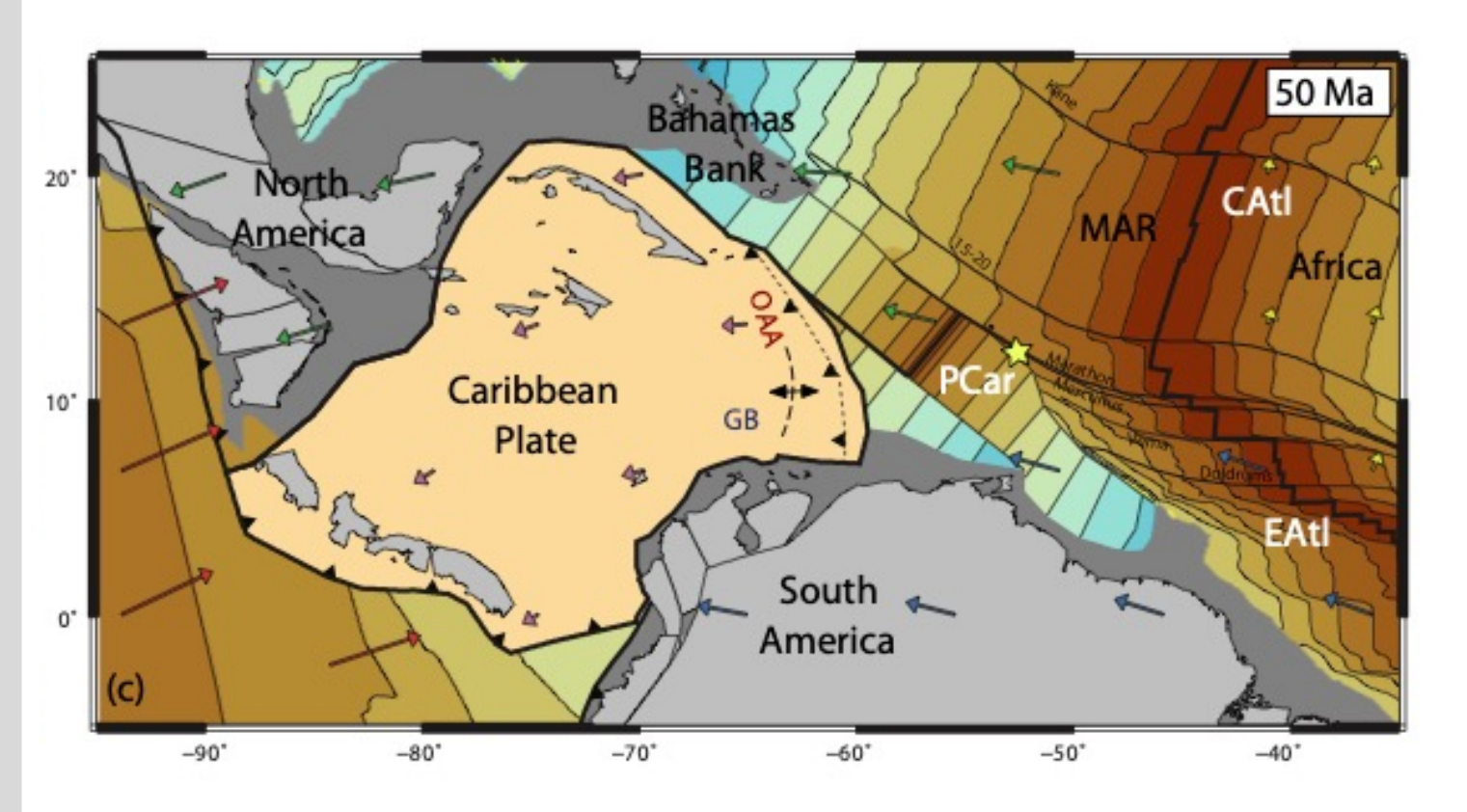




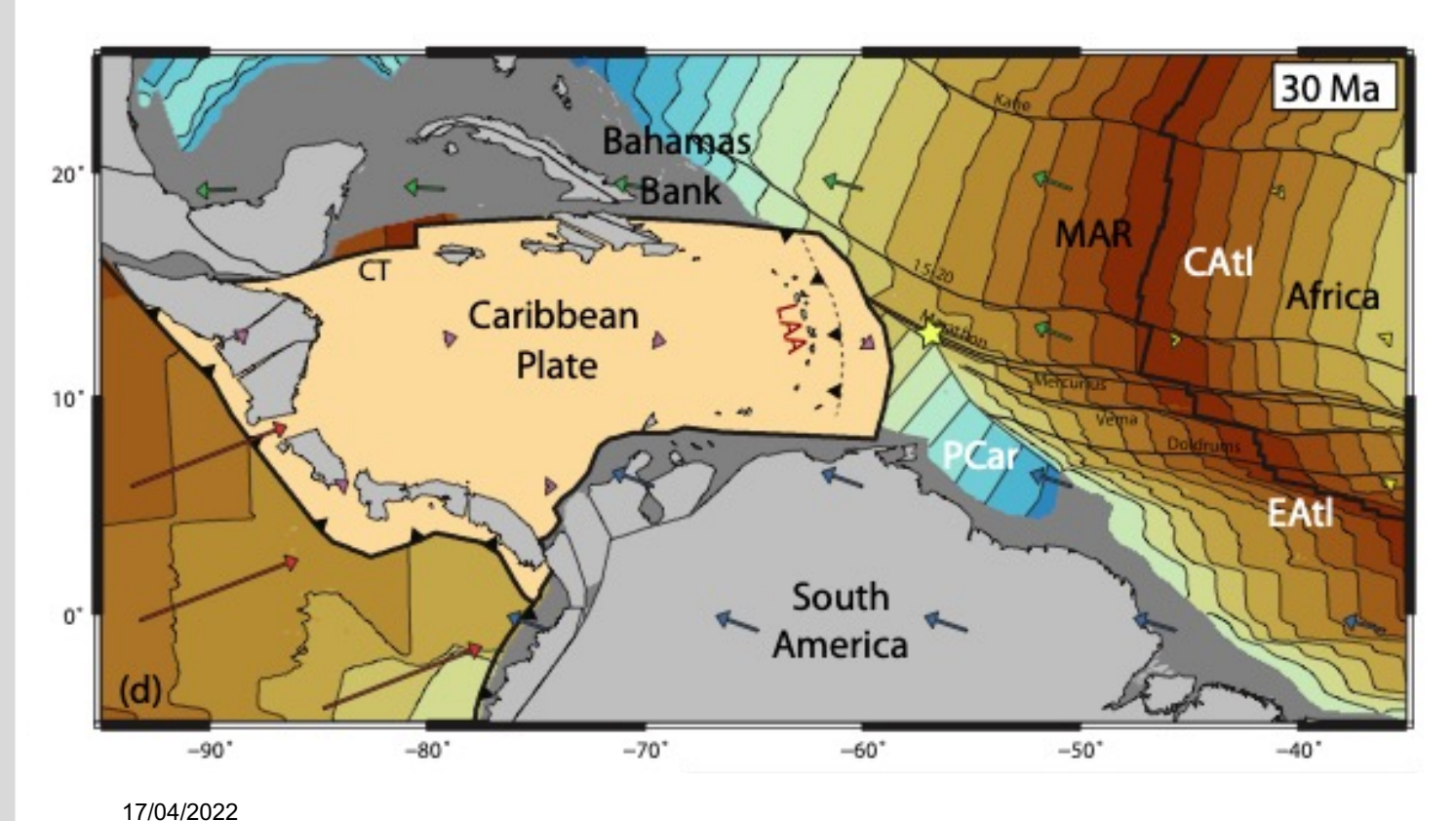






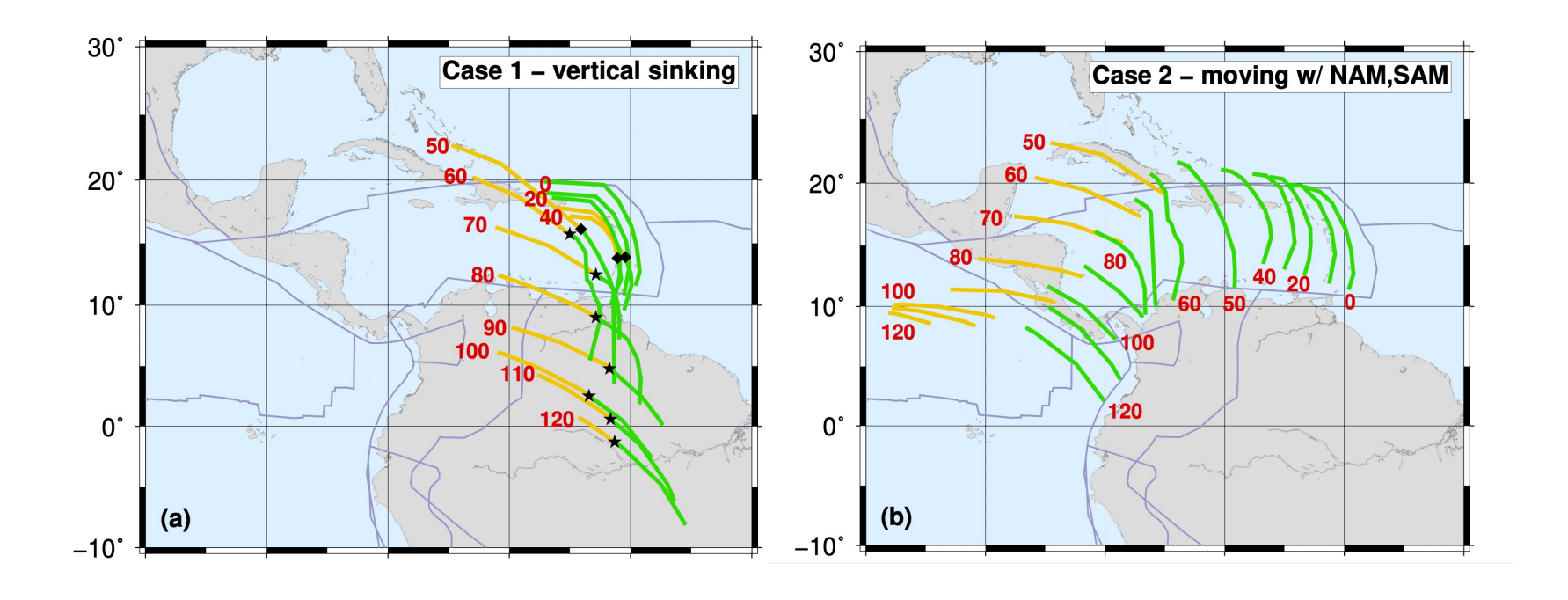






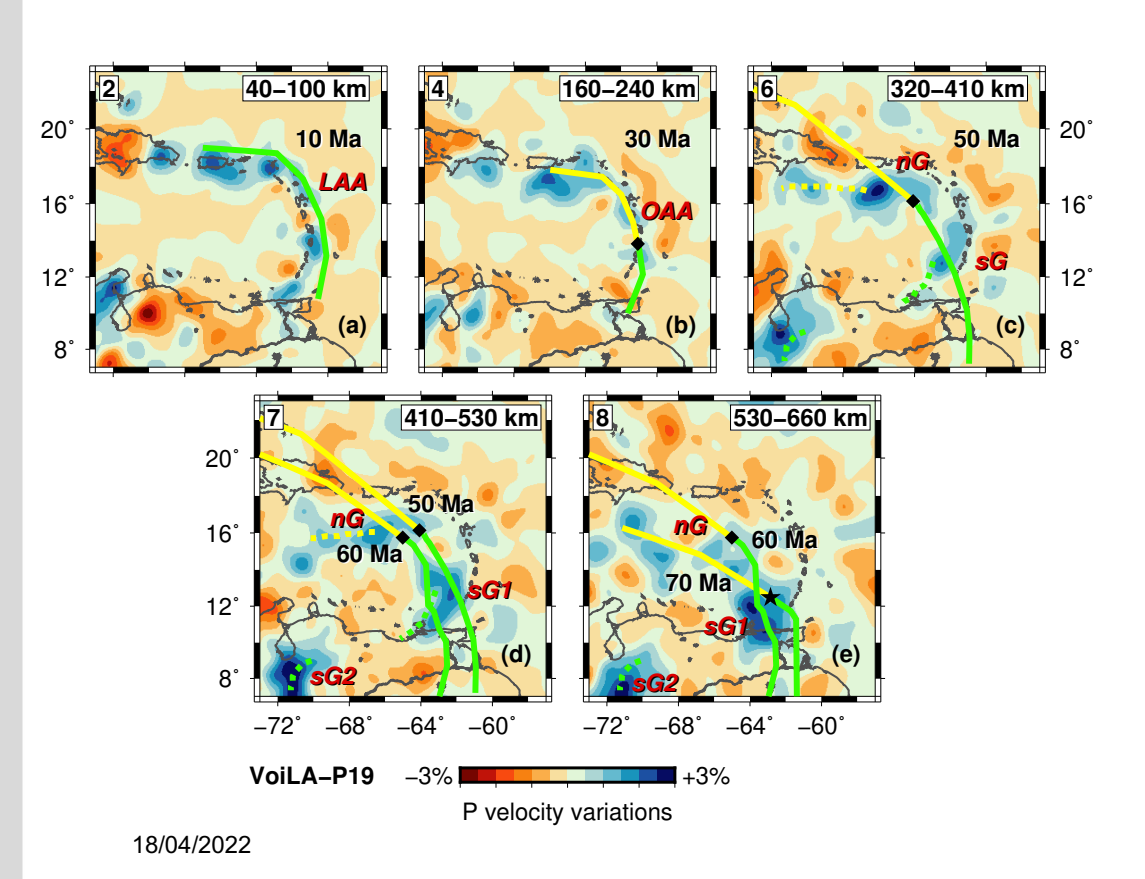
Reconstructed trench positions

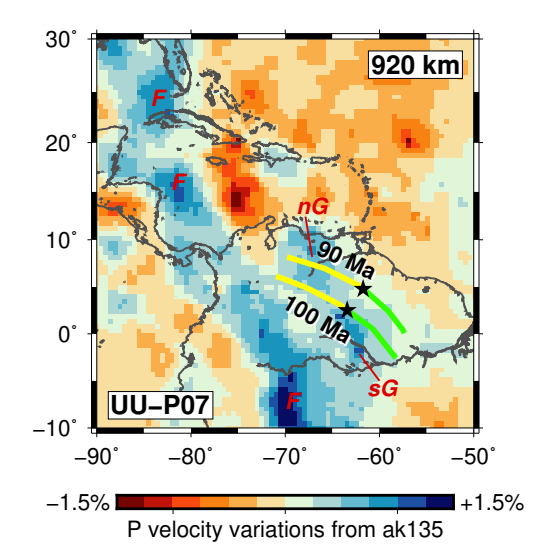




Vertically sinking slabs

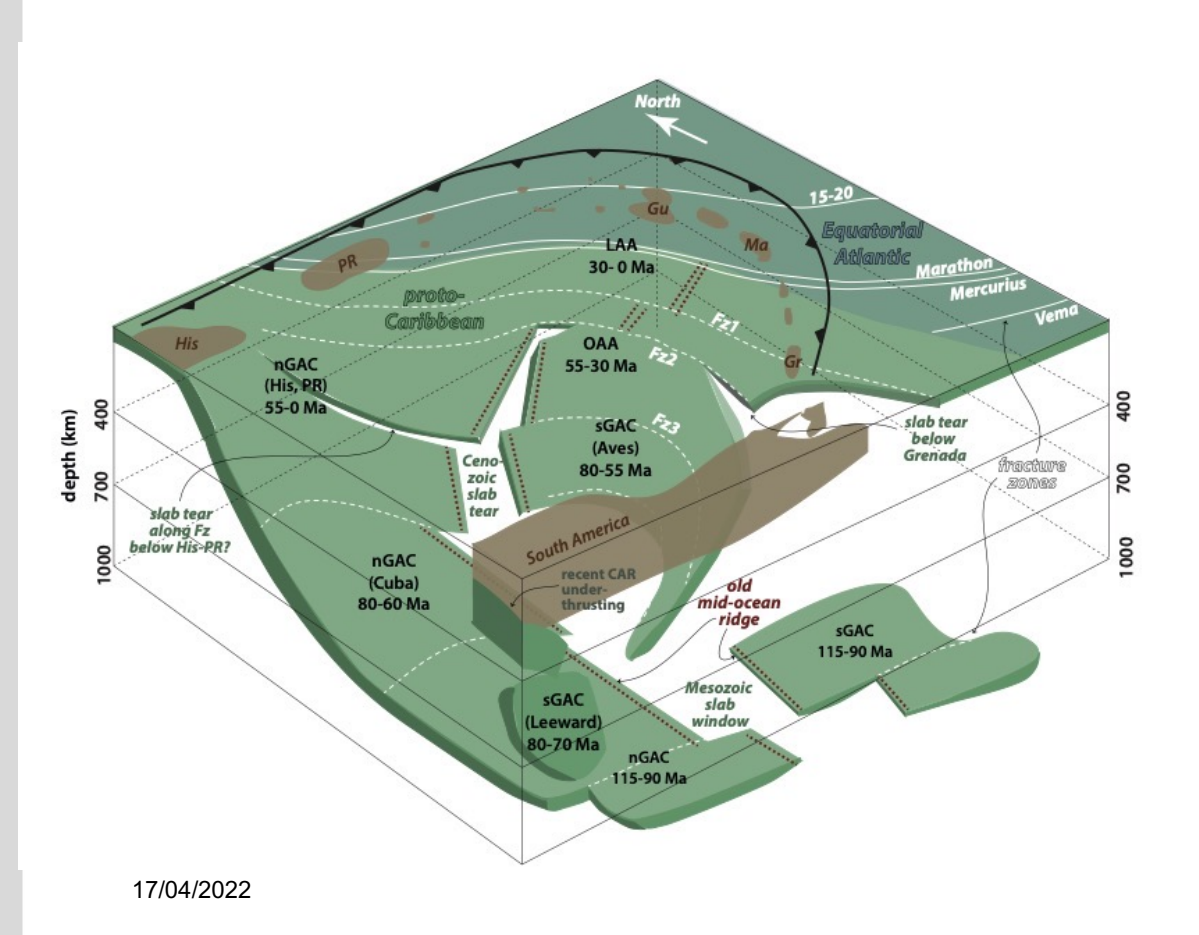


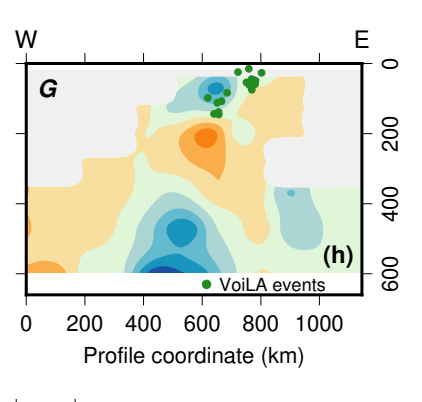


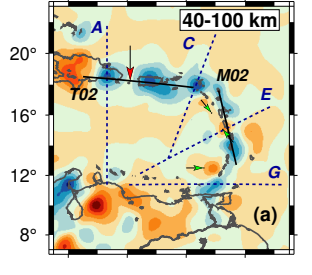


A tattered slab









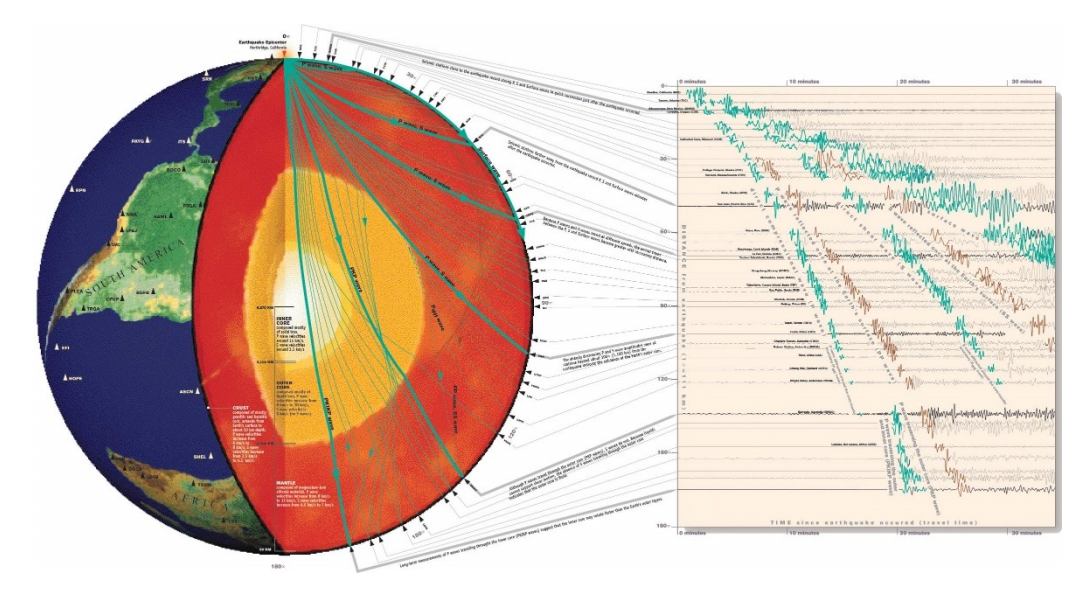
Slab gaps and tears





Zusammenfassung – Take-home-message

- Wie breiten sich Erdbebenwellen global aus?
- Welche Rückschlüsse lassen sich daraus auf die Struktur der Erde ziehen?



Laufzeitkurve
Schattenzone für P-Wellen
Schattenzone für S-Wellen
Tomographie
Inversion
Scherwellen-Splitting